



สัณฐานวิทยา ชีววิทยาการสืบพันธุ์บางปะกงและองค์ประกอบของอาหารในกระเพาะอาหาร  
ของปลาบู่ทอง (*Glossogobius aureus* Akihito and Meguro, 1975) ในทะเลสาบสงขลา  
Morphology, some aspects of reproductive biology and stomach contents of Bareyed  
sand goby (*Glossogobius aureus* Akihito and Meguro, 1975) in Songkhla Lake

สันติสุข ไทด์ปัล

Santisuk Thaipal

วิทยานิพนธ์วิทยาศาสตรมหาบัณฑิต สาขาวิชานิเวศวิทยา

มหาวิทยาลัยสงขลานครินทร์

Master of Science Thesis in Ecology

Prince of Songkla University

2544

เลขที่ 61638.67 ล.63 2544 ม.2
Bib Key 211737
9.0.0. 2544



ชื่อวิทยานิพนธ์ สัณฐานวิทยา ชีววิทยาการสืบพันธุ์บางประการและองค์ประกอบของอาหารในกระเพาะอาหารของปลาบู่ทอง (*Glossogobius aureus* Akihito and Meguro, 1975) ในทะเลสาบสงขลา  
 ผู้เขียน นายสันติสุข ไทยปala  
 สาขาวิชา นิเวศวิทยา

## คณะกรรมการที่ปรึกษา

## คณะกรรมการสอบ

ประธานกรรมการ  
 (อาจารย์พิมลพรรณ ถีระวัฒนาภูล)

ประธานกรรมการ  
 (อาจารย์พิมลพรรณ ถีระวัฒนาภูล)

กรรมการ  
 (อาจารย์ชัยรัตน์ เหล็กนิม)

กรรมการ  
 (อาจารย์ชัยรัตน์ เหล็กนิม)

กรรมการ  
 (นายไพรожน์ สิรินนทากรณ์)

กรรมการ  
 (ดร.วีโลกรรณ เจริญคุณานันท์)

บันทึกวิทยาลัย มหาวิทยาลัยสงขลานครินทร์ อนุมัติให้นับวิทยานิพนธ์ฉบับนี้เป็นส่วนหนึ่งของการศึกษา ตามหลักสูตรวิทยาศาสตรมหาบัณฑิต สาขาวิชานิเวศวิทยา

(รองศาสตราจารย์ ดร.ปีติ ทฤษฎีกุณ)

## คณบดีบันทึกวิทยาลัย

บันทึกวิทยาลัย  
 จัดทำโดย อาจารย์ ดร. ปีติ ทฤษฎีกุณ  
 วันที่ ๑๐ กันยายน พ.ศ. ๒๕๖๔

ชื่อวิทยานิพนธ์	สัณฐานวิทยา	ชีววิทยาการสืบพันธุ์บางประการและองค์ประกอบของอาหารในกระเพาะอาหารของปลาญี่ทอง ( <i>Glossogobius aureus</i> Akihito and Meguro, 1975) ในทะเลสาบสงขลา
ผู้เขียน	นายสันติสุข ไทยป่าล	
สาขาวิชา	นิเวศวิทยา	
ปีการศึกษา	2544	

### บทคัดย่อ

การศึกษาสัณฐานวิทยา ความสัมพันธ์ระหว่างความยาวมาตรฐานและน้ำหนัก ดัชนีความสมบูรณ์ ชีววิทยาการสืบพันธุ์บางประการ และองค์ประกอบของอาหารในกระเพาะอาหารของปลาญี่ทอง (*Glossogobius aureus* Akihito and Meguro, 1975) ในทะเลสาบสงขลา ให้ดำเนินการศึกษาโดยสุ่มตัวอย่างปลาด้วยโพงทางและลอนยืนทุกเดือน ระหว่างเดือน ธันวาคม 2540 ถึงเดือน ธันวาคม 2541 พบว่า ลักษณะทางสัณฐานวิทยาหลายลักษณะมีความแตกต่างกันระหว่างปลาเพศผู้และเพศเมีย ความยาวมาตรฐานและน้ำหนักของปลา มีความสัมพันธ์กันเป็นเส้นตรงทึ้งในปลาเพศผู้และเพศเมีย สมการความสัมพันธ์ระหว่างความยาวมาตรฐานและน้ำหนักของปลาทึ้งสองเพศไม่มีความแตกต่างกัน ( $\log W = - 2.2052 + 3.3403 \log L$ ;  $r^2 = 0.74$ ) ดัชนีความสมบูรณ์ทึ้งในปลาเพศผู้และเพศเมียมีความแตกต่างกันระหว่างเดือนที่ทำการศึกษา ปลาญี่ทอง *G. aureus* มีอุจุกาลผสมพันธุ์ 2 ช่วง คือ ระหว่างเดือน กุมภาพันธ์ ถึงเดือน เมษายน โดยมีการผสมพันธุ์มากที่สุดในเดือน มีนาคม และระหว่างเดือน ตุลาคม ถึงเดือน พฤศจิกายน โดยมีการผสมพันธุ์มากที่สุดในเดือน พฤษภาคม อัตราส่วนเพศลดลงอุจุกาลผสมพันธุ์เป็น 1:1 ปลาขนาดเล็กที่สุดที่สามารถผสมพันธุ์ได้ เพศผู้มีขนาด 6.31 เซนติเมตร เพศเมียมีขนาด 6.24 เซนติเมตร ความดกของไขมีสำมะ漫 14,325 ฟอง ถึง 36,465 ฟอง โดยมีค่าเฉลี่ย  $22,028 \pm 609$  ฟอง ความยาวมาตรฐานและความดกของไขมีความสัมพันธ์กันเป็นเส้นตรง ( $\log Fe = 1.0471 + 3.4686 \log L$ ;  $r^2 = 0.77$ ) องค์ประกอบของอาหารในกระเพาะอาหารแบ่งเป็น 2 กลุ่ม คือ กลุ่มครัสเตเชียน และกลุ่มปลากรรูปแข็ง องค์ประกอบของอาหารในกระเพาะอาหารมีการเปลี่ยนแปลงตามฤดูกาล และสถานที่

Thesis Title      Morphology, some aspects of reproductive biology and stomach contents  
                      of Bareyed sand goby (*Glossogobius aureus* Akihito and Meguro, 1975)  
                      in Songkhla Lake

Author            Mr. Santisuk Thaipal

Major Program    Ecology

Academic Year    2001

### Abstract

The morphology, length-weight relationship, condition index, some aspects of reproductive biology and stomach contents of Bareyed sand goby (*Glossogobius aureus* Akihito and Meguro, 1975) was studied in Songkhla Lake. Fishes were sampled monthly between December 1997 and December 1998 by using trap and set bag. Several morphological characteristics were significantly different between males and females. Body weight was curvilinearly related to fish standard length both males and females. Length-weight relationship equations were not different between males and females ( $\log W = -2.2052 + 3.3403 \log L; r^2 = 0.74$ ). Condition indices of both males and females were different among studied months. The spawning season was from February to April with a peak in March, and from October to November with a peak in November. Overall, the sex ratio was 1:1. Size at first maturity was 6.31 cm in male and 6.24 cm in female. Fecundity ranged from 14,325 to 36,465 with an average of  $22,028 \pm 609$  eggs. Fecundity was curvilinearly related to fish standard length ( $\log Fe = 1.0471 + 3.4686 \log L; r^2 = 0.77$ ). The stomach contents could be classified into two groups viz., crustaceans and teleosts. The stomach contents varied seasonally and spatially.

## กิตติกรรมประกาศ

ขอขอบคุณ อาจารย์พินลดารูณ สีลักษณากุล ประธานกรรมการที่ปรึกษา และ อาจารย์วชิระ เหล็กนิม กรรมการที่ปรึกษา ที่กรุณาให้คำแนะนำด้วยดีตลอดมา

ขอขอบคุณ ดร.วิไลวรรณ เจริญคุณานันท์ และ คุณไพรожน์ สิริมนตากรณ์ กรรมการสอนวิทยานิพนธ์ และ คุณสมบัติ ภู่ชิรานนท์ ที่กรุณาตรวจสอบแก้ไขข้อบกพร่องและให้ข้อเสนอแนะเพิ่มเติม

ขอขอบคุณ พศ.ดร.ปิติวงศ์ ตันติโชค ผู้แนะนำให้เข้ารับการศึกษาในสาขาวิชา นิเวศวิทยา และจัดหางานให้ทำในระหว่างการศึกษา

ขอขอบคุณ สำนักงานพัฒนาวิทยาศาสตร์และเทคโนโลยีแห่งชาติ (สวทช.) ผู้ให้การสนับสนุนทุนในการวิจัยและค่าใช้จ่ายในระหว่างการศึกษา

ขอขอบคุณ บัณฑิตวิทยาลัย มหาวิทยาลัยสังขละบันครินทร์ ผู้ให้การสนับสนุนทุนในการวิจัย

ขอขอบคุณ สถาบันวิจัยชีววิทยาและประมงทะเล จังหวัดภูเก็ต ที่ให้ความเอื้อเฟื้อ สถานที่และอนุญาตให้ใช้เครื่องคอมพิวเตอร์ในการจัดทำรายงาน

ขอขอบคุณ คุณชาย ฤกไส คุณชนก ศรีรถกล คุณผ่องพิศ ประจักษ์วิมล คุณจรัสศรี อ่างตันญา ครอบครัวพิมโภตร์ ครอบครัวเอกปณิธานพงศ์ และ กัลยาณมิตร ทั้งหลาย ที่เคยให้กำลังใจและช่วยเหลือตลอดมา

และขอขอบคุณ คุณท่อ คุณแม่ พี่น้องร่วมอุทธร คุณอากรณ์ศักดิ์ ไทยปala เด็กหญิงณัฐพร ไทยปala และเด็กชายณัฐพล ไทยปala ที่เคยเป็นกำลังใจด้วยดีตลอดมาจนสำเร็จการศึกษา

สันติสุข ไทยปala

## สารบัญ

	หน้า
บทคัดย่อ	(1)
Abstract	(2)
กิตติกรรมประกาศ	(3)
สารบัญ	(4)
รายการตาราง	(5)
รายการตารางผนวก	(7)
รายการรูป	(8)
รายการรูปผนวก	(10)
ตัวย่อและสัญลักษณ์	(11)
บทที่	
1. บทนำ	1
บทนำต้นเรื่อง	1
การตรวจเอกสาร	3
2. วิธีการศึกษา	11
3. ผลการศึกษา	25
4. วิจารณ์ผลการศึกษา	45
5. สรุปผลการศึกษา	51
ข้อเสนอแนะ	53
เอกสารอ้างอิง	54
การติดต่อส่วนบุคคล	58
ภาคผนวก	59
ประวัติผู้เขียน	71

## รายการตาราง

ตารางที่	หน้า
1 การแพร่กระจายของปลาญูทอง <i>Glossogobius aureus</i> ในทะเลสาบสงขลา	26
2 ลักษณะทางสัณฐานวิทยาของปลาญูทอง <i>Glossogobius aureus</i> เพศผู้และ เพศเมีย และผลการเปรียบเทียบโดยใช้ Mann-Whitney test ที่ระดับความ เชื่อมั่น 95%	27
3 ผลการเปรียบเทียบค่าดัชนีความสมบูรณ์ของปลาญูทอง <i>Glossogobius aureus</i> เพศผู้ในแต่ละเดือน โดยใช้ Tukey test	31
4 ผลการเปรียบเทียบค่าดัชนีความสมบูรณ์ของปลาญูทอง <i>Glossogobius aureus</i> เพศเมียในแต่ละเดือน โดยใช้ Tukey test	31
5 ผลการเปรียบเทียบค่าดัชนีการเจริญเติบโตของอวัยวะสืบพันธุ์ของปลาญูทอง <i>Glossogobius aureus</i> เพศเมีย ในแต่ละเดือน โดยใช้ Tukey test	33
6 จำนวนปลาญูทอง <i>Glossogobius aureus</i> เพศผู้และเพศเมียขนาดต่าง ๆ ใน ระหว่างเดือน ธันวาคม 2540 ถึงเดือน ธันวาคม 2541	34
7 ผลการวิเคราะห์อัตราส่วนเพศของปลาญูทอง <i>Glossogobius aureus</i> ในแต่ละ เดือน ด้วยวิธีการทดสอบแบบ chi-square test ที่ระดับความเชื่อมั่น 95% โดยใช้ ตารางการซึ่งขนาด 13 แถว x 2 สดมก	36
8 จำนวนกระเพาะอาหารที่ทราบชนิดและไม่ทราบชนิดของอาหาร และกระเพาะ อาหารว่างของปลาญูทอง <i>Glossogobius aureus</i> ในเดือนต่าง ๆ	39
9 จำนวนกระเพาะอาหารที่ทราบชนิดและไม่ทราบชนิดของอาหาร และกระเพาะ อาหารว่างของปลาญูทอง <i>Glossogobius aureus</i> ที่อาศัยในบริเวณต่าง ๆ	39
10 ดัชนีสำคัญสัมพัทธ์ของอาหารที่พบในกระเพาะอาหารของปลาญูทอง <i>Glossogobius aureus</i> ในเดือนต่าง ๆ	40
11 ดัชนีสำคัญสัมพัทธ์ของอาหารที่พบในกระเพาะอาหารของปลาญูทอง <i>Glossogobius aureus</i> ที่อาศัยในบริเวณต่าง ๆ	42

## รายการตาราง (ต่อ)

ตารางที่	หน้า
12 องค์ประกอบของอาหารในธรรมชาติ ต่าง ๆ (% ของจำนวน)	บริเวณสะพานติดสุลามันที่ในเดือน กุมภาพันธ์ 43
13 ผลการเปรียบเทียบถักมณฑะทางสัณฐานวิทยาของปลาญูทอง <i>Glossogobius aureus</i> จากการศึกษาครั้งนี้ กับการศึกษาของ Akihito and Meguro (1975)	จากการศึกษาครั้งนี้ กับการศึกษาของ Akihito and Meguro (1975) 46

## รายการตารางผนวก

ตารางผนวกที่	หน้า
1 รายละเอียดผลการเปรียบเทียบค่าดัชนีความสมบูรณ์ของปลาญูทอง <i>Glossogobius aureus</i> เพศญู ในเดือนต่าง ๆ โดยใช้ Tukey test	60
2 รายละเอียดผลการเปรียบเทียบค่าดัชนีความสมบูรณ์ของปลาญูทอง <i>Glossogobius aureus</i> เพศเมีย ในเดือนต่าง ๆ โดยใช้ Tukey test	61
3 รายละเอียดผลการเปรียบเทียบค่าดัชนีการเจริญเติบโตของอวัยวะสืบพันธุ์ของปลาญูทอง <i>Glossogobius aureus</i> เพศเมีย ในเดือนต่าง ๆ โดยใช้ Tukey test	62
4 องค์ประกอบของอาหารในกระเพาะอาหารของปลาญูทอง <i>Glossogobius aureus</i> ในเดือนต่าง ๆ (%ความถี่ของการพบ)	65
5 องค์ประกอบของอาหารในกระเพาะอาหารของปลาญูทอง <i>Glossogobius aureus</i> ในเดือนต่าง ๆ (%ของจำนวน)	65
6 องค์ประกอบของอาหารในกระเพาะอาหารของปลาญูทอง <i>Glossogobius aureus</i> ในเดือนต่าง ๆ (%ของน้ำหนัก)	66
7 องค์ประกอบของอาหารในกระเพาะอาหารของปลาญูทอง <i>Glossogobius aureus</i> ที่อาศัยในบริเวณต่าง ๆ (%ความถี่ของการพบ)	67
8 องค์ประกอบของอาหารในกระเพาะอาหารของปลาญูทอง <i>Glossogobius aureus</i> ที่อาศัยในบริเวณต่าง ๆ (%ของจำนวน)	68
9 องค์ประกอบของอาหารในกระเพาะอาหารของปลาญูทอง <i>Glossogobius aureus</i> ที่อาศัยในบริเวณต่าง ๆ (%ของน้ำหนัก)	69

## รายการรูป

หัวข้อ	หน้า
1 ลักษณะการจัดเรียงตัวของปมประสาท (1-23) และร่องประสาทรับความรู้สึก (B'-O') บนแก้มของปลาในสกุลปลาปู่ทอง ( <i>Glossogobius</i> spp.) 13 ชนิด	4
2 ปลาปู่ทอง <i>Glossogobius aureus</i> ความยาวมาตรฐาน 110 มิลลิเมตร	7
3 สถานที่เก็บตัวอย่าง (มาตราส่วน 1 : 250,000)	12
4 เครื่องมือประเมินประจำที่ที่ใช้ในการจับปลาปู่ทอง <i>Glossogobius aureus</i>	15
5 ลักษณะของอวัยวะเพศของปลาปู่ทอง <i>Glossogobius aureus</i>	16
6 ตำแหน่งที่ใช้ในการศึกษาลักษณะทางสัณฐานวิทยาของปลาปู่ทอง <i>Glossogobius aureus</i>	18
7 ชีกรองส่วนบนและส่วนล่างของแกนเหงือกอันแรกของปลา	19
8 ความสัมพันธ์ระหว่างความยาวมาตรฐาน (L) และน้ำหนัก (W) ของปลาปู่ทอง <i>Glossogobius aureus</i> เพศผู้และเพศเมีย บริเวณสะพานดิษสุลานันท์	31
9 ดัชนีความสมบูรณ์ของปลาปู่ทอง <i>Glossogobius aureus</i>	32
10 ดัชนีการเจริญเติบโตของอวัยวะสืบพันธุ์ของปลาปู่ทอง <i>Glossogobius aureus</i> เพศเมีย	35
11 สัดส่วนของปลาปู่ทอง <i>Glossogobius aureus</i> เพศผู้และเพศเมีย ในเดือนต่าง ๆ	35
12 ขนาดของปลาปู่ทอง <i>Glossogobius aureus</i> ในวัยเจริญพันธุ์	37
13 ลักษณะไข่ของปลาปู่ทอง <i>Glossogobius aureus</i>	38
14 ความสัมพันธ์ระหว่างความยาวมาตรฐาน (L) และ ความดกของไข่ (Fe) ของปลาปู่ทอง <i>Glossogobius aureus</i>	38
15 การเปลี่ยนแปลงองค์ประกอบของอาหาร ในกระบวนการอาหารของปลาปู่ทอง <i>Glossogobius aureus</i> ในเดือนต่าง ๆ	41

## รายการรูป (ต่อ)

หัวข้อ	หน้า
16 การเปลี่ยนแปลงองค์ประกอบของอาหารในกระเพาะอาหารของปลาญูทอง <i>Glossogobius aureus</i> ที่อาศัยในบริเวณต่าง ๆ	41
17 การเปลี่ยนแปลงองค์ประกอบของอาหารในธรรมชาติ ในเดือนต่าง ๆ บริเวณ สะพานดินสุลานนท์	44
18 ความเค็มในทะเลสาบสงขลา บริเวณต่าง ๆ	50

## รายการรูปผนวก

รูปผนวกที่	หน้า
1 การเปลี่ยนแปลงองค์ประกอบของอาหารในธรรมชาติ (N) และองค์ประกอบของอาหารในกระเพาะอาหาร (S) ของปลาญี่ทอง <i>Glossogobius aureus</i> ในเดือนต่าง ๆ บริเวณสะพานติ่มสุกานันท์	70

## ตัวย่อและสัญลักษณ์

◦	= องศา
,	= ลิปดา
%	= เปอร์เซ็นต์
%SL	= เปอร์เซ็นต์ของความยาวมาตรฐาน
ppt.	= ส่วนในพันส่วน
$\bar{X}$	= ค่าเฉลี่ย
SE	= ค่าความคลาดเคลื่อนมาตรฐาน

## บทที่ 1

### บทนำ

ปลาญูทอง (*Glossogobius aureus* Akihito and Meguro, 1975) เป็นปลาที่นิยมบริโภคกันมาก เนื่องจากเนื้อมีรสชาติดี นิยมนำมาทำเป็นปลาตามแห้ง หรือต้มกับน้ำตาลโคนด และเชื่อกันว่าช่วยเสริมสร้างน้ำนมให้กับสตรีที่เพิ่งคลอดบุตร นอกจากนี้ยังเป็นปลาที่มีราคาถูก ราคากลางๆ 10-20 บาท ราคากลางๆ 35-60 บาท ชาวประมงที่อาศัยบริเวณรอบ ๆ ทะเลสาบสงขลาจับปลาญูทอง *G. aureus* เป็นจำนวนมากเพื่อนำมาจำหน่ายและบริโภคภายในครัวเรือน โดยใช้เครื่องมือประมงหลากหลาย เช่น โพงพาง ล่อนยืน และอวนล้อม จึงกล่าวได้ว่า ปลาญูทอง *G. aureus* เป็นปลาที่มีความสำคัญทางเศรษฐกิจนิดหนึ่ง (Smith, 1945; ไฟโรมัน และคณะ, 2542)

การศึกษาวิจัยเกี่ยวกับปลาในสกุลปลาญูทอง (*Glossogobius* spp.) ในปัจจุบัน ส่วนใหญ่เป็นการศึกษาทางด้านอนุกรรมวิธีและการสำรวจชนิด (ตัวอย่างเช่น Akihito and Meguro, 1975 and 1976; Agate *et al.*, 1991; Satapoomin and Poovachiranon, 1997; ไฟโรมัน และคณะ, 2542) การศึกษาในด้านอื่น ๆ ยังมีน้อย โดยเฉพาะการศึกษาเกี่ยวกับสัณฐานวิทยา ความสมพันธ์ระหว่างความยาวมาตรฐานและน้ำหนัก ดัชนีความสมบูรณ์ ชีววิทยาการสืบพันธุ์และการเพาะเลี้ยงรวมทั้งการจัดการเพื่อให้ได้ประโยชน์จากปลาญูทอง *G. aureus* ในบริเวณทะเลสาบสงขลาอย่างยั่งยืนต่อไปในอนาคต

การศึกษาเกี่ยวกับปลาญูทอง *G. aureus* ที่อาศัยในทะเลสาบสงขลาครั้งนี้มีวัตถุประสงค์เพื่อศึกษาสัณฐานวิทยา ความสมพันธ์ระหว่างความยาวมาตรฐานและน้ำหนัก ดัชนีความสมบูรณ์ ชีววิทยาการสืบพันธุ์และการเพาะเลี้ยง และการจัดการเพื่อประโยชน์จากการเพาะเลี้ยงรวมทั้งการจัดการเพื่อให้ได้ประโยชน์จากปลา

การศึกษาสัณฐานวิทยาและความแตกต่างของสัณฐานวิทยาระหว่างปลาญี่ปุ่น *Glossogobius aureus* เพศผู้และเพศเมีย สามารถนำลักษณะทางสัณฐานวิทยาบางลักษณะมาใช้ในการจำแนกเพศของปลาได้ นอกจากนี้การศึกษาความสัมพันธ์และความแตกต่างของความสัมพันธ์ระหว่างความยาวมาตรฐานและน้ำหนักของปลาญี่ปุ่น *G. aureus* เพศผู้และเพศเมีย ยังสามารถนำสมการความสัมพันธ์ดังกล่าวมาใช้ในการคำนวณน้ำหนักของปลาแต่ละเพศ เมื่อทราบความยาวมาตรฐานได้ การศึกษาดัชนีความสมบูรณ์ทำให้ทราบถึงสภาวะความสมบูรณ์ของปลาญี่ปุ่น *G. aureus* การศึกษาชีววิทยาการสืบพันธุ์บางประการของปลาญี่ปุ่น *G. aureus* ซึ่งประกอบด้วย อัตราส่วนเพศ ขนาดในวัยเจริญพันธุ์ ขนาดเริ่มต้นที่สามารถสืบพันธุ์ได้ ตัวนีกการเจริญเติบโตของอวัยวะสืบพันธุ์ และความคงของไข่ของปลา ทำให้ทราบถึง อัตราส่วนระหว่างปลาเพศผู้และเพศเมีย สัดส่วนของขนาดปลาในวัยเจริญพันธุ์ ขนาดเริ่มต้นของปลาเพศผู้และเพศเมียที่สามารถสืบพันธุ์ได้ ถูกกาลสืบพันธุ์ของปลา และความสัมพันธ์ระหว่างความยาวมาตรฐานและจำนวนไข่ของปลา ซึ่งสามารถนำสมการมาใช้เป็นแนวทางในการคำนวณจำนวนไข่ของปลาเมื่อทราบความยาวมาตรฐานได้ และการศึกษาองค์ประกอบของอาหารในกระเพาะอาหารของปลาญี่ปุ่น *G. aureus* ทำให้ทราบถึงชนิด และการเปลี่ยนแปลงองค์ประกอบของอาหารในกระเพาะอาหารของปลาตามถูกกาล และสถานที่

## การตรวจเอกสาร

### การจัดหมวดหมู่ทางอนุกรมวิธาน

Nelson (1984) และ Masuda *et al.* (1985) ได้จัดจำแนกปลาญี่ปุ่นตามหลักอนุกรมวิธาน ดังนี้

Phylum : Chordata

Subphylum : Vertebrata

Superclass : Gnathostomata

Grade : Pisces

Class : Osteichthyes

Subclass : Actinopterygii

Infraclass : Neopterygii

Division : Halecostomi

Subdivision : Teleostei

Infradivision : Euteleostei

Superorder : Acanthopterygii

Order : Perciformes

Suborder : Gobioidei

Family : Gobiidae

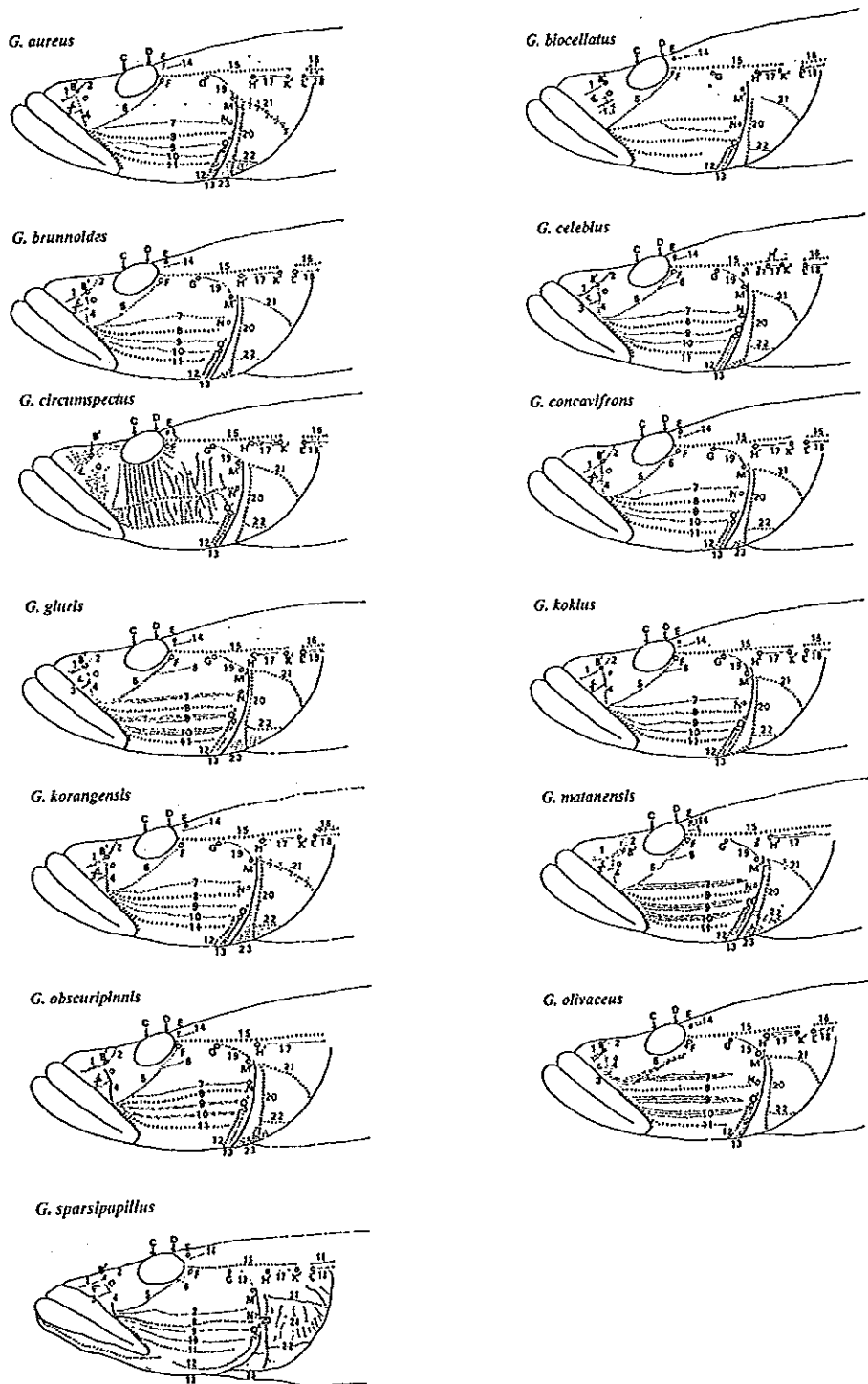
Subfamily : Gobiinae

Genus : *Glossogobius*

Species : *Glossogobius aureus* Akihito and Meguro, 1975

### การศึกษาทางด้านอนุกรมวิธาน

Akihito and Meguro (1975 and 1976) ได้จำแนกชนิดของปลาในสกุลปลาญี่ปุ่น โดยใช้ลักษณะการจัดเรียงตัวของร่องประสาท (sensory canal pore) และปมประสาท รับความรู้สึก (pit organ) บนแก้มของปลา (รูปที่ 1) สามารถจำแนกชนิดออกเป็น 13 ชนิด คือ *G. aureus*, *G. biocellatus*, *G. brunnoides*, *G. celebius*, *G. circumspectus*, *G. concavifrons*,



รูปที่ 1 ลักษณะการจัดเรียงหัวของปมประสาท (1-23) และร่องประสาทรับความรู้สึก (B'-O')  
บนแก้มของปลาในสกุลปลาปู่ทอง (*Glossogobius* spp.) 13 ชนิด  
ที่มา : คัดแปลงจาก Akihito and Meguro (1975 and 1976)

*Glossogobius giuris*, *G. kokius*, *G. korangensis*, *G. matanensis*, *G. obscuripinnis*, *G. olivaceus* และ *G. sparsipapillus* และสazuป่าว *G. giuris* ใน Smith (1945) ที่เก็บรวบรวมจากจังหวัดปัตตานี และ สมุทรปราการ เป็นชนิดเดียวกันกับ *G. aureus*

การศึกษาทางด้านอนุกรมวิธานของปลาในสกุลปลาบู่ทองในประเทศไทย พบว่า บริเวณชายฝั่งทะเลอันดามันมี 4 ชนิด คือ *G. bicirrhosus*, *G. biocellatus*, *G. circumspectus* และ *G. giuris* (Agate et al., 1991; Satapoomin and Poovachiranon, 1997) และในทะเลสาบสงขลา มี 4 ชนิด คือ *G. aureus*, *G. bicirrhosus*, *G. biocellatus* และ *G. circumspectus* (ໄภ. ໂຮ. ຈິນ ແລະ ຄະລະ, 2542)

### ลักษณะทั่วไปของปลาบู่ทอง *Glossogobius aureus*

ปลาบู่ทอง *G. aureus* มีลักษณะลำตัวเรียว ยาว เป็นรูปกระส้าย (torpedo-shaped) หัวแบบลงปลายเรียว มีความยาวหัว ความลึกของหัว และความกว้างของหัว เท่ากัน 32-35, 14-17 และ 16-19 เปลอร์เซ็นต์ของความยาวมาตรฐาน ตามลำดับ ลำตัวส่วนต้นกลม ส่วนท้ายแบน ข้าง ความลึกของลำตัวที่จุดเริ่มต้นของครีบห้องเท่ากัน 14-19 เปลอร์เซ็นต์ของความยาวมาตรฐาน ความกว้างของลำตัวที่จุดเริ่มต้นของครีบอกเท่ากัน 16-19 เปลอร์เซ็นต์ของความยาวมาตรฐาน จอยปากแหลมมนสูงขึ้นและยาวกว่าตา ตามีเส้นผ่าศูนย์กลาง 4-6 เปลอร์เซ็นต์ของความยาวมาตรฐาน ขากรรไกรบนยาวถึงใต้แนวขอบหน้าของตา มีความยาว 12-14 เปลอร์เซ็นต์ของความยาวมาตรฐาน ขากรรไกรล่างยื่นออกฟันขอบของขากรรไกรบนเล็กน้อย ริมฝีปากหนา มีฟันบนขากรรไกรหลายแท่ง ฟันแ雷หัวน้ำเป็นฟันเจี้ยว แคลวในสุดมีขนาดใหญ่ กว่าแคลวอื่น ปลายลิ้นแยกเป็นสองแฉก อวัยวะเพศ (genital papilla) ในปลาเพศผู้จะมีลักษณะเป็นรูปสามเหลี่ยมปลายแหลม แต่ในปลาเพศเมียจะมีลักษณะเรียวปลายมน บ้มประสาทรับความรู้สึกบนแก้ม มีจำนวน 5 แฉกในแนวนอน และอีกหนึ่งแฉกพาดขวางอยู่ใต้ตา ครีบทั้งมี 2 อัน ครีบทลังอันแรกมีก้านครีบ 6 ก้าน เป็นก้านครีบแข็งทึบหนด ก้านครีบก้านที่สอง สาม และสี่มีลักษณะยาวออกเป็นเส้น ครีบทลังอันที่สองมีก้านครีบ 10 ก้าน เป็นก้านครีบแข็ง 1 ก้าน และ ก้านครีบอ่อน 9 ก้าน ปลายครีบแหลม ครีบก้านมีก้านครีบ 9-10 ก้าน เป็นก้านครีบแข็ง 1 ก้าน และ ก้านครีบอ่อน 8-9 ก้าน ปลายครีบแหลม ครีบอกมีก้านครีบ 18-21 ก้าน ครีบห้องมีก้านครีบ 6 ก้าน เป็นก้านครีบแข็ง 1 ก้าน และ ก้านครีบอ่อน 5 ก้าน ฐานของครีบห้องทึบ สองข้างเชื่อมต่อกัน ครีบหางค่อนข้างยาวปลายแหลม เกล็ดมีลักษณะบางใส่มีขอบหยัก

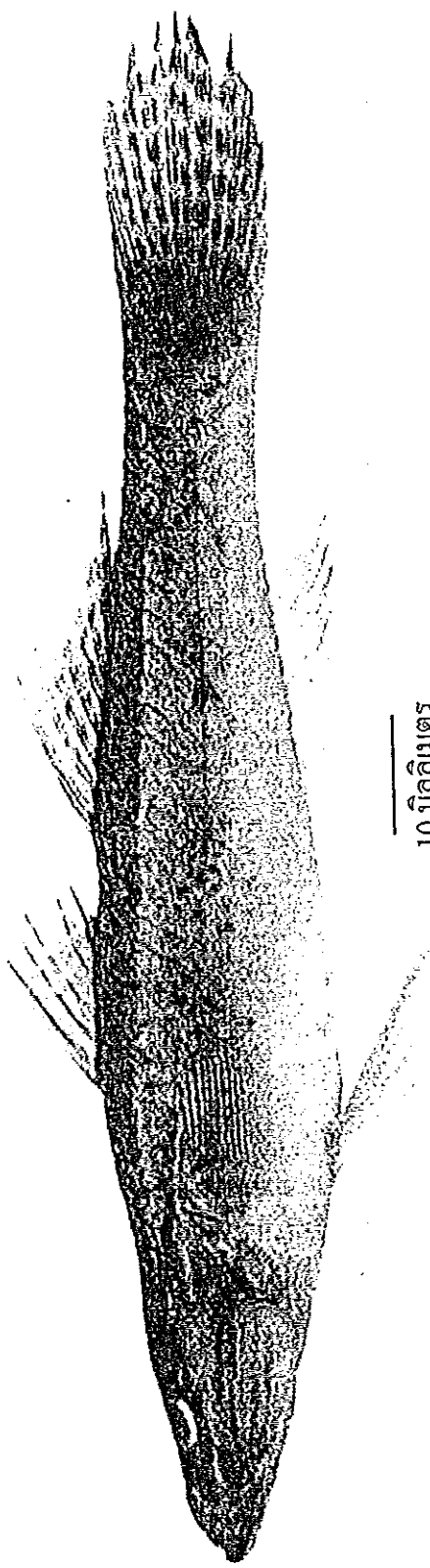
(ctenoid scale) เกล็ดที่หัวเริ่มจากหลังตาและบริเวณส่วนบนของแผ่นปีดเหงือก เกล็ดในแนวขวางของลำตัว (scales in a longitudinal series) มีจำนวน 31-33 เกล็ด เกล็ดในแนวขวางของลำตัว (scales in a transverse series) มีจำนวน 9-10 เกล็ด เกล็ดก่อนถึงครีบหลังอันแรก (predorsal scales) มีจำนวน 22-27 เกล็ด ลำตัวมีสีน้ำตาลปนทอง ท้องสีเหลือง มีเต้มสีดำ 5-6 แต้มตามแนวข้างตัว ครีบหลังและครีบหางมีจุดสีดำเล็ก ๆ เรียงเป็น列 ครีบท้องสีขาว (รูปที่ 1 และ รูปที่ 2) (Akihito and Meguro, 1975; Masuda *et al.*, 1985; ไพรожน์ สิริมนตากรณ์, การติดต่อส่วนบุคคล)

### ถินที่อยู่และการแพร่กระจาย

ปลาญี่ปุ่น *Glossogobius aureus* เป็นปลาที่พบทั่วไปทั้งในบริเวณน้ำจืดและน้ำเค็ม (Smith, 1945) มีการแพร่กระจายในบริเวณกว้าง ด้านเหนือของแม่น้ำโขกินาวา ประเทศญี่ปุ่น ( $24^{\circ}20'$  เหนือ,  $123^{\circ}50'$  ตะวันออก) ด้านใต้และด้านตะวันออกของหมู่เกาะคิวชู ญี่ปุ่น ประเทศคอสเตรเลีย ( $15^{\circ}50'$  ใต้,  $144^{\circ}30'$  ตะวันออก) และด้านตะวันตกของแม่น้ำปีนัง ประเทศมาเลเซีย ( $5^{\circ}20'$  เหนือ,  $100^{\circ}25'$  ตะวันออก) ในประเทศไทย ไวยานแพร่กระจายทั่วไปในอ่าวไทย (Akihito and Meguro, 1975) สำหรับการแพร่กระจายในทะเลสาบสงขลา พบตั้งแต่บริเวณปากทะเลสาบสงขลา ตำบลหัวเขา อำเภอสิงหนคร จังหวัดสงขลา ไปจนถึงทะเลสาบทุ่งตันล่าง บริเวณเกาะหมาก ตำบลเกาะหมาก อำเภอป่าพะยูน จังหวัดพัทลุง (ไพรожน์ และคณะ, 2542) ปลาญี่ปุ่น *G. aureus* มีชื่อเรียกแตกต่างกันไปในแต่ละบริเวณ เช่น บริเวณเกาะหมาก เรียกว่า “ปลาทราย” และบริเวณปากทะเลสาบสงขลา เรียกว่า “ปลาชีโภทราย” สำหรับชื่อ “ปลาญี่ปุ่น” เป็นชื่อซึ่งเรียกกันในบริเวณแม่น้ำเจ้าพระยา (Smith, 1945) ปลาในสกุลปลาญี่ปุ่นบางชนิด เช่น *G. giuris* จะพบเฉพาะในถิ่นที่อยู่เดิม (Agate *et al.*, 1991)

### ศึกษาการสืบพันธุ์ทางประการ

ปลาญี่ปุ่น *G. giuris* ที่อาศัยในลากูนาเดอบรี ประเทศฟิลิปปินส์ มีการสืบพันธุ์ตลอดทั้งปี โดยมีการสืบพันธุ์มากที่สุดระหว่างเดือน มิถุนายน ถึงเดือน สิงหาคม (Marquez, 1969) ปลาญี่ปุ่น *Oligolepis acutipennis* ที่อาศัยในบริเวณชวา กทม. ของชา yat ประเทศอินเดีย มีฤดูกาลสืบพันธุ์ 2 ช่วง ช่วงแรก ระหว่างเดือน พฤษภาคม ถึงเดือน สิงหาคม และช่วงที่สอง ระหว่างเดือน ตุลาคม ถึงเดือน กุมภาพันธ์ (Geevarghese and John, 1983) ปลาญี่ปุ่น *Silhouettea aegyptia*



รูปที่ 2 ปลาทูน่า *Glossogobius aureus* ความยาวมาตรฐาน 110 มิลลิเมตร

ที่มา : Masuda et al. (1985)

ที่อาศัยในทะเลสาบทิมชาห์ มีถูกการสืบพันธุ์ระหว่างเดือน มีนาคม ถึงเดือน กันยายน โดยมี การสืบพันธุ์มากที่สุดในเดือน พฤษภาคม และปลาปู *Pomatoschistus marmoratus* ที่อาศัยใน บริเวณเดียวกัน มีถูกการสืบพันธุ์ระหว่างเดือน พฤษภาคมถึงเดือน เมษายน (Fouda *et al.*, 1993)

ปลาปู *Glossogobius giuris* มีอัตราส่วนของเพศผู้ต่อเพศเมียเป็น 5:1 (Geevarghese, 1976 อ้างโดย Geevarghese and John, 1983) ปลาปู *Oligolepis acutipennis* ที่อาศัยในบริเวณ ช่วงวากะเลขของชายฝั่งประเทศอินเดีย มีอัตราส่วนของเพศผู้ต่อเพศเมียเป็น 1:2 (Geevarghese and John, 1983) ปลาปู *Silhouettea aegyptia* และปลาปู *P. marmoratus* ที่อาศัยในทะเลสาบ ทิมชาห์ มีอัตราส่วนของเพศผู้ต่อเพศเมียเป็น 1:1.7 และ 1:2.7 ตามลำดับ (Fouda *et al.*, 1993)

ปลาปู *G. giuris* ที่อาศัยในลากูน่าเคนเนย์ ประเทศฟิลิปปินส์ ปลาเพศเมียขนาดเล็กที่ สุดที่สามารถสืบพันธุ์ได้มีขนาด 6.6 เซนติเมตร (Marquez, 1969) ปลาปู *O. acutipennis* ที่ อาศัยในบริเวณช่วงวากะเลขของชายฝั่งประเทศอินเดีย ปลาเพศผู้ขนาดเล็กที่สุดที่สามารถ สืบพันธุ์ได้มีขนาด 7.4 เซนติเมตร ปลาเพศเมียขนาดเล็กที่สุดที่สามารถสืบพันธุ์ได้มีขนาด 7.2 เซนติเมตร (Geevarghese and John, 1983) ปลาปู *S. aegyptia* ที่อาศัยในทะเลสาบทิมชาห์ ปลาเพศผู้ขนาดเล็กที่สุดที่สามารถสืบพันธุ์ได้มีขนาด 2.1 เซนติเมตร ปลาเพศเมียขนาดเล็กที่ สุดที่สามารถสืบพันธุ์ได้มีขนาด 2.0 เซนติเมตร และปลาปู *P. marmoratus* ที่อาศัยในบริเวณ เดียวกัน ปลาเพศผู้ขนาดเล็กที่สุดที่สามารถสืบพันธุ์ได้มีขนาด 2.4 เซนติเมตร ปลาเพศเมีย ขนาดเล็กที่สุดที่สามารถสืบพันธุ์ได้มีขนาด 2.6 เซนติเมตร (Fouda *et al.*, 1993)

ปลาปู *S. aegyptia* ที่อาศัยในทะเลสาบทิมชาห์ มีความคงของไข่ 152 ฟอง ถึง 782 ฟอง โดยมีค่าเฉลี่ย 468 ฟอง ความยาวมาตรฐาน (L) และความคงของไข่ (Fe) มีความสัมพันธ์ กันเป็นเส้นตรง ดังสมการ  $\text{Log Fe} = 0.61 + 1.592 \log L$  (Fouda *et al.*, 1993)

พัฒนาการของไข่ในปลาปู *G. giuris* แบ่งออกเป็น 6 ระยะ (Marquez, 1969) ได้แก่

- ระยะ Juvenile ไข่มีขนาดเล็กมาก (เส้นผ่าศูนย์กลาง 0.01–0.03 มิลลิเมตร) รูปร่างกลม มีลักษณะโปรงใส และชีดติดกันแน่นด้วยเนื้อเยื่ออเกิร์วัน (connective tissue) ของรังไข่

- ระยะ Quiet ไข่มีขนาดเส้นผ่าศูนย์กลาง 0.05–0.13 มิลลิเมตร มีรูปร่างเป็นรูป ไข่ บางฟองมีรูปร่างคล้ายถุงสารี มีลักษณะเป็นเซลล์โปรงใส เนื้อนิวเคลียส (nucleus) ชัดเจน และเริ่มแยกออกจากกัน

3. ระยะ Preparation ไจเม็ดใหญ่ชิ้น (เส้นผ่าศูนย์กลาง 0.12–0.26 มิลลิเมตร) มีความขาวเป็น 2–3 เท่าของความกว้าง มีสีค่อนข้างเหลืองเพราะเริ่มมีไจ่แดง และแยกออกจากกันเป็นฟองเดียว

4. ระยะ Fusing ไจเม็ดเส้นผ่าศูนย์กลาง 0.21–0.48 มิลลิเมตร มีรูปร่างยาวหรือรูปทรงกระบอง (club-shaped) มีสีเข้มขึ้นเพราะมีไจ่แดงมาก และเปียดกันแน่น

5. ระยะ Stretching ไจเม็ดใหญ่กว่าระยะที่ 4 (เส้นผ่าศูนย์กลาง 0.30–0.83 มิลลิเมตร) มีรูปร่างเป็นรูปทรงกระบอง ไจ่แดงกระจายทั่วไจ่

6. ระยะ Mature ไจเม็ดเส้นผ่าศูนย์กลาง 0.55–0.83 มิลลิเมตร มีลักษณะ似 คล้ายกระจก บางส่วนยังคงทึบแสง บางส่วนมีรูปร่างเป็นรูปทรงกระบอง และมีหยดน้ำมันเล็กน้อย

#### องค์ประกอบของอาหารในกระเพาะอาหาร

องค์ประกอบของอาหารที่พบในกระเพาะอาหารของปลาญี่ปุ่น *Glossogobius giuris* ที่อาศัยในลากูนาเคอเบย์ ประเทศฟิลิปปินส์ แบ่งออกเป็น 3 กลุ่ม คือ กลุ่มพืช กลุ่มสัตว์ และกลุ่มอื่น ๆ ที่ไม่สามารถจำแนกชนิดได้ โดยอาหารกลุ่มพืชเป็นกลุ่มเด่นที่สุด (Marquez, 1969) กลุ่มพืช ประกอบด้วย สาหร่ายสีเขียวแกมน้ำเงิน ได้แก่ *Microcystis, Anabaena, Gloeocapsa, Aphanocapsa* และ *Clathrocystis* สาหร่ายสีเขียวแกมน้ำเงิน ได้แก่ *Binuclearia, Chlorella, Chlorococcum, Chroococcus, Closterium, Coelastrum, Cosmarium, Gloeocystis, Hormidium, Oocystis, Pandorina, Planktosphaeria, Protoderma, Scenedesmus, Sphaerocystis* และ *Stichococcus* สาหร่ายสีน้ำตาลแกมน้ำเงิน ได้แก่ *Achnanthes, Cyclotella, Diatoma, Fragilaria, Mastogloia, Meridion, Nitzschia, Stauropeis, Synedra* และ *Tabellaria* และยูกลินอยด์ ได้แก่ *Chlamydomonas, Euglena* และ *Trachelomonas* กลุ่มสัตว์ ประกอบด้วย โปรตอซัว (Protozoa) โรติเฟอร์ (Rotifera) ครัสเตเชียน (crustacean) ปลากระดูกแข็ง (teleosts) และฟองน้ำ

องค์ประกอบของอาหารที่พบในกระเพาะอาหารของปลาญี่ปุ่น *Pomatoschistus minutus* ที่อาศัยในบริเวณหมู่เกาะบาหลีทางตอนเหนือ ประกอบด้วย โพลีคีتا (Polychaeta) ออลิโกลีคีตา (Oligochaeta) ครัสเตเชียน (Crustacea) แมลง (Insecta) และ มอลลัสคา (Mollusca) องค์ประกอบของอาหารในกระเพาะอาหารมีการเปลี่ยนแปลงตามขนาดของปลาและตาม

กุ้งกาłam ปลาที่มีขนาดเล็กกว่า 3.0 เซนติเมตร มีอาร์เพ็คติโคຍดา (Harpacticoida) เป็นองค์ประกอบหลัก ปลาที่มีขนาด 3.0 ถึง 4.0 เซนติเมตร มีตัวอ่อนของไครโโนนิด (chironomid) เป็นองค์ประกอบหลักในช่วงกุ้งใหญ่ไม่มีผล มีอาร์เพ็คติโคຍดาเป็นองค์ประกอบหลักในช่วงกุ้งร้อนและกุ้งใหญ่ไม่ร้อน ปลาที่มีขนาดใหญ่กว่า 4.0 เซนติเมตร มีไครโโนนิดเป็นองค์ประกอบหลักในกุ้งใหญ่ไม่มีผล มีแอนฟิพอด (amphipod) เป็นองค์ประกอบหลักในกุ้งร้อนและเมือสตراكอด (ostracod) เป็นองค์ประกอบหลักในกุ้งใหญ่ไม่มีผล (Aarnio and Bonsdorff, 1993)

## บทที่ 2

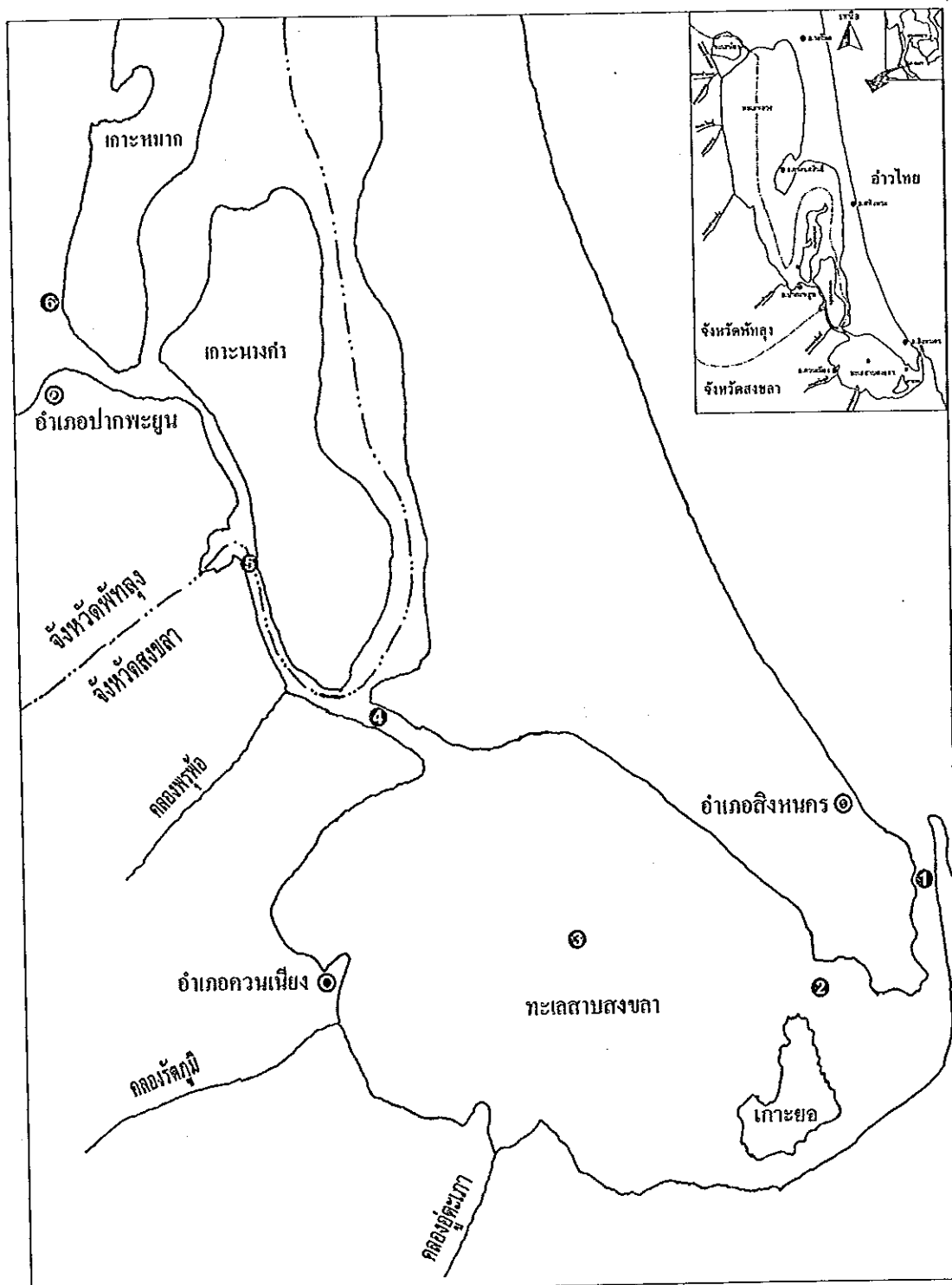
### วิธีการศึกษา

#### สถานที่เก็บตัวอย่าง

ทะเลสาบสังขลาเป็นชื่อร่วมของทะเลสาบทั้งระบบ ตั้งอยู่ในเขตจังหวัดสangkhla และจังหวัดพะทูง ( $7^{\circ}08' - 7^{\circ}58'$  เหนือ,  $100^{\circ}07' - 100^{\circ}37'$  ตะวันออก) ประกอบด้วย ทะเลสาบตอนนอก นับจากปากทะเลสาบที่ ตำบลหัวเขา ไปจนถึง ตำบลป่าขาด อำเภอสิงหนคร จังหวัดสangkhla มีพื้นที่ผืนน้ำ 185.8 ตารางกิโลเมตร ความลึกเฉลี่ยประมาณ 1.9 เมตร ทะเลสาบตอน ในหรือทะเลหลวง เชื่อมต่อกับทะเลสาบตอนนอกโดยคลองหลวงที่ ตำบลป่ากรอ อำเภอสิงหนคร ไปจนถึง ตำบลบ้านขาว อำเภอระโนด จังหวัดสangkhla มีพื้นที่ผืนน้ำ 829.6 ตารางกิโลเมตร ความลึกเฉลี่ยประมาณ 2 เมตร และทะเลน้อย เป็นส่วนที่อยู่ตอนบนสุดของทะเลสาบ เชื่อมต่อกับทะเลหลวงโดยคลองนานาเรียม มีพื้นที่ผืนน้ำ 27.2 ตารางกิโลเมตร ความลึกเฉลี่ยประมาณ 1 เมตร (เทสโก้ และคณะ, 2537; ไพรожน์ และคณะ, 2542)

Everson (1983) แบ่งฤคุกาลในเขตลุ่มน้ำทะเลสาบสangkhla โดยดูจากค่าดัชนีความเด็น (stress index) ซึ่งคำนวณจากสัดส่วนของปริมาณน้ำฝนเฉลี่ย (precipitation) และการระเหยของน้ำเฉลี่ย (evaporation) ในแต่ละเดือน สามารถแบ่งฤคุกาลออกได้เป็น 3 ช่วง คือ ช่วงเดือนที่มีฝนตกชุก (wet month) มีค่าดัชนีความเด็นมากกว่า 0.8 ได้แก่ เดือน กันยายน ถึงเดือน ธันวาคม ช่วงเดือนที่มีฝนตกปานกลาง (intermediate month) มีค่าดัชนีความเด็น 0.31-0.79 ได้แก่ เดือน พฤษภาคม ถึงเดือน สิงหาคม และช่วงเดือนที่มีฝนตกน้อย (dry month) มีค่าดัชนีความเด็นน้อยกว่า 0.3 ได้แก่ เดือน มกราคม ถึงเดือน เมษายน

สถานที่เก็บตัวอย่างครั้งนี้แบ่งออกเป็น 6 สถานี ตามทิศทางของการแพร่กระจายของความเค็มจากปากทะเลสาบสangkhlaเข้าสู่ทะเลสาบ และตามที่ตั้งของเครื่องมือประมงประจำที่โดยใช้แผนที่ทะเลสาบสangkhla มาตราส่วน 1 : 250,000 (รูปที่ 3) ดังนี้



รูปที่ 3 สถานที่เก็บตัวอย่าง (มาตราส่วน 1 : 250,000)

- |                            |                          |
|----------------------------|--------------------------|
| ① บริเวณปากที่เลาสามสังขลา | ② บริเวณสะพานติดสุทโธทัน |
| ③ บริเวณกลางที่เลา         | ④ บริเวณสะพานปากรอ       |
| ⑤ บริเวณวัดท่าหนาย         | ⑥ บริเวณแก้วนางก้า       |

สถานีที่ 1 บริเวณปากทะเลสาบสังขลา ตั้งอยู่ที่ ตำบลหัวเข้า อําเภอสิงหนคร จังหวัดสังขลา ( $7^{\circ}13.05'$  เหนือ,  $100^{\circ}34.73'$  ตะวันออก) มีความลึกประมาณ 5.9 เมตร ลักษณะพื้นดินเป็นดินโคลนปนทราย

สถานีที่ 2 บริเวณสะพานคิมสุลานนท์ ตั้งอยู่ที่ ตำบลสทิงหม้อ อําเภอสิงหนคร จังหวัดสังขลา ( $7^{\circ}11.35'$  เหนือ,  $100^{\circ}33.18'$  ตะวันออก) มีความลึกประมาณ 2.9 เมตร ลักษณะพื้นดินเป็นดินโคลนปนทราย

สถานีที่ 3 บริเวณกลางทะเลสาบสังขลา ตั้งอยู่ที่ ตำบลบ้านขาด อําเภอสิงหนคร จังหวัดสังขลา ( $7^{\circ}12.08'$  เหนือ,  $100^{\circ}29.27'$  ตะวันออก) มีความลึกประมาณ 1.9 เมตร ลักษณะพื้นดินเป็นดินโคลน

สถานีที่ 4 บริเวณสะพานปากรอ ตั้งอยู่ที่ ตำบลปากรอ อําเภอสิงหนคร จังหวัดสังขลา ( $7^{\circ}15.51'$  เหนือ,  $100^{\circ}25.58'$  ตะวันออก) มีความลึกประมาณ 6.5 เมตร ลักษณะพื้นดินเป็นดินโคลน

สถานีที่ 5 บริเวณวัดท่าหนี้ ตั้งอยู่ที่ ตำบลหัวยดีก อําเภอควนเนย়ง จังหวัดสังขลา ( $7^{\circ}18.04'$  เหนือ,  $100^{\circ}22.97'$  ตะวันออก) มีความลึกประมาณ 9.4 เมตร ลักษณะพื้นดินเป็นดินโคลน

สถานีที่ 6 บริเวณเกาะหมาก ตั้งอยู่ที่ ตำบลเกาะหมาก อําเภอปากะภูน จังหวัดพัทลุง ( $7^{\circ}22.05'$  เหนือ,  $100^{\circ}19.45'$  ตะวันออก) มีความลึกประมาณ 2.4 เมตร ลักษณะพื้นดินเป็นดินโคลน

#### เครื่องมือประมงที่ใช้ในการเก็บตัวอย่าง

การเก็บตัวอย่างครั้งนี้ ใช้เครื่องมือประมงประจำที่ 2 ประเภท กือ โพงพาง และลอนยืน

1. โพงพาง (รูปที่ 4 ก.) เป็นเครื่องมือประมงที่มีลักษณะเป็นถุง ปากถุงมีความกว้าง 8 เมตร ลึก 4 เมตร ความยาวจากปากถุงถึงก้นถุง 15 เมตร มีขนาดช่องตาอวนต่าง ๆ กัน บริเวณปากถุงมีขนาดช่องตาอวน 3 เซนติเมตร ก้นถุงมีขนาดช่องตาอวน 0.5 เซนติเมตร โดยนำไปผูกติดกับเสาหลักขนาดใหญ่ 2 ต้น เพื่อดักจับปลาในช่วงน้ำขึ้นหรือน้ำลง

2. ลอนบีน (รูปที่ 4 ข.) แบ่งเป็น 2 ส่วน คือ ส่วนตัวลอนและส่วนปีกลอน ส่วนตัวลอนมีลักษณะเป็นโครงไม้รูปสี่เหลี่ยมจูกบางสก์ มีความสูง 2.5 เมตร ยาว 1.2 เมตร และกว้าง 0.8 เมตร บุด้วยอวนในลอนที่มีขนาดช่องทาง 1.5 เซนติเมตร ทางด้านหน้ามีช่องเปิดสำหรับให้ปลาเข้าไปข่าวตลอดความสูงของลอน ช่องเปิดมีลักษณะเป็นขาแข็งกันปลาไว้ยันน้ำ ข้อนกลับออกนา ทางด้านตรงข้ามทำเป็นช่องเล็ก ๆ เปิด-ปิดได้ สำหรับเก็บรวบรวมปลา ด้านบนของตัวลอนมีเชือกผูกติดกับกรอบไม้ขั้ดใช้สำหรับซักลอนให้ลอยพื้นผิวน้ำขณะเก็บรวบรวมปลา ส่วนปีกลอนเป็นตาข่าย มีขนาดช่องทาง 3 เซนติเมตร ใช้สำหรับกันทางเดินของปลาทึ่งด้านข้างและด้านขวาเพื่อให้ปลาเข้าสู่ตัวลอน มีความยาวข้างละ 30 เมตร

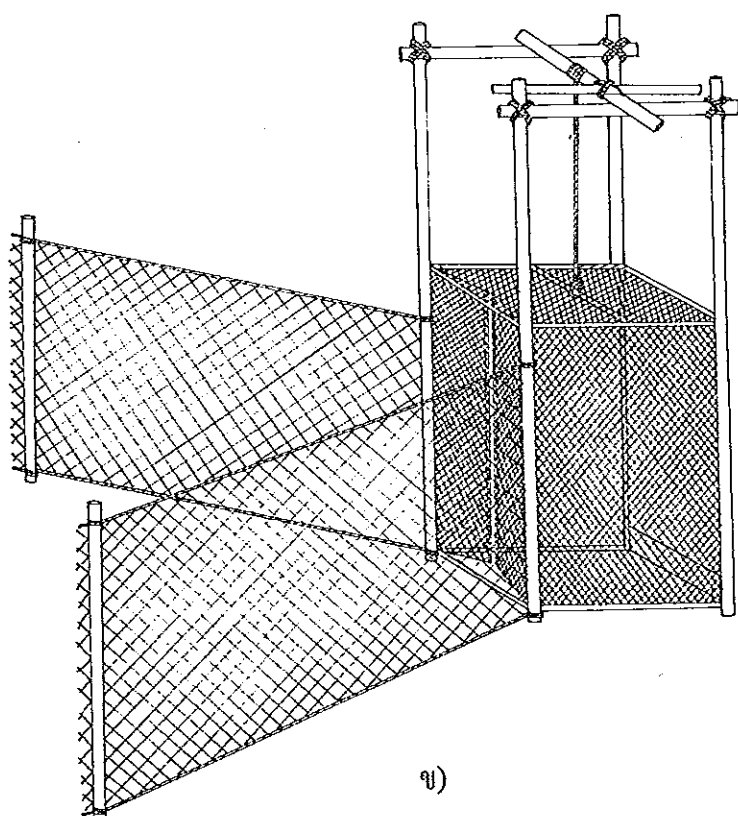
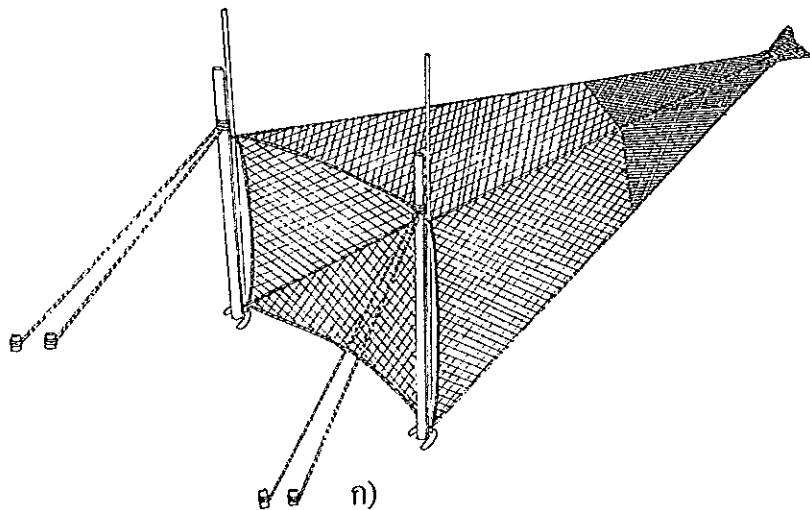
#### วิธีการเก็บตัวอย่าง

เก็บตัวอย่างปลาในสกุลปลาบู่ทองทั้งหมดตามสถานีที่กำหนดในช่วงวันที่ 10-20 ของทุก ๆ เดือน เริ่มตั้งแต่เดือน ธันวาคม 2540 ถึง เดือน ธันวาคม 2541 จากเครื่องมือประมงประจำที่ทั้ง 2 ประเภท

โพงพาง ใช้เก็บตัวอย่างปลาบริเวณปากทะเลสาบสงขลา สะพานติณสูลานนท์ สะพานปากกรอ และ วัดท่าหนาย เนื่องจากบริเวณดังกล่าวเป็นร่องน้ำลึกและมีกระแสน้ำไหลค่อนข้างแรง จึงเหมาะสมสำหรับการใช้เครื่องมือชนิดนี้มาก แต่ละบริเวณจะใช้โพงพางจำนวน 6 ชุดเพื่อดักจับปลาในช่วงน้ำลงในเวลากลางคืนเป็นเวลา 4 ชั่วโมง จึงกู้ขึ้นมาเปิดปลายถุงเพื่อเก็บปลา

ลอนบีน ใช้เก็บตัวอย่างปลาบริเวณกลางทะเลสาบสงขลา และ เกาะหมาก เนื่องจากเป็นบริเวณที่มีพื้นที่กว้างและมีกระแสน้ำไหลเอ้อยู่ ๆ จึงเหมาะสมสำหรับการใช้เครื่องมือชนิดนี้มาก แต่ละบริเวณจะใช้ลอนบีนจำนวน 18 ชุด เพื่อดักจับปลาตั้งแต่ช่วงเย็น จนถึงรุ่งเช้าของวันถัดไป การดักจับปลาแต่ละครั้งใช้เวลาประมาณ 12 ชั่วโมง จึงกู้ขึ้นมาเพื่อเก็บปลา

นำปลาที่จับได้บรรจุในกล่องโฟมซึ่งมีส่วนผสมของน้ำแข็งและเกลือเพื่อป้องกันการเน่าเสียของปลา และดำเนินการด้วยเคราะห์ยังห้องปฏิบัติการของภาควิชาชีววิทยา คณะวิทยาศาสตร์ มหาวิทยาลัยสงขลานครินทร์ วิทยาเขตหาดใหญ่



รูปที่ 4 เครื่องมือประมงประจำที่ที่ใช้ในการจับปลาบู่ทอง

*Glossogobius aureus*

ก) โพงพาง และ ข) ตอบขึ้น

## การจำแนกชนิดของปลาในสกุลปลาบู่ทอง

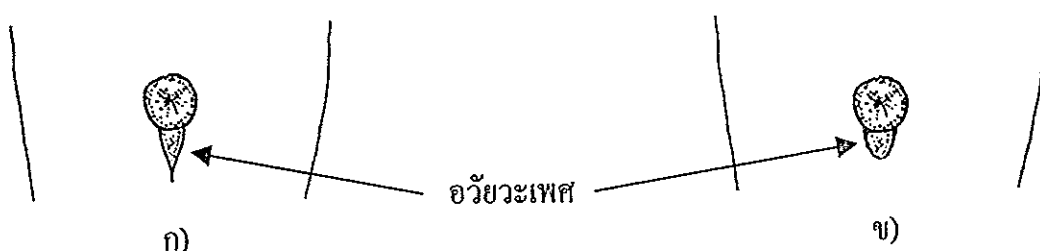
จำแนกชนิดของปลาในสกุลปลาบู่ทองตามวิธีการของ Akihito and Meguro (1975 and 1976) โดยดูจากลักษณะการจัดเรียงตัวของปุ่มประสาทและร่องประสาทรับความรู้สึกบนแก้มของปลา (รูปที่ 1) เลือกเฉพาะปลาบู่ทอง *Glossogobius aureus* เพื่อนำมาศึกษาด้านต่าง ๆ คือ สัณฐานวิทยา ความสัมพันธ์ระหว่างความยาวมาตรฐานและน้ำหนัก ดัชนีความสมบูรณ์ชีววิทยาการสืบพันธุ์ทางประการ และองค์ประกอบของอาหารในกระเพาะอาหาร

## การจำแนกเพศ

การจำแนกเพศของปลาบู่ทอง *G. aureus* ดูจากลักษณะของอวัยวะเพศ (รูปที่ 5) ซึ่งมีลักษณะเช่นเดียวกับปลาบู่ *G. sparsipapillus* คือในเพศผู้จะมีลักษณะเป็นรูปสามเหลี่ยมปลายแหลม แต่ในเพศเมียจะมีลักษณะเรียบปลายมน (Akihito and Meguro, 1975 and 1976) และหัวท้องปลาเพื่อศึกษาจากลักษณะของอวัยวะสืบพันธุ์เป็นการยืนยันอีกครั้ง

## สัณฐานวิทยา (Morphology)

ส่วนตัวอย่างปลาบู่ทอง *G. aureus* ด้วยวิธีจับคลาก จากตัวอย่างปลาที่จับได้บริเวณสะพานติดสูตานนท์ โดยให้หมายเดาทำกับปลาแต่ละตัว และแยกหมายเดาระหว่างปลาเพศผู้และเพศเมีย แล้วจับคลากหมายเดาปลาเพศผู้จำนวน 40 ตัว และเพศเมียจำนวน 40 ตัว เพื่อศึกษาลักษณะทางสัณฐานวิทยา ซึ่งประกอบด้วย 2 วิธีการหลัก คือ วิธีการนับ และ วิธีการวัด (รูปที่ 6)



รูปที่ 5 ลักษณะของอวัยวะเพศของปลาบู่ทอง *Glossogobius aureus* ก) เพศผู้ และ ข) เพศเมีย

### วิธีการนับ (Methods of counting)

การนับจำนวนก้านครีบใช้วิธีการของ Masuda *et al.* (1985) โดยแยกนับจำนวนก้านครีบของครีบต่าง ๆ เป็นก้านครีบแข็ง (spines) ซึ่งแทนด้วยเลขโรมัน (I, II, ...) และก้านครีบอ่อน (soft rays) ซึ่งแทนด้วยเลขอารabic (1, 2, ...) ได้แก่ จำนวนก้านครีบหลังอันแรก (first dorsal rays) จำนวนก้านครีบหลังอันที่สอง (second dorsal rays) จำนวนก้านครีบก้น (anal rays) จำนวนก้านครีบอก (pectoral rays) และจำนวนก้านครีบท้อง (pelvic rays)

การนับจำนวนเกล็ดใช้วิธีการของ Masuda *et al.* (1985) และ Randall (1994) ได้แก่ จำนวนเกล็ดในแนวยาวของลำตัว เริ่มนับจากปลายด้านบนสุดของแผ่นปิดเหงือกจนถึงฐานของครีบหาง จำนวนเกล็ดในแนววางของลำตัว นับจากจุดเริ่มต้นของครีบก้นขึ้นไปในแนวทะแยงจนถึงฐานของครีบหลังอันแรก และจำนวนเกล็ดก่อนถึงครีบหลังอันแรก นับเฉพาะเกล็ดในแนวกลางหลังตั้งแต่บริเวณกลางหน้าหากถึงขอบด้านหน้าของฐานครีบหลังอันแรก

การนับจำนวนซี่กรอง (gill-raker) ใช้วิธีการของ Randall (1994) โดยนับเฉพาะจำนวนซี่กรองของแกนเหงือกอันแรก ประกอบด้วย ซี่กรองของแกนเหงือกส่วนบน (upper-limb) และซี่กรองของแกนเหงือกส่วนล่าง (lower-limb) ซึ่งนับรวมซี่กรองที่มีอยู่ของแกนเหงือกเป็นซี่กรองของแกนเหงือกส่วนล่าง (รูปที่ 7)

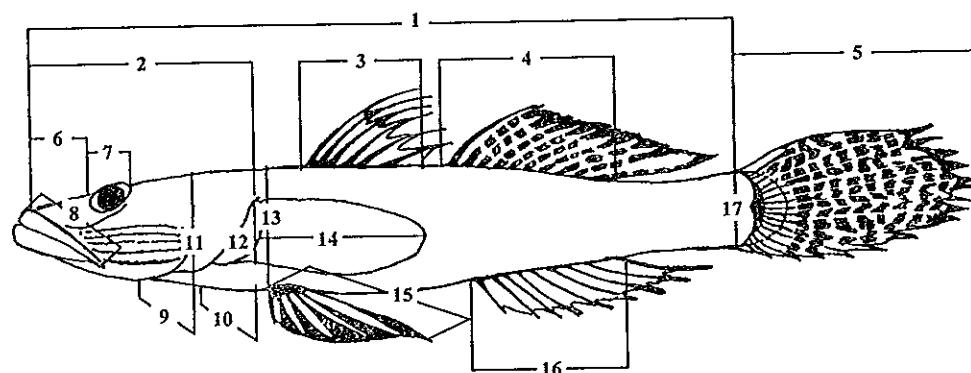
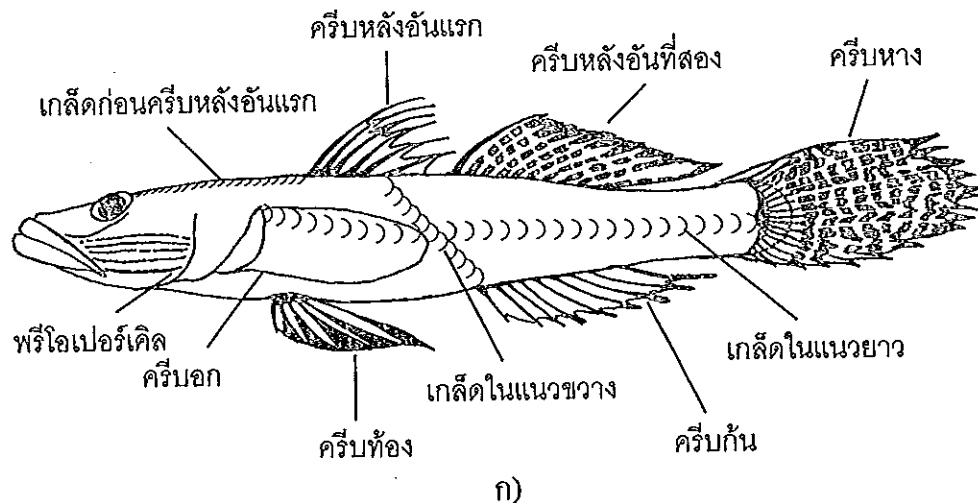
### วิธีการวัด (Methods of measurement)

วัดส่วนต่าง ๆ ของปลาบู่ทอง *Glossogobius aureus* ในแนวเดี่ยวนทางจากจุดหนึ่งไปยังอีกจุดหนึ่ง (Akiihito and Meguro, 1976; Masuda *et al.*, 1985; Randall, 1994) โดยใช้เวอร์เนียร์คาลิปเปอร์ (vernier calipers) ที่สามารถวัดค่าได้ละเอียดถึง 0.05 มิลลิเมตร ใช้หน่วยวัดเป็น เซนติเมตร ทศนิยม 2 ตำแหน่ง ดังนี้

ความยาวมาตรฐาน (Standard length; SL) วัดระยะจากส่วนปลายสุดของจอยปากถึงฐานของครีบหางซึ่งเป็นส่วนสุดท้ายของกระดูกไฮพูราล เพลท (hypural plate)

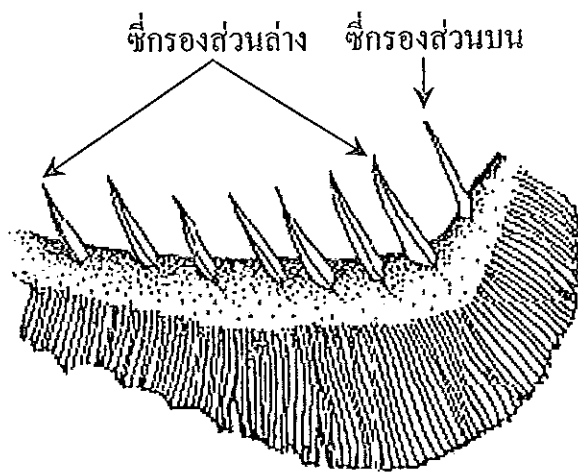
ความลึกของลำตัว (Body depth) วัดระยะในแนวคิ่งที่จุดเริ่มต้นของครีบท้อง

ความกว้างของลำตัว (Body width) วัดระยะจากจุดเริ่มต้นของครีบอกข้างซ้ายถึงจุดเริ่มต้นของครีบอกข้างขวา



รูปที่ 6 ตำแหน่งที่ใช้ในการศึกษาลักษณะทางสัณฐานวิทยาของปลาปู่ทอง *Glossogobius aureus* ก) ตำแหน่งที่ใช้ในการนับจำนวนเกล็ดและก้านครีบ และ ข) ตำแหน่งที่ใช้ในการวัดส่วนต่างๆ

ที่มา : ดัดแปลงจาก Masuda et al. (1985)



รูปที่ 7 ซี่กรองส่วนบนและส่วนล่างของแกนเหงือกอันแรกของปลา  
ที่มา : ดัดแปลงจาก Smith and Heemstra (1986)

ความยาวของหัว (Head length) วัดระยะในแนวระนาบจากส่วนปลายสุดของงอยปากถึงเส้นสัมผัสในแนวตั้งของส่วนปลายสุดของแผ่นปีกเหงือก

ความกว้างของหัว (Head width) วัดระยะจากส่วนปลายสุดทางด้านท้ายของพรีโอเปอร์เคิล (preopercle) ขึ้นช้าๆถึงส่วนปลายสุดทางด้านท้ายของพรีโอเปอร์เคิลข้างๆ

ความลึกของหัว (Head depth) วัดระยะในแนวตั้งที่ส่วนปลายสุดทางด้านท้ายของพรีโอเปอร์เคิล

ความยาวหน้าตา (Snout length) วัดระยะในแนวระนาบจากปลายสุดของงอยปากถึงเส้นสัมผัสในแนวตั้งของขอบตาทางด้านหน้า

เส้นผ่าศูนย์กลางตา (Eye diameter) วัดระยะในแนวระนาบจากขอบตาด้านหน้าถึงขอบตาด้านหลัง

ความยาวของขากรรไกรด้านบน (Upper jaw length) วัดระยะจากปลายสุดทางด้านหน้าของพรีแมกซิลลา (premaxilla) ถึงปลายสุดทางด้านท้ายของแมกซิลลา (maxilla)

ความกว้างของฐานครีบหลังอันแรก (Length of first dorsal fin base) วัดระยะจากขอบทางด้านหน้าถึงขอบทางด้านหลังของฐานครีบหลังอันแรก

ความกว้างของฐานครีบหลังอันที่สอง (Length of second dorsal fin base)  
วัดระยะจากขอบทางด้านหน้าถึงขอบทางด้านหลังของฐานครีบหลังอันที่สอง

ความยาวของครีบหาง (Caudal fin length) วัดระยะจากฐานของครีบหาง  
ถึงส่วนปลายสุดของครีบหาง

ความลึกของคอตหาง (Caudal peduncle depth) วัดระยะจากจุดเริ่มต้น  
ของก้านครีบหางเส้นแรกทางด้านบนถึงจุดเริ่มต้นของก้านครีบหางเส้นแรกทางด้านล่าง

ความกว้างของฐานครีบอก (Pectoral fin base) วัดระยะจากจุดเริ่มต้นของ  
ก้านครีบออกเส้นแรกทางด้านบนจนถึงจุดเริ่มต้นของก้านครีบออกเส้นแรกทางด้านล่าง

ความยาวของครีบอก (Pectoral fin length) วัดระยะจากฐานของครีบออก  
ถึงส่วนปลายสุดของครีบออก

ความยาวของครีบท้อง (Pelvic fin length) วัดระยะจากฐานของครีบท้อง  
ถึงส่วนปลายสุดของครีบท้อง

ความกว้างของฐานครีบก้น (Length of anal fin base) วัดระยะจากขอบ  
ทางด้านหน้าถึงขอบทางด้านหลังของฐานครีบก้น

คำนวณสัดส่วนของส่วนต่าง ๆ เป็นเปอร์เซ็นต์ของความยาวมาตรฐาน แล้ว  
วิเคราะห์ความแตกต่างของลักษณะทางสัณฐานวิทยาแต่ละลักษณะในปลาญี่ปุ่ง  
*Glossogobius aureus* ทั้งสองเพศ ทั้งวิธีการนับและวิธีการวัด โดยใช้ Mann-Whitney test ที่  
ระดับความเชื่อมั่น 95% (Zar, 1996)

#### ความสัมพันธ์ระหว่างความยาวมาตรฐานและน้ำหนัก (Length-weight relationship)

นำตัวอย่างปลาญี่ปุ่ง *G. aureus* ทั้งหมดที่จับได้บริเวณสะพานติดสุลามันทุก  
2 เดือน เริ่มตั้งแต่เดือนธันวาคม 2540 ถึง เดือนธันวาคม 2541 มาซึ่งน้ำหนักเป็นกิโล โดยใช้ค่า<sup>2</sup>  
ชั้นน้ำหนักตัวปลาออกแล้วชั่งน้ำหนักด้วยเครื่องชั่งไฟฟ้า ใช้นววะเป็นกรัม ทศนิยม 2  
ตำแหน่ง และวัดความยาวมาตรฐานด้วยวอร์เนียร์คาลิปเปอร์ ใช้นววะเป็นเซนติเมตร  
ทศนิยม 2 ตำแหน่ง วิเคราะห์ความสัมพันธ์ระหว่างความยาวมาตรฐานและน้ำหนักของปลา  
แต่ละเพศ ด้วยวิธีการทดสอบแบบสมการลดตอนเชิงเส้น (linear regression) ที่ระดับความ  
เชื่อมั่น 95% โดยให้ความยาวมาตรฐานเป็นตัวแปรอิสระ (independent variable) และน้ำหนัก<sup>2</sup>  
เป็นตัวแปรตาม (dependent variable) แต่เนื่องจากความสัมพันธ์ระหว่างความยาวมาตรฐาน

และน้ำหนักของปลาแต่ละเพศไม่เป็นเส้นตรงจึงต้องใช้วิธีการแปลงข้อมูลของความยาวมาตรฐานและน้ำหนักให้อยู่ในมาตรฐาน 10 ก่อน แล้วจึงวิเคราะห์ข้อมูล พร้อมทั้งเปรียบเทียบสมการระหว่างปลาทั้งสองเพศ โดยใช้ Student's *t* test ที่ระดับความเชื่อมั่น 95% (อกกิจญา, 2531; Zar, 1996)

#### ดัชนีความสมบูรณ์ (Condition index)

นำข้อมูลที่ใช้ในการศึกษาความสัมพันธ์ระหว่างความยาวมาตรฐานและน้ำหนักของปลาปลากะพง *Glossogobius aureus* มาหาค่าดัชนีความสมบูรณ์ ตามสมการ  $K = W/L^3$  เมื่อ K คือ ดัชนีความสมบูรณ์ L คือความยาวมาตรฐาน และ W คือน้ำหนักของปลา วิเคราะห์ข้อมูลทางสถิติด้วยวิธีการทดสอบแบบ Kruskal-Wallis ANOVA ที่ระดับความเชื่อมั่น 95% โดยให้เดือนเป็นตัวแปรอิสระและค่าดัชนีความสมบูรณ์เป็นตัวแปรตาม (Zar, 1996)

#### ชีววิทยาการสืบพันธุ์บางประการ (Some aspects of reproductive biology)

การศึกษาชีววิทยาการสืบพันธุ์บางประการของปลาปลากะพง *G. aureus* ซึ่งประกอบด้วย ดัชนีการเจริญเติบโตของอวัยวะสืบพันธุ์ของปลาเพศเมีย อัตราส่วนเพศ ขนาดของปลาในวัยเจริญพันธุ์ และความคงของไข่ จะศึกษาเฉพาะปลาที่จับได้ในบริเวณสะพานติ่อมสุลามนท์ เท่านั้น เนื่องจากบริเวณนี้สามารถจับปลาได้ตลอดทั้งปี

#### ดัชนีการเจริญเติบโตของอวัยวะสืบพันธุ์ (Gonadosomatic index : GSI)

สูมตัวอย่างปลาเพศเมียด้วยวิธีจับคลาก โดยให้หมายเลขกำกับปลาแต่ละตัว และแยกคลากในแต่ละเดือน แล้วจับคลากหมายเลขปลาในแต่ละเดือน ๆ ละ 30 ตัว นำตัวอย่างปลามาผ่าท้อง ตัดเอาส่วนของรังไข่มาซึ่งน้ำหนักด้วยเครื่องซึ่งไฟฟ้า ใช้หน่วยเป็นกรัม ทวนนิยม 2 ตำแหน่ง คำนวณหาค่า GSI โดยเทบกับน้ำหนักปลา ดังสมการ

$$GSI = 100 \times \frac{\text{น้ำหนักรังไข่ (กรัม)}}{\text{น้ำหนักตัวปลา (กรัม)}} \quad (\text{Crim and Glebe, 1990})$$

วิเคราะห์ข้อมูลทางสถิติด้วยวิธีการทดสอบแบบ Kruskal-Wallis ANOVA ที่ระดับความเชื่อมั่น 95% โดยให้เดือนเป็นตัวแปรอิสระและดัชนีการเจริญเติบโตของอวัยวะสืบพันธุ์เป็นตัวแปรตาม (Zar, 1996)

### อัตราส่วนเพศ (Sex ratio)

นำตัวอย่างปลาที่จับได้ในวันแรกของการสำรวจในแต่ละเดือนมาจำแนกเพศ และนับจำนวนปลาแต่ละเพศ คำนวณหาอัตราส่วนเพศของปลาแต่ละเดือน และวิเคราะห์ข้อมูลทางสถิติด้วยวิธีการทดสอบแบบ chi-square test ที่ระดับความเชื่อมั่น 95% โดยใช้ตารางการผนัช (contingency table) ขนาด 13 แถว x 2 สดมก' ให้เดือนเป็นแถวและเพศเป็นสดมก' (อกกิจญา, 2531; Zar, 1996)

### ขนาดของปลาในวัยเจริญพันธุ์ (Size of maturity)

การศึกษาขนาดของปลาในวัยเจริญพันธุ์ใช้ตัวอย่างชุดเดียวกับการศึกษา อัตราส่วนเพศ โดยนำตัวอย่างปลาทั้งหมดในแต่ละเดือนมาจำแนกออกเป็นขนาดต่าง ๆ คือ 6, 7, 8, 9, 10, 11 และ 12 เซนติเมตร นับจำนวน และคำนวณหาสัดส่วนของปลาขนาดต่าง ๆ ในแต่ละเดือน

### ความดกของไข่ (Fecundity)

สูมตัวอย่างปลาเพศเมียด้วยวิธีจับคลาก โดยให้หมายเลขอ้างอิงกับปลาแต่ละตัว แล้วจับคลากหมายเลขปลาจำนวน 75 ตัว นำปลามาวัดความยาวมาตรฐานตัวเยอร์เนียร์ คลาปิปเปอร์ ใช้หน่วยวัดเป็น เซนติเมตร ทศนิยม 2 ตำแหน่ง และผ่าห้องปลาตัดเอาส่วนของรังไข่มาซึ่งน้ำหนักด้วยเครื่องซึ่งไฟฟ้า ใช้หน่วยเป็นกรัม ทศนิยม 2 ตำแหน่ง เนื่องจากไข่ของปลาชนิดนี้จะสูกพร้อมกัน และไม่มีขนาดใกล้เคียงกันทั้งรังไข่ จึงใช้วิธีการสูมน้ำออกจากรีเวณส่วนต้น ส่วนกลางและส่วนปลายของรังไข่มาซึ่งน้ำหนัก นับจำนวนไข่ภายใต้กล้องจุลทรรศน์แบบสเตอโรไโอล (Stereo microscope) คำนวณหาความดกของไข่ด้วยสมการ

$$\text{ความดกของไข่ (ฟอง)} = \frac{\text{จำนวนไข่ที่นับได้(ฟอง)}}{\text{น้ำหนักไข่ที่ถูกตัด}} \times \text{น้ำหนักไข่ทั้งหมด (กรัม)}$$

นำค่าความดกของไข่ที่คำนวณได้ทุกนิรเวณของรังไข่มาหาค่าเฉลี่ยแล้ว คำนวณหาความดกของไข่ในปลาแต่ละตัว วิเคราะห์ความสัมพันธ์ระหว่างความดกของไข่ และความยาวมาตรฐานด้วยวิธีการทดสอบแบบสมการลดออยเซิงเส็นที่ระดับความเชื่อมั่น 95% โดยให้ความยาวมาตรฐานเป็นตัวแปรอิสระ และความดกของไข่เป็นตัวแปรตาม แต่เนื่องจากความสัมพันธ์ระหว่างความยาวมาตรฐานและความดกของไข่ไม่เป็นเส้นตรงจึงต้อง

ใช้วิธีการแปลงข้อมูลของความยาวมาตรฐานและความกว้างของไข่ให้อยู่ในมาตรฐานการที่มีฐาน 10 ก่อน แล้วจึงวิเคราะห์ข้อมูล (อกิญญา, 2531; Zar, 1996)

#### องค์ประกอบของอาหารในกระเพาะอาหาร (Stomach contents)

การศึกษาองค์ประกอบของอาหารในกระเพาะอาหารของปลาป่าท่อง *Glossogobius aureus* แบ่งออกเป็น 2 กรณี คือ การศึกษาการเปลี่ยนแปลงองค์ประกอบของอาหารในกระเพาะอาหารตามฤดูกาล และตามสถานที่ โดยนำตัวอย่างปลาป่าท่องทั้งหมดที่จับได้ทุก 2 เดือน มาผ่ากระเพาะอาหาร และนำอาหารที่อยู่ภายในส่วนต่อไปนี้มาตัดเป็นชิ้นๆ ตามขนาดที่ต้องการ แล้วน้ำหนักที่ต้องการ นำมาคำนวณหาอัตราการพบอาหารแต่ละกลุ่ม วิธีนับ วิธีซึ่งน้ำหนัก และคำนวณหาค่าดัชนีสำคัญสามพัทธ์ ดังนี้

#### วิธีหาความถี่ของการพบอาหารแต่ละกลุ่ม (Frequency of occurrence method)

นับจำนวนกระเพาะอาหารที่พบอาหารแต่ละกลุ่ม แล้วคำนวณหาความถี่ในการพบอาหารแต่ละกลุ่มเป็นเปอร์เซ็นต์ตามวิธีการของ Hyslop (1980) ซึ่งประกอบด้วย วิธีหาความถี่ของการพบอาหารแต่ละกลุ่ม วิธีนับ วิธีซึ่งน้ำหนัก และคำนวณหาค่าดัชนีสำคัญสามพัทธ์ ดังนี้

$$\%F_i = 100F_i / S$$

เมื่อ  $F_i$  คือจำนวนของกระเพาะอาหารที่พบอาหารในแต่ละกลุ่ม  
 $S$  คือจำนวนกระเพาะอาหารทั้งหมด

#### วิธีนับ (Numerical method)

นับจำนวนของอาหารแต่ละกลุ่มที่พบในกระเพาะอาหารของปลาแต่ละตัว แล้วคำนวณหาอัตราการพบอาหารแต่ละกลุ่มเป็นเปอร์เซ็นต์ของจำนวน ( $\%N_i$ ) ตามสมการ

$$\%N_i = 100N_i / \sum_{i=1}^n N_i$$

เมื่อ  $n$  คือจำนวนกลุ่มของอาหารที่แตกต่างกัน  
 $N_i$  คือจำนวนของอาหารในแต่ละกลุ่ม

### วิธีชั้งน้ำหนัก (Gravimetric method)

ชั้งน้ำหนักเปรียบของอาหารแต่ละกลุ่มที่พบในกระแสอาหารของปลาแต่ละตัวคือวิเครื่องชั่งไฟฟ้า ใช้หน่วยเป็นกรัม ทวนนิยม 2 ตำแหน่ง แล้วคำนวณอาหารแต่ละกลุ่ม เป็นเปอร์เซ็นต์ของน้ำหนัก ( $\%W_i$ ) ตามสมการ

$$\%W_i = 100W_i / \sum_{i=1}^n W_i$$

เมื่อ  $n$  คือจำนวนกลุ่มของอาหารที่แตกต่างกัน

$W_i$  คือน้ำหนักของอาหารในแต่ละกลุ่ม

### วิธีหาค่าดัชนีสำคัญสัมพัทธ์ (relative importance index; RI)

ค่าดัชนีสำคัญสัมพัทธ์ขึ้นอยู่กับค่าดัชนีสำคัญสัมบูรณ์ (absolute importance index; AI) ดังสมการ

$$AI = \%F_i + \%N_i + \%W_i$$

$$RI = 100AI / \sum_{i=1}^n AI$$

เมื่อ  $n$  คือจำนวนกลุ่มของอาหารที่แตกต่างกัน

### องค์ประกอบของอาหารในธรรมชาติ

การศึกษาองค์ประกอบของอาหารในธรรมชาติของปลาญูทอง *Glossogobius aureus* จะใช้ตัวอย่างสัตว์น้ำในธรรมชาติที่อาศัยในบริเวณสะพานติณสูลานนท์ซึ่งจับได้ด้วย罈网 ทุก 2 เดือน โดยสุ่มตัวอย่างประมาณ 5 % ของสัตว์น้ำที่จับได้ จำแนกกลุ่มของสัตว์น้ำที่เป็นอาหารของปลาญูทองในระดับครอบครัว คำนวณหาสัดส่วนของสัตว์น้ำแต่ละกลุ่มเป็นเปอร์เซ็นต์ของจำนวน

## บทที่ 3

### ผลการศึกษา

#### การแพร่กระจาย

ปลาในสกุลปลาปูทองที่สำรวจพบในการศึกษารั้งนี้มี 4 ชนิด คือ ปลาปูทอง (*Glossogobius aureus*) ปลาปูทองหนวดสั้น (*G. bicirrhosus*) ปลาปูทองครึบดำ (*G. biocellatus*) และปลาปูทองแก้มลาย (*G. circumspectus*) ชนิดที่พบมากที่สุด คือ ปลาปูทอง *G. aureus* ซึ่งพบแพร่กระจายตั้งแต่บริเวณปากทะเลสาบสงขลา ทันด้าหัวเขา อำเภอสิงหนคร จังหวัดสงขลา ไปจนถึงบริเวณเกาะหมาก ตำบลเกาะหมาก อำเภอปากะ喻น จังหวัดพัทลุง บริเวณที่พบปลาชนิดนี้ตลอดทั้งปี คือ บริเวณสะพานติดสุลามันที่ ตำบล สะพิงหม้อ อำเภอสิงหนคร จังหวัดสงขลา ซึ่งพบชุกชุมมากในช่วงเดือน ตุลาคม และเดือน พฤศจิกายน ส่วนบริเวณอื่น ๆ จะพบเฉพาะในช่วงเดือน กันยายน ถึงเดือน ธันวาคม เท่านั้น (ตารางที่ 1)

#### สัณฐานวิทยา

การศึกษาลักษณะทางสัณฐานวิทยาของปลาปูทอง *G. aureus* (ตารางที่ 2) พบว่า จำนวนก้านครึบของครึบหลังอันแรก จำนวนก้านครึบของครึบหลังอันที่สอง จำนวนก้านครึบ กัน จำนวนก้านครึบห้อง จำนวนก้านครึบอก จำนวนเกล็ดในแนวยาวของลำตัว จำนวนเกล็ด ในแนวขวางของลำตัว จำนวนเกล็ดก่อนถึงครึบหลังอันแรก จำนวนซี่กรองของแกนเหงือก อันแรกส่วนบนและส่วนล่าง ความลึกของลำตัว ความกว้างของลำตัว ความยาวหัว ความกว้าง ของหัว และความกว้างของฐานครึบหลังอันแรก ไม่มีความแตกต่างกันระหว่างปลาเพศผู้และ เพศเมีย ( $P > 0.05$ ) ความลึกของหัวในปลาเพศผู้มีค่าในช่วง 11-15 %SL หากกว่าปลาเพศเมีย ซึ่งมีค่าในช่วง 10-15 %SL อย่างมีนัยสำคัญ ( $\bar{X} \pm SE$  ในปลาเพศผู้ =  $12.63 \pm 0.15$ ;  $\bar{X} \pm SE$  ในปลาเพศเมีย =  $11.58 \pm 0.14$ ;  $U = 310$ ;  $U = 1290$ ;  $P < 0.0001$ ) ความยาวหน้าตาในปลาเพศผู้ มีค่าในช่วง 6-8 %SL หากกว่าปลาเพศเมียซึ่งมีค่าในช่วง 6-8 %SL อย่างมีนัยสำคัญ ( $\bar{X} \pm SE$

ตารางที่ 1 การแพร่กระจายของปลาบู่ทอง *Glossogobius aureus* ในทะเลสาบสงขลา

	ป่าทะเลสาบ	สะพาน	คลองทะเลสาบ	สะพาน	วัดท่าหนึ่ย	เกาะหมาก
	สงขลา	ติดสูญล้านนา	สงขลา	ปากกรอ		
ธันวาคม 2540	+	+++	-	-	-	+
มกราคม 2541	-	+	-	-	-	-
กุมภาพันธ์ 2541	-	+	-	-	-	-
มีนาคม 2541	-	+	-	-	-	-
เมษายน 2541	-	+	-	-	-	-
พฤษภาคม 2541	-	+	-	-	-	-
มิถุนายน 2541	-	+	-	-	-	-
กรกฎาคม 2541	-	+	-	-	-	-
สิงหาคม 2541	-	+	-	-	-	-
กันยายน 2541	+	++	++	++	+	++
ตุลาคม 2541	+	+++	++	+++	++	+++
พฤศจิกายน 2541	+	+++	++	++	++	+++
ธันวาคม 2541	+	++	-	-	-	+
<u>หมายเหตุ</u> - หมายถึง ไม่พบในการสำรวจ		+ หมายถึง พบร้อย หายาก (1-10 ตัว/วัน)				
++ หมายถึง พบค่อนข้างมาก (11-50 ตัว/วัน)		+++ หมายถึง พบรุกชุม (มากกว่า 50 ตัว/วัน)				

ในปลาเพศผู้ =  $7.20 \pm 0.10$ ;  $\bar{X} \pm SE$  ในปลาเพศเมีย =  $6.75 \pm 0.08$ ;  $U = 504$ ;  $U' = 1096$ ;  $P = 0.0005$ ) เส้นผ่าศูนย์กลางตาในปลาเพศผู้มีค่าในช่วง 4-7 %SL น้อยกว่าปลาเพศเมียซึ่งมีค่าในช่วง 6-8 %SL อย่างมีนัยสำคัญ ( $\bar{X} \pm SE$  ในปลาเพศผู้ =  $6.18 \pm 0.12$ ;  $\bar{X} \pm SE$  ในปลาเพศเมีย =  $6.55 \pm 0.09$ ;  $U = 606$ ;  $U' = 994$ ;  $P = 0.0197$ ) ความยาวของขากรรไกรด้านบนในปลาเพศผู้มีค่าในช่วง 10-13 %SL มากกว่าปลาเพศเมียซึ่งมีค่าในช่วง 9-12 %SL อย่างมีนัยสำคัญ ( $\bar{X} \pm SE$  ในปลาเพศผู้ =  $10.95 \pm 0.09$ ;  $\bar{X} \pm SE$  ในปลาเพศเมีย =  $10.30 \pm 0.10$ ;  $U = 371$ ;  $U' = 1229$ ;  $P < 0.0001$ ) ความกว้างของฐานครีบหลังอันที่สองในปลาเพศผู้มีค่าในช่วง 19-23 %SL มากกว่าปลาเพศเมียซึ่งมีค่าในช่วง 17-23 %SL อย่างมีนัยสำคัญ ( $\bar{X} \pm SE$  ในปลาเพศผู้ =  $21.15 \pm 0.15$ ;  $\bar{X} \pm SE$  ในปลาเพศเมีย =  $19.48 \pm 0.19$ ;  $U = 226.5$ ;  $U' = 1373.5$ ;  $P < 0.0001$ ) ความยาวของครีบทางในปลาเพศผู้มีค่าในช่วง 27-37 %SL มากกว่าปลาเพศเมียซึ่งมีค่าในช่วง 25-31 %SL อย่างมีนัยสำคัญ ( $\bar{X} \pm SE$  ในปลาเพศผู้ =  $31.48 \pm 0.31$ ;  $\bar{X} \pm SE$  ในปลาเพศเมีย =  $27.03 \pm 0.21$ ;  $U = 48.5$ ;  $U' = 1551.5$ ;  $P < 0.0001$ ) ความลึกของคอหางในปลาเพศผู้มีค่า

ตารางที่ 2 ลักษณะทางสัณฐานวิทยาของปลาบู่ทอง *Glossogobius aureus* เพศผู้และเพศเมีย และผลการเปรียบเทียบโดยใช้ Mann-Whitney test ที่ระดับความเชื่อมั่น 95%

ลักษณะทางสัณฐานวิทยา	เพศผู้		เพศเมีย		Mann-Whitney test		
	n	พิสัย ( $\bar{X} \pm SE$ )	n	พิสัย ( $\bar{X} \pm SE$ )	U	U	P
จำนวนก้านครีบของครีบหลังอันแรก	40	VI (VI)	40	VI (VI)	800	800	1.0000
จำนวนก้านครีบของครีบหลังอันที่สอง	40	I, 9-10 (I, 9.03 $\pm$ 0.03)	40	I, 8-10 (I, 8.95 $\pm$ 0.05)	741.5	858.5	0.1836
จำนวนก้านครีบก้น	40	I, 8-9 (I, 8.03 $\pm$ 0.03)	40	I, 8 (I, 8)	780	820	0.3270
จำนวนก้านครีบท้อง	40	I, 4-5 (I, 4.98 $\pm$ 0.03)	40	I, 5 (I, 5)	919	681	0.1902
จำนวนก้านครีบอก	40	18-20 (19.45 $\pm$ 0.11)	40	19-21 (19.68 $\pm$ 0.08)	820	780	0.3320
จำนวนเกล็ดในแนวยาวของลำตัว	40	29-34 (32.05 $\pm$ 0.15)	40	29-34 (31.70 $\pm$ 0.16)	613	987	0.0554
จำนวนเกล็ดในแนววางของลำตัว	40	9-12 (10.58 $\pm$ 0.12)	40	9-12 (10.13 $\pm$ 0.08)	650.5	949.5	0.0666
จำนวนเกล็ดก่อนถึงครีบหลังอันแรก	40	19-24 (21.43 $\pm$ 0.25)	40	19-24 (21.28 $\pm$ 0.24)	763.5	836.5	0.7264
จำนวนช่องของแกนเหงือกอันแรกส่วนบน	40	1 (1)	40	1 (1)	800	800	1.0000
จำนวนช่องของแกนเหงือกอันแรกส่วนล่าง	40	8-10 (9.03 $\pm$ 0.04)	40	8-10 (9.13 $\pm$ 0.06)	878	722	0.1970
ความลึกของลำตัว (%SL)	40	13-17 (14.70 $\pm$ 0.19)	40	13-18 (14.58 $\pm$ 0.18)	745	855	0.5892
ความกว้างของลำตัว (%SL)	40	13-18 (15.30 $\pm$ 0.18)	40	13-18 (15.38 $\pm$ 0.17)	846.5	753.5	0.6456
ความยาวหัว (%SL)	40	26-32 (27.98 $\pm$ 0.20)	40	26-33 (27.70 $\pm$ 0.23)	671	929	0.1970

ตารางที่ 2 (ต่อ)

ลักษณะที่ใช้เปรียบเทียบ	เพศผู้		เพศเมีย		Mann-Whitney test		
	n	พิสัย ( $\bar{X} \pm SE$ )	n	พิสัย ( $\bar{X} \pm SE$ )	U	U'	P
ความกว้างของหัว (%SL)	40	13-16 (14.75 $\pm$ 0.14)	40	12-17 (14.28 $\pm$ 0.19)	612	988	0.0602
ความกว้างของฐานครีบหลังอันแรก (%SL)	40	11-17 (14.00 $\pm$ 0.26)	40	10-16 (13.60 $\pm$ 0.22)	701	899	0.3370
ความลึกของหัว (%SL)	40	11-15 (12.63 $\pm$ 0.15)	40	10-15 (11.58 $\pm$ 0.14)	310	1290	< 0.0001
ความยาวหน้าตา (%SL)	40	6-8 (7.20 $\pm$ 0.10)	40	6-8 (6.75 $\pm$ 0.08)	504	1096	0.0005
เส้นผ่าศูนย์กลางตา (%SL)	40	4-7 (6.18 $\pm$ 0.12)	40	6-8 (6.55 $\pm$ 0.09)	606	994	0.0197
ความยาวของขากรรไกรด้านบน (%SL)	40	10-13 (10.95 $\pm$ 0.09)	40	9-12 (10.30 $\pm$ 0.10)	371	1229	< 0.0001
ความกว้างของฐานครีบหลังอันที่สอง (%SL)	40	19-23 (21.15 $\pm$ 0.15)	40	17-23 (19.48 $\pm$ 0.19)	226.5	1373.5	< 0.0001
ความยาวของครีบทาง (%SL)	40	27-37 (31.48 $\pm$ 0.31)	40	25-31 (27.03 $\pm$ 0.21)	48.5	1551.5	< 0.0001
ความลึกของคอคหง (%S)	40	9-11 (9.73 $\pm$ 0.08)	40	8-10 (9.10 $\pm$ 0.09)	372	1228	< 0.0001
ความกว้างของฐานครีบอก (%SL)	40	7-9 (8.13 $\pm$ 0.09)	40	7-8 (7.40 $\pm$ 0.08)	328	1272	< 0.0001
ความยาวของครีบอก (%SL)	40	24-33 (27.50 $\pm$ 0.27)	40	21-30 (25.98 $\pm$ 0.26)	407.8	1192.2	< 0.0001
ความยาวของครีบท้อง (%SL)	40	20-24 (21.50 $\pm$ 0.17)	40	18-23 (20.13 $\pm$ 0.23)	375	1225	< 0.0001
ความกว้างของฐานครีบก้น (%SL)	40	14-21 (17.10 $\pm$ 0.17)	40	10-17 (15.18 $\pm$ 0.22)	188.5	1411.5	< 0.0001

ในช่วง 9-11 %SL มากกว่าปลาเพศเมียซึ่งมีค่าในช่วง 8-10 %SL อย่างมีนัยสำคัญ ( $\bar{X} \pm SE$  ในปลาเพศผู้ =  $9.73 \pm 0.08$ ;  $\bar{X} \pm SE$  ในปลาเพศเมีย =  $9.10 \pm 0.09$ ;  $U = 372$ ;  $U = 1228$ ;  $P < 0.0001$ ) ความกว้างของฐานครีบอกในปลาเพศผู้มีค่าในช่วง 7-9 %SL มากกว่าปลาเพศเมียซึ่งมีค่าในช่วง 7-8 %SL อย่างมีนัยสำคัญ ( $\bar{X} \pm SE$  ในปลาเพศผู้ =  $8.13 \pm 0.09$ ;  $\bar{X} \pm SE$  ในปลาเพศเมีย =  $7.40 \pm 0.08$ ;  $U = 328$ ;  $U = 1272$ ;  $P < 0.0001$ ) ความยาวของครีบอกในปลาเพศผู้มีค่าในช่วง 24-33 %SL มากกว่าปลาเพศเมียซึ่งมีค่าในช่วง 21-30 %SL อย่างมีนัยสำคัญ ( $\bar{X} \pm SE$  ในปลาเพศผู้ =  $27.50 \pm 0.27$ ;  $\bar{X} \pm SE$  ในปลาเพศเมีย =  $25.98 \pm 0.26$ ;  $U = 407.8$ ;  $U = 1192.2$ ;  $P < 0.0001$ ) ความยาวของครีบท้องในปลาเพศผู้มีค่าในช่วง 20-24 %SL มากกว่าปลาเพศเมียซึ่งมีค่าในช่วง 18-23 %SL อย่างมีนัยสำคัญ ( $\bar{X} \pm SE$  ในปลาเพศผู้ =  $21.50 \pm 0.17$ ;  $\bar{X} \pm SE$  ในปลาเพศเมีย =  $20.13 \pm 0.23$ ;  $U = 375$ ;  $U = 1225$ ;  $P < 0.0001$ ) ความกว้างของฐานครีบก้นในปลาเพศผู้มีค่าในช่วง 14-21 %SL มากกว่าปลาเพศเมียซึ่งมีค่าในช่วง 10-17 %SL อย่างมีนัยสำคัญ ( $\bar{X} \pm SE$  ในปลาเพศผู้ =  $17.10 \pm 0.17$ ;  $\bar{X} \pm SE$  ในปลาเพศเมีย =  $15.18 \pm 0.22$ ;  $U = 188.5$ ;  $U = 1411.5$ ;  $P < 0.0001$ )

#### ความสัมพันธ์ระหว่างความยาวมาตรฐานและน้ำหนัก

ปลาญูทอง *Glossogobius aureus* เพศผู้ที่มีความยาวมาตรฐาน 6.66-11.56 เซนติเมตร ( $\bar{X} \pm SE = 8.80 \pm 0.04$ ) มีน้ำหนัก 3.71-23.77 กรัม ( $\bar{X} \pm SE = 9.26 \pm 0.16$ ) ความยาวมาตรฐานและน้ำหนักมีความสัมพันธ์กันดังสมการ  $\log W = -2.1802 + 3.3159 \log L$  ( $n = 344$ ;  $r^2 = 0.78$ ;  $F_{1,342} = 1209.1$ ;  $P < 0.05$ ; รูปที่ 8) ปลาเพศเมียที่มีความยาวมาตรฐาน 6.24-10.28 เซนติเมตร ( $\bar{X} \pm SE = 8.42 \pm 0.03$ ) มีน้ำหนัก 2.94-15.37 กรัม ( $\bar{X} \pm SE = 7.86 \pm 0.12$ ) ความยาวมาตรฐานและน้ำหนักมีความสัมพันธ์กันดังสมการ  $\log W = -2.2036 + 3.3365 \log L$  ( $n = 381$ ;  $r^2 = 0.67$ ;  $F_{1,379} = 781.28$ ;  $P < 0.05$ ; รูปที่ 8) ความสัมพันธ์ระหว่างความยาวมาตรฐานและน้ำหนักในปลาทั้งสองเพศไม่มีความแตกต่างกันเนื่องจาก ไม่มีความแตกต่างกันระหว่างค่าความลาดชัน (slope) ของสมการในปลาทั้งสองเพศ ( $t = 1.05$ ;  $df = 721$ ;  $P > 0.05$ ) และไม่มีความแตกต่างระหว่างจุดตัดแกน (intercept) ของสมการในปลาทั้งสองเพศ ( $t = 0.37$ ;  $df = 721$ ;  $P > 0.05$ ) สามารถสรุปความสัมพันธ์

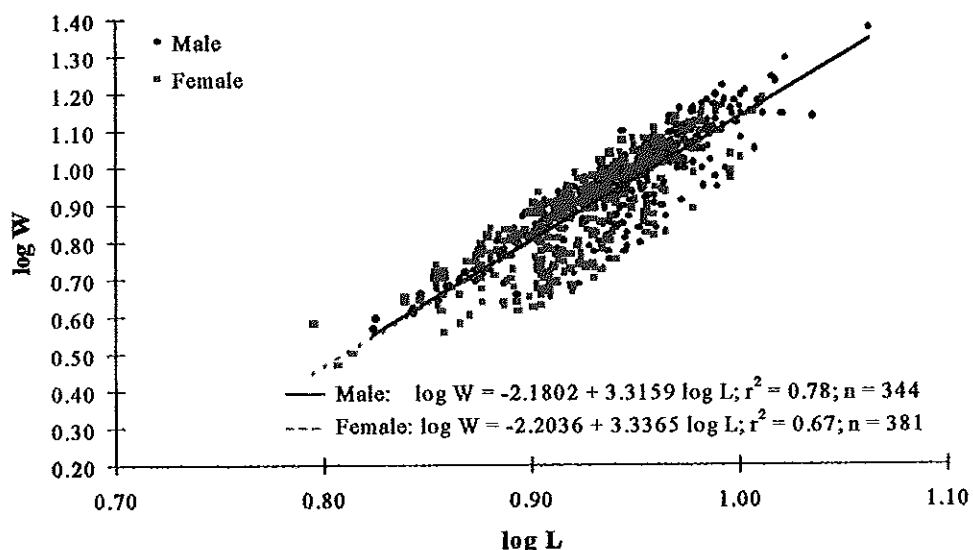
ระหว่างความยาวมาตรฐานและน้ำหนักในปลาทั้งสองเพศรวมกัน ดังสมการ

$$\log W = -2.2052 + 3.3403 \log L (n = 725; r^2 = 0.74; F_{1,723} = 2068.99; P < 0.05)$$

### ดัชนีความสมบูรณ์

ดัชนีความสมบูรณ์ของปลาญี่ปุ่น *Glossogobius aureus* เพศผู้ในเดือน ธันวาคม 2540 และ กุมภาพันธ์ 2541 มีค่าเฉลี่ย ( $\bar{X} \pm SE$ ) เท่ากับ  $0.0106 \pm 0.0002$  และ  $0.0098 \pm 0.0004$  ตามลำดับ แล้วเพิ่มขึ้นอย่างรวดเร็วในเดือน เมษายน 2541 ( $0.0140 \pm 0.0003$ ) และมีค่าค่อนข้างคงที่ในเดือน มิถุนายน สิงหาคม ตุลาคม และธันวาคม 2541 โดยมีค่าเฉลี่ยเท่ากับ  $0.0142 \pm 0.0002$ ,  $0.0136 \pm 0.0001$ ,  $0.0145 \pm 0.0001$  และ  $0.0137 \pm 0.0002$  ตามลำดับ (ตารางที่ 3 และรูปที่ 9) ค่าดัชนีความสมบูรณ์มีความแตกต่างกันอย่างมีนัยสำคัญในระหว่างเดือนที่ทำการศึกษา ( $H = 192.09$ ;  $F_{6,309} = 83.42$ ;  $P < 0.0005$ ) ไม่มีความแตกต่างกันระหว่างเดือน ธันวาคม 2540 และเดือน กุมภาพันธ์ 2541 ( $P > 0.05$ ) และไม่มีความแตกต่างกันระหว่างเดือน เมษายน มิถุนายน สิงหาคม ตุลาคม และ ธันวาคม 2541 ( $P > 0.05$ ) แต่มีความแตกต่างกันอย่างมีนัยสำคัญระหว่างกลุ่มเดือนทั้งสองกลุ่ม ( $P < 0.05$ )

ดัชนีความสมบูรณ์ของปลาญี่ปุ่น *G. aureus* เพศเมียในเดือน ธันวาคม 2540 และ กุมภาพันธ์ 2541 มีค่าเฉลี่ย ( $\bar{X} \pm SE$ ) เท่ากับ  $0.0101 \pm 0.0001$  และ  $0.0106 \pm 0.0002$  ตามลำดับ แล้วเพิ่มขึ้นอย่างรวดเร็วในเดือน เมษายน 2541 ( $0.0141 \pm 0.0002$ ) และมีค่าค่อนข้างคงที่ในเดือน มิถุนายน สิงหาคม ตุลาคม และธันวาคม 2541 โดยมีค่าเฉลี่ยเท่ากับ  $0.0147 \pm 0.0001$ ,  $0.0139 \pm 0.0001$ ,  $0.0144 \pm 0.0001$  และ  $0.0139 \pm 0.0002$  ตามลำดับ (ตารางที่ 4 และรูปที่ 9) ค่าดัชนีความสมบูรณ์มีความแตกต่างกันอย่างมีนัยสำคัญในระหว่างเดือนที่ทำการศึกษา ( $H = 223.54$ ;  $F_{6,340} = 106.85$ ;  $P < 0.0005$ ) ไม่มีความแตกต่างกันระหว่างเดือน ธันวาคม 2540 และเดือน กุมภาพันธ์ 2541 ( $P > 0.05$ ) และไม่มีความแตกต่างกันระหว่างเดือน เมษายน มิถุนายน สิงหาคม ตุลาคม และ ธันวาคม 2541 ( $P > 0.05$ ) แต่มีความแตกต่างกันอย่างมีนัยสำคัญระหว่างกลุ่มเดือนทั้งสองกลุ่ม ( $P < 0.05$ )



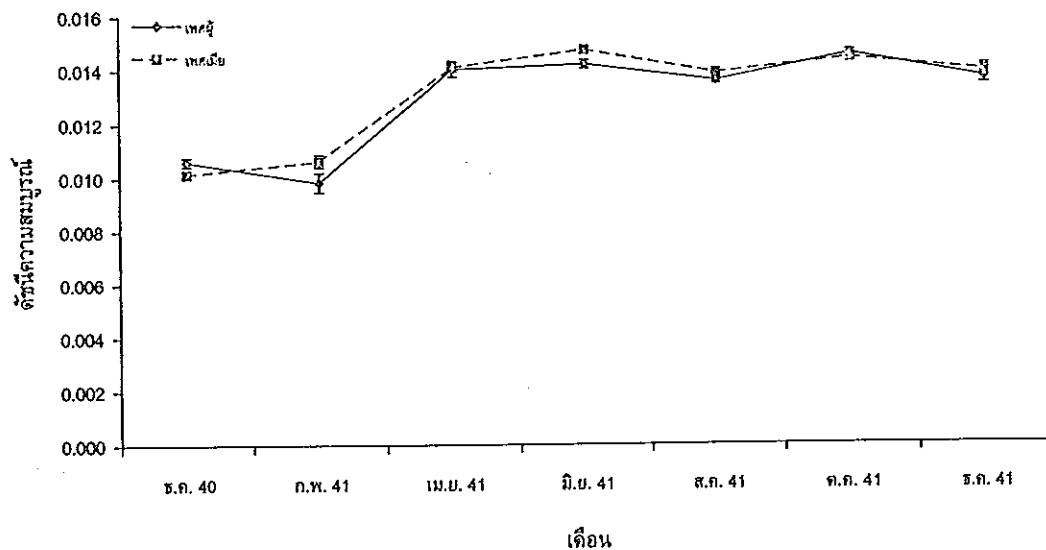
รูปที่ 8 ความสัมพันธ์ระหว่างความยาวมาตรฐาน (L) และน้ำหนัก (W) ของปลาญี่ทอง *Glossogobius aureus* เพศผู้และเพศเมีย บริเวณสะพานติดสุล่านที่

ตารางที่ 3 ผลการเปรียบเทียบค่าดัชนีความสมบูรณ์ของปลาญี่ทอง *Glossogobius aureus* เพศผู้ในแต่ละเดือน โดยใช้ Tukey test (ข้อมูลที่มีอักษรยกกำกับเหมือนกัน หมายถึง ข้อมูลที่ไม่มีความแตกต่างกันทางสถิติ; คุณลักษณะเดียวกันในตารางผนวกที่ 1)

เดือน	ธ.ค. 40	ก.พ. 41	เม.ย. 41	มิ.ย. 41	ส.ค. 41	ต.ค. 41	ธ.ค. 41
ค่าดัชนีความสมบูรณ์	0.0106 ± 0.0002 <sup>a</sup>	0.0098 ± 0.0004 <sup>a</sup>	0.0140 ± 0.0003 <sup>b</sup>	0.0142 ± 0.0002 <sup>b</sup>	0.0136 ± 0.0001 <sup>b</sup>	0.0145 ± 0.0001 <sup>b</sup>	0.0137 ± 0.0002 <sup>b</sup>

ตารางที่ 4 ผลการเปรียบเทียบค่าดัชนีความสมบูรณ์ของปลาญี่ทอง *Glossogobius aureus* เพศเมียในแต่ละเดือน โดยใช้ Tukey test (ข้อมูลที่มีอักษรยกกำกับเหมือนกัน หมายถึง ข้อมูลที่ไม่มีความแตกต่างกันทางสถิติ; คุณลักษณะเดียวกันในตารางผนวกที่ 2)

เดือน	ธ.ค. 40	ก.พ. 41	เม.ย. 41	มิ.ย. 41	ส.ค. 41	ต.ค. 41	ธ.ค. 41
ค่าดัชนีความสมบูรณ์	0.0101 ± 0.0001 <sup>a</sup>	0.0106 ± 0.0002 <sup>a</sup>	0.0141 ± 0.0002 <sup>b</sup>	0.0147 ± 0.0001 <sup>b</sup>	0.0139 ± 0.0001 <sup>b</sup>	0.0144 ± 0.0001 <sup>b</sup>	0.0139 ± 0.0002 <sup>b</sup>



รูปที่ 9 ดัชนีความสมบูรณ์ของปลาญูทอง *Glossogobius aureus* ( $\bar{X} \pm SE$ )

### ชีววิทยาการสืบพันธุ์ทางประการ

#### ดัชนีการเจริญเติบโตของอวัยวะสืบพันธุ์ของปลาญูทองเพศเมีย

ดัชนีการเจริญเติบโตของอวัยวะสืบพันธุ์ของปลาญูทอง *Glossogobius aureus* เพศเมียในเดือน ธันวาคม 2540 และ มกราคม 2541 มีค่าเฉลี่ย ( $\bar{X} \pm SE$ ) เท่ากับ  $3.88 \pm 0.59$  และ  $3.90 \pm 0.55$  ตามลำดับ แต่เพิ่มขึ้นอย่างรวดเร็ว มีค่าสูงสุดในเดือน มีนาคม 2541 ( $8.52 \pm 0.39$ ) และลดลงอย่างช้า ๆ มีค่าต่ำสุดในเดือนกรกฎาคม 2541 ( $2.38 \pm 0.51$ ) แล้วเพิ่มขึ้นอย่างช้า ๆ จนมีค่าสูงอีกรึ่งในเดือน พฤศจิกายน 2541 ( $7.41 \pm 0.25$ ) และมีแนวโน้มว่ามีค่าลดลงอย่างรวดเร็วในเดือนถัดไป ดัชนีการเจริญเติบโตของอวัยวะสืบพันธุ์มีจุดยอดสองครั้ง คือในเดือน มีนาคม 2541 และ พฤศจิกายน 2541 ดัชนีการเจริญเติบโตของอวัยวะสืบพันธุ์มีความแตกต่างกันอย่างมีนัยสำคัญระหว่างระหว่างเดือนที่ทำการศึกษา ( $H = 152.79$ ;  $F_{12, 389} = 20.32$ ;  $P < 0.0005$ ) แต่ไม่มีความแตกต่างกันระหว่างเดือน กุมภาพันธ์ มีนาคม เมษายน ตุลาคม และ พฤศจิกายน 2541 ( $P > 0.05$ ) (ตารางที่ 5 และรูปที่ 10)

ตารางที่ 5 ผลการเปรียบเทียบค่าดัชนีการเจริญเติบโตของอวัยวะสีบพันธุ์ของปลาปูทอง *Glossogobius aureus* เพศเมีย ในแต่ละเดือน โดยใช้ Tukey test (ข้อมูลที่มีอักษรยกกำกับเหมือนกัน หมายถึง ข้อมูลที่ไม่มีความแตกต่างกันทางสถิติ; ถ้ารายละเอียดในตารางผนวกที่ 3)

เดือน	ค่าดัชนีการเจริญเติบโตของอวัยวะสีบพันธุ์ของปลาปูทองเพศเมีย ( $\bar{X} \pm SE$ )
ธันวาคม 2540	$3.88 \pm 0.59^{ab}$
มกราคม 2541	$3.90 \pm 0.55^{abc}$
กุมภาพันธ์ 2541	$7.85 \pm 0.62^{de}$
มีนาคม 2541	$8.52 \pm 0.39^e$
เมษายน 2541	$7.04 \pm 0.37^{cde}$
พฤษภาคม 2541	$6.08 \pm 0.30^{bcd}$
มิถุนายน 2541	$5.78 \pm 0.46^{bcd}$
กรกฎาคม 2541	$2.38 \pm 0.51^a$
สิงหาคม 2541	$2.64 \pm 0.46^a$
กันยายน 2541	$4.32 \pm 0.47^{abc}$
ตุลาคม 2541	$7.17 \pm 0.23^{de}$
พฤษจิกายน 2541	$7.41 \pm 0.25^{de}$
ธันวาคม 2541	$5.34 \pm 0.54^{bcd}$

### อัตราส่วนเพศ

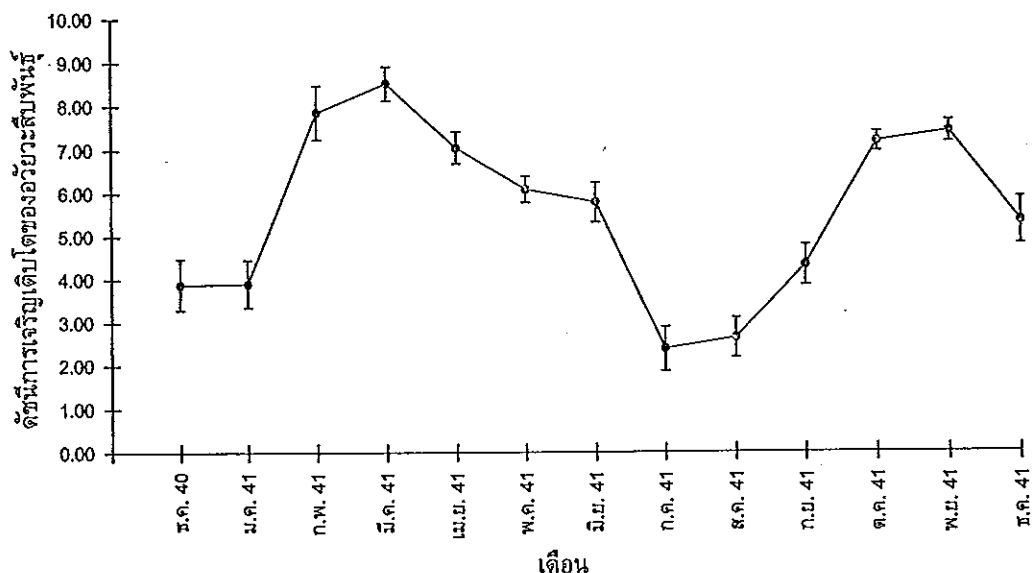
จำนวนปลาปูทอง *Glossogobius aureus* เพศผู้และเพศเมียในเดือนต่างๆ แสดงดังตารางที่ 6 อัตราส่วนเพศของปลาโดยรวม ตลอดระยะเวลาในการศึกษาเป็น 1:1 ( $\chi^2 = 15.845$ ;  $df = 12$ ;  $0.10 < P < 0.25$ ) โดยปลาเพศผู้มีจำนวน 263 ตัว และปลาเพศเมียมีจำนวน 284 ตัว (ตารางที่ 7 และรูปที่ 11)

ตารางที่ 6 จำนวนปลาญี่ทอง *Glossogobius aureus* เพศผู้และเพศเมียขนาดต่าง ๆ ในระหว่างเดือน ธันวาคม 2540 ถึงเดือน ธันวาคม 2541

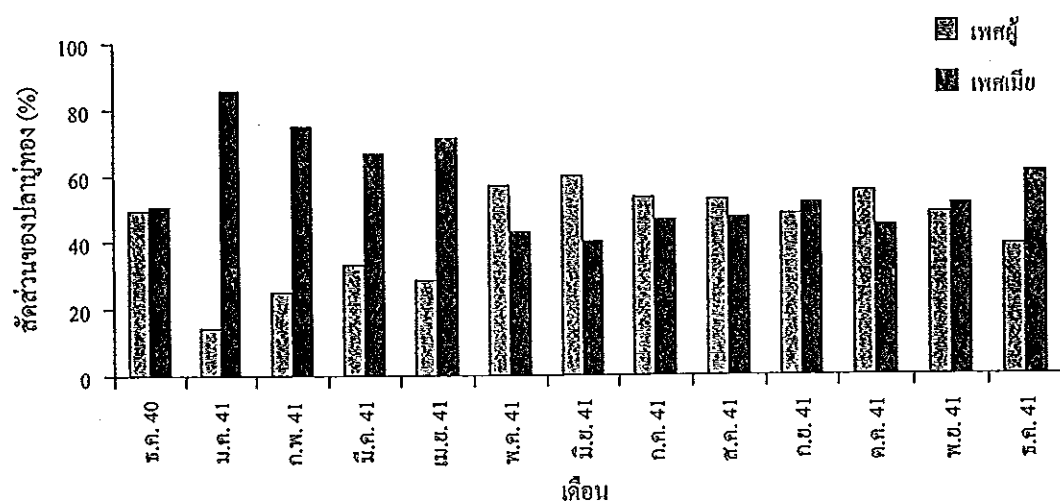
	ขนาดของปลาญี่ทองเพศผู้ (เซนติเมตร)								ขนาดของปลาญี่ทองเพศเมีย (เซนติเมตร)							
	6	7	8	9	10	11	12	รวม	6	7	8	9	10	11	รวม	
ธันวาคม 2540			9	23	4	1	1	38		1	21	14	3			39
มกราคม 2541			1	1				2		1	6	4	1			12
กุมภาพันธ์ 2541			1	1				2		1	3	2				6
มีนาคม 2541		1	1					2		1	2	1				4
เมษายน 2541			1	1				2		1	3	1				5
พฤษภาคม 2541	1*	1	2	1				5	1*		1	2				4
มิถุนายน 2541			3	2	1			6			2	2				4
กรกฎาคม 2541			3	4	1			8			3	3	1			7
สิงหาคม 2541		1	3	5	1			10		1	4	4				9
กันยายน 2541			1	22	10			33			6	20	8	1		35
ตุลาคม 2541			3	50	20			73			19	35	5			59
พฤษจิกายน 2541			1	7	34	13		55			3	30	25			58
ธันวาคม 2541			2	15	10			27			7	27	8			42
รวม	1	3	31	132	81	14	1	263	1	6	80	145	51	1		284

หมายเหตุ

\* ปลาขนาดเล็กที่สุดที่สามารถดึงพันธุ์ได้ เพศผู้มีขนาด 6.31 เซนติเมตร และ เพศเมียมีขนาด 6.24 เซนติเมตร



รูปที่ 10 ดัชนีการเจริญเติบโตของอวัยวะสืบพันธุ์ของปลาญูทอง *Glossogobius aureus* เพศเมีย ( $\bar{X} \pm SE$ )



รูปที่ 11 สัดส่วนของปลาญูทอง *Glossogobius aureus* เพศผู้และเพศเมีย ในเดือนต่างๆ

ตารางที่ 7 ผลการวิเคราะห์ข้อตราส่วนเพศของปลาบู่ทอง *Glossogobius aureus* ในแต่ละเดือน ด้วยวิธีการทดสอบแบบ chi-square test ที่ระดับความเชื่อมั่น 95% โดยใช้ตารางการณ์จร ขนาด 13 และ  $\chi^2$  สดมก.

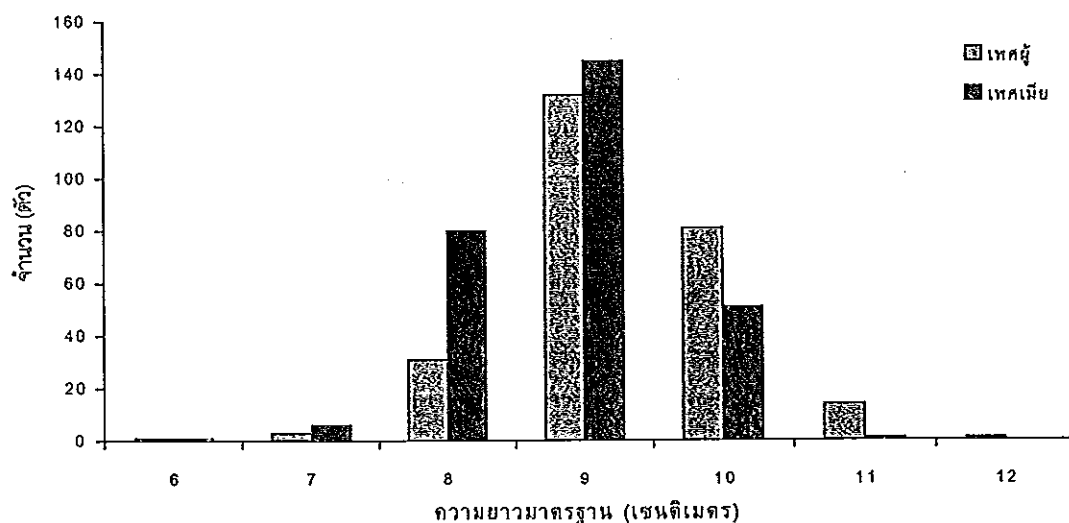
เดือน	จำนวนปลาเพศผู้		จำนวนปลาเพศเมีย		$\chi^2$	df	สรุป
	ค่าสังเกต	ค่าคาดหวัง	ค่าสังเกต	ค่าคาดหวัง			
ธันวาคม 2540	38	38.5	39	38.5	0.013	1	$P > 0.05$
มกราคม 2541	2	7	12	7	7.143	1	$P < 0.05$
กุมภาพันธ์ 2541	2	4	6	4	2.000	1	$P > 0.05$
มีนาคม 2541	2	3	4	3	0.667	1	$P > 0.05$
เมษายน 2541	2	3.5	5	3.5	1.286	1	$P > 0.05$
พฤษภาคม 2541	5	4.5	4	4.5	0.111	1	$P > 0.05$
มิถุนายน 2541	6	5	4	5	0.400	1	$P > 0.05$
กรกฎาคม 2541	8	7.5	7	7.5	0.067	1	$P > 0.05$
สิงหาคม 2541	10	9.5	9	9.5	0.053	1	$P > 0.05$
กันยายน 2541	33	34	35	34	0.059	1	$P > 0.05$
ตุลาคม 2541	73	66	59	66	1.485	1	$P > 0.05$
พฤษศจิกายน 2541	55	56.5	58	56.5	0.080	1	$P > 0.05$
ธันวาคม 2541	27	34.5	42	34.5	3.261	1	$P > 0.05$
ผลรวมของ $\chi^2$					16.625	13	
$\chi^2$ ของผลรวม	263	273.5	284	273.5	0.806	1	$P > 0.05$
Heterogeneity $\chi^2$					15.819	12	$P > 0.05$
$\chi^2_{0.05,12}$ = 21.026							

### ขนาดของปลาในวัยเจริญพันธุ์

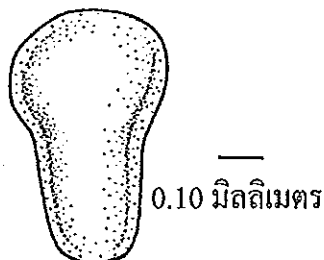
ปลาปูทอง *Glossogobius aureus* ขนาดเล็กที่สุดที่สามารถสมัพันธุ์ได้พบในเดือน พฤษภาคม 2541 (ตารางที่ 6) เห็นผู้มีความยาวมาตรฐาน 6.31 เซนติเมตร เพศเมีย มีความยาวมาตรฐาน 6.24 เซนติเมตร ขนาดของปลาเพศผู้ที่มีจำนวนมากที่สุดมีความยาวมาตรฐาน 9.0 เซนติเมตร รองลงมา มีความยาวมาตรฐาน 10.0 เซนติเมตร และ 8.0 เซนติเมตร ตามลำดับ ขนาดของปลาเพศเมียที่มีจำนวนมากที่สุดมีความยาวมาตรฐาน 9.0 เซนติเมตร รองลงมา มีความยาวมาตรฐาน 8.0 เซนติเมตร และ 10.0 เซนติเมตร ตามลำดับ (รูปที่ 12)

### ความถกของไข่

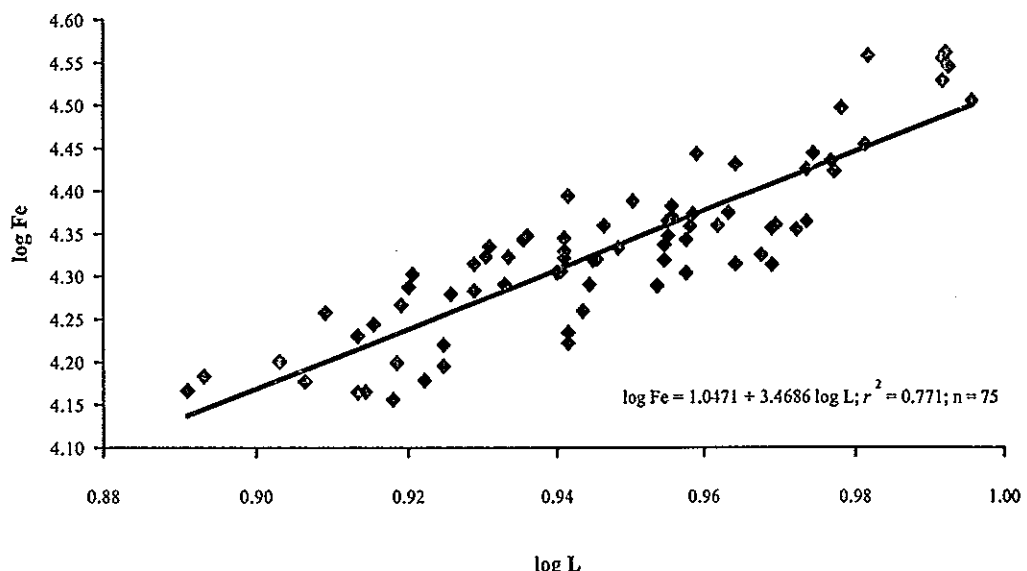
ไข่ปูปลาปูทอง *G. aureus* มีลักษณะเรียวยาว มีความยาวเฉลี่ย  $0.55 \pm 0.05$  มิลลิเมตร และ ความกว้างเฉลี่ย  $0.35 \pm 0.03$  มิลลิเมตร (รูปที่ 13) ไข่อ่อนมีสีเหลืองอ่อน เมื่อไข่แก่เต็มที่จะมีสีส้ม ปลาเพศเมียที่มีความยาวมาตรฐานตั้งแต่ 7.78 เซนติเมตร ถึง 9.90 เซนติเมตร ( $\bar{X} \pm SE = 88.6 \pm 0.6$ ) มีความถกของไข่ประมาณ 14,325 ฟอง ถึง 36,465 ฟอง ( $\bar{X} \pm SE = 22,028 \pm 609$ ) ความยาวมาตรฐานและความถกของไข่มีความสัมพันธ์กันเป็นเส้นโค้ง ดังสมการ  $\log F_e = 1.0471 + 3.4686 \log L$  ( $n = 75$ ;  $r^2 = 0.77$ ;  $F_{1,73} = 255.4536$ ;  $P < 0.0005$ ) (รูปที่ 14)



รูปที่ 12 ขนาดของปลาปูทอง *Glossogobius aureus* ในวัยเจริญพันธุ์



รูปที่ 13 ลักษณะไข่ของปลาปู่ทอง *Glossogobius aureus*



รูปที่ 14 ความสัมพันธ์ระหว่างความยาวมาตรฐาน (L) และ ความคงของไข่ (Fe) ของปลาปู่ทอง *Glossogobius aureus*

### องค์ประกอบของอาหารในกระเพาะอาหาร

การศึกษาองค์ประกอบของอาหารที่พบในกระเพาะอาหารของปลาปู่ทอง *Glossogobius aureus* จำนวน 1117 ตัว พบว่า เป็นปลาที่มีกระเพาะอาหารว่าง 942 ตัว ปลาที่ทราบชนิดของอาหารในกระเพาะอาหาร 165 ตัว และปลาที่ไม่ทราบชนิดของอาหารในกระเพาะอาหาร 10 ตัว (ตารางที่ 8 และตารางที่ 9) ชนิดของอาหารที่พบในกระเพาะอาหารของปลาปู่ทอง *G. aureus* แบ่งออกเป็น 2 กลุ่ม คือ กลุ่มปลากรดฉุกเฉียง และ กลุ่มครัสเตเชียน

กลุ่มปลากระดูกแข็งประกอบด้วยครอบครัว ปลากระตัก (Engraulididae), ปลาบู่ (Gobiidae) และ ปลาเข้างลาย (Teraponidae) กลุ่มครัสเตเชียนประกอบด้วยครอบครัว กุ้งดีดบัน (Alpheidae), กุ้งนาง (Palaemonidae), กุ้งทะเล (Penaeidae), เกย (Sergestidae) และ กุ้งผี (Upogebiidae)

การศึกษาองค์ประกอบของอาหารที่พบในกระเพาะอาหารของปลาบู่ทอง *Glossogobius aureus* ในเดือนต่าง ๆ โดยวิธีหาค่าดัชนีสำคัญสัมพัทธ์ พบว่า องค์ประกอบของอาหารในกระเพาะอาหารของปลาเดือน ธันวาคม 2540 ส่วนใหญ่เป็น กุ้งผี (65.51%) รองลงมา คือ ปลาบู่ (16.54%) เดือน กุมภาพันธ์ 2541 ส่วนใหญ่เป็น กุ้งทะเล (35.53%) รองลงมา คือ เกย (33.44%) เดือน เมษายน 2541 เป็น ปลากระตัก ทั้งหมด (100%) เดือน มิถุนายน 2541

ตารางที่ 8 จำนวนกระเพาะอาหารที่ทราบชนิดและไม่ทราบชนิดของอาหาร และกระเพาะอาหารว่างของปลาบู่ทอง *Glossogobius aureus* ในเดือนต่าง ๆ

	ธ.ค. 40	ก.พ. 41	เม.ย. 41	มิ.ย. 41	ส.ค. 41	ต.ค. 41	ธ.ค. 41	รวม
จำนวนกระเพาะอาหาร	156	62	53	94	179	499	74	1117
ทราบชนิดของอาหาร	11	18	4	7	15	98	12	165
ไม่ทราบชนิดของอาหาร	4	2		1	1	2		10
กระเพาะอาหารว่าง	141	42	49	86	163	399	62	942

ตารางที่ 9 จำนวนกระเพาะอาหารที่ทราบชนิดและไม่ทราบชนิดของอาหาร และกระเพาะอาหารว่างของปลาบู่ทอง *Glossogobius aureus* ที่อาศัยในบริเวณต่าง ๆ

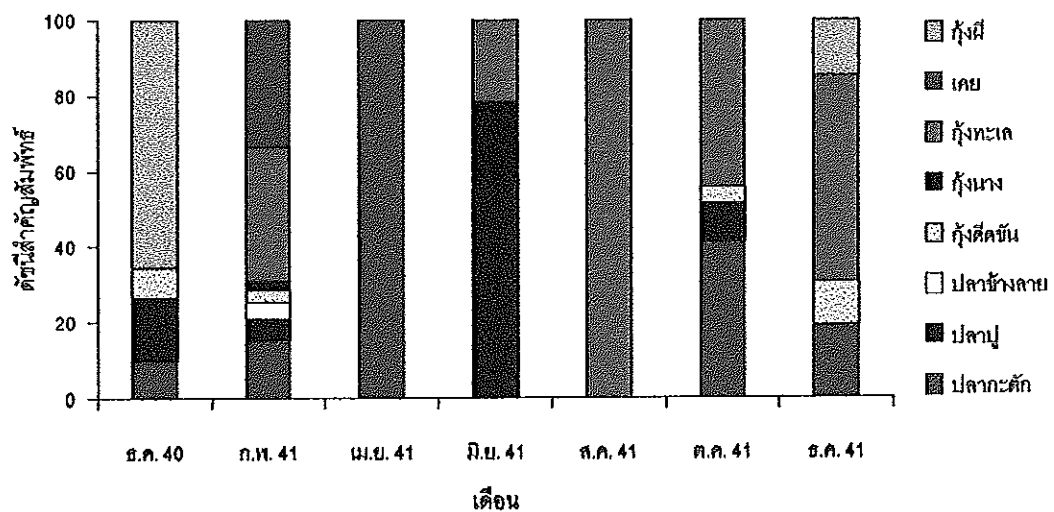
ชนิดของอาหาร	ปากทะเลสาบ		สะพาน		กลางทะเลสาบ		สะพาน	วัด	เกาะหมาก
	สงขลา	ตีนสุสานแหง	สงขลา	ปากกรอ	ห้าหยี่				
จำนวนกระเพาะอาหาร	5	739	147	99	70	57			
ทราบชนิดของอาหาร		79	16	40	25	5			
ไม่ทราบชนิดของอาหาร		10							
กระเพาะอาหารว่าง	5	650	131	59	45	52			

ส่วนใหญ่เป็น ปลาญี่ปุ่น (59.19%) รองลงมา คือ กุ้งทะเล (21.53%) เดือน สิงหาคม 2541 เป็น กุ้งทะเล ทั้งหมด (100%) เดือน ตุลาคม 2541 ส่วนใหญ่เป็น กุ้งทะเล (44.29%) รองลงมา คือ ปลากระตัก (41.17%) และ เดือน ธันวาคม 2541 ส่วนใหญ่เป็น กุ้งทะเล (54.38%) รองลงมา คือ ปลากระตัก (19.21%) (ตารางที่ 10 และรูปที่ 15)

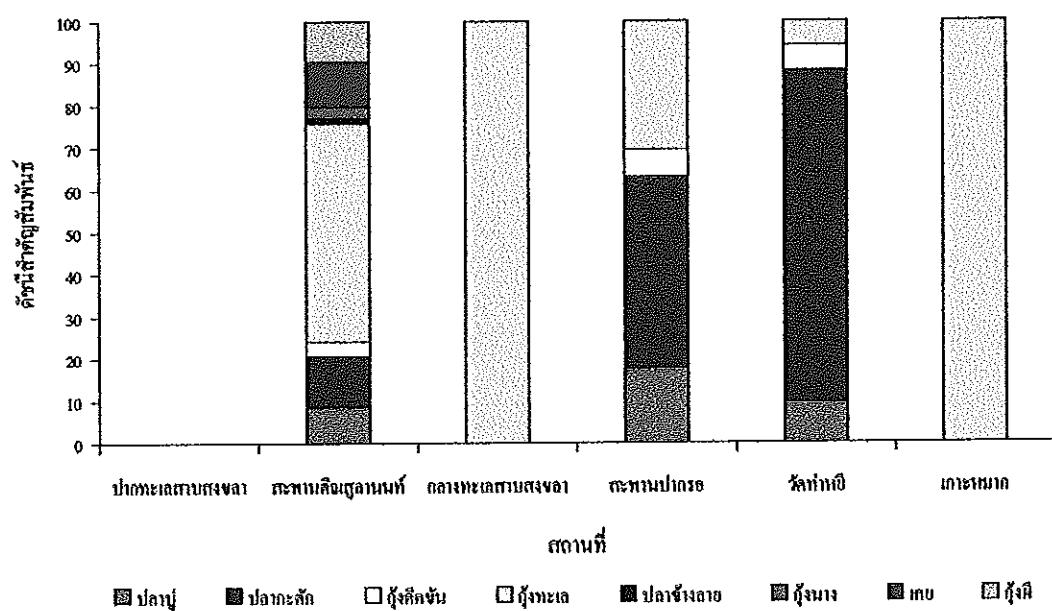
การศึกษาองค์ประกอบของอาหารที่พบในกระเพาะอาหารของปลาญี่ปุ่นของ *Glossogobius aureus* ที่อาศัยในบริเวณต่าง ๆ โดยวิธีหาค่าดัชนีสำคัญสัมพัทธ์ พบว่า องค์ประกอบของอาหารในกระเพาะอาหารของปลาบริเวณสะพานติดสุลามันท์ ส่วนใหญ่ เป็น กุ้งทะเล (51.71%) รองลงมาคือ ปลากระตัก (11.92%) บริเวณกลางทะเลสาบสงขลา เป็น กุ้งทะเล ทั้งหมด (100%) บริเวณสะพานป่ากรอ ส่วนใหญ่เป็น ปลากระตัก (45.45%) รองลงมา คือ กุ้งทะเล (30.61%) บริเวณวัดท่าหนึ่ย ส่วนใหญ่เป็น ปลากระตัก (78.64%) รองลงมาคือ ปลาญี่ปุ่น (9.50%) และบริเวณเกาะหมาก เป็น กุ้งทะเล ทั้งหมด (100%) สำหรับบริเวณปากทะเลสาบ สงขลา ไม่สามารถบอกรายละเอียดของอาหารในกระเพาะอาหารของปลาได้ เมื่อจากปลาที่จับได้ เป็นปลาที่มีกระเพาะอาหารว่างทั้งหมด (ตารางที่ 9, ตารางที่ 11 และรูปที่ 16)

ตารางที่ 10 ดัชนีสำคัญสัมพัทธ์ของอาหารที่พบในกระเพาะอาหารของปลาญี่ปุ่นของ *Glossogobius aureus* ในเดือนต่าง ๆ

ชนิดของอาหาร	ธ.ค. 40 (n = 11)	ก.พ. 41 (n = 18)	เม.ย. 41 (n = 4)	มิ.ย. 41 (n = 7)	ส.ค. 41 (n = 15)	ต.ค. 41 (n = 98)	ธ.ค. 41 (n = 12)
ปลากระตัก	9.97	15.38	100	0	0	41.17	19.21
ปลาญี่ปุ่น	16.54	5.47	0	59.19	0	10.21	0
ปลาเข้าลาย	0	4.56	0	0	0	0	0
กุ้งศีดขัน	7.98	3.05	0	0	0	4.33	11.66
กุ้งนาง	0	2.58	0	19.28	0	0	0
กุ้งทะเล	0	35.53	0	21.53	100	44.29	54.38
เกย	0	33.44	0	0	0	0	0
กุ้งผี	65.51	0	0	0	0	0	14.76



รูปที่ 15 การเปลี่ยนแปลงองค์ประกอบของอาหารในกระเพาะอาหารของปลาบู่ท่อง *Glossogobius aureus* ในเดือนต่าง ๆ



รูปที่ 16 การเปลี่ยนแปลงองค์ประกอบของอาหารในกระเพาะอาหารของปลาบู่ท่อง *Glossogobius aureus* ที่อาศัยในบริเวณต่าง ๆ

ตารางที่ 11 ดัชนีสำคัญสัมพัทธ์ของอาหารที่พบในน้ำระบบทุ่งอ่างฯของปลาทูทอง *Glossogobius aureus* ที่อยู่ในบริเวณต่างๆ

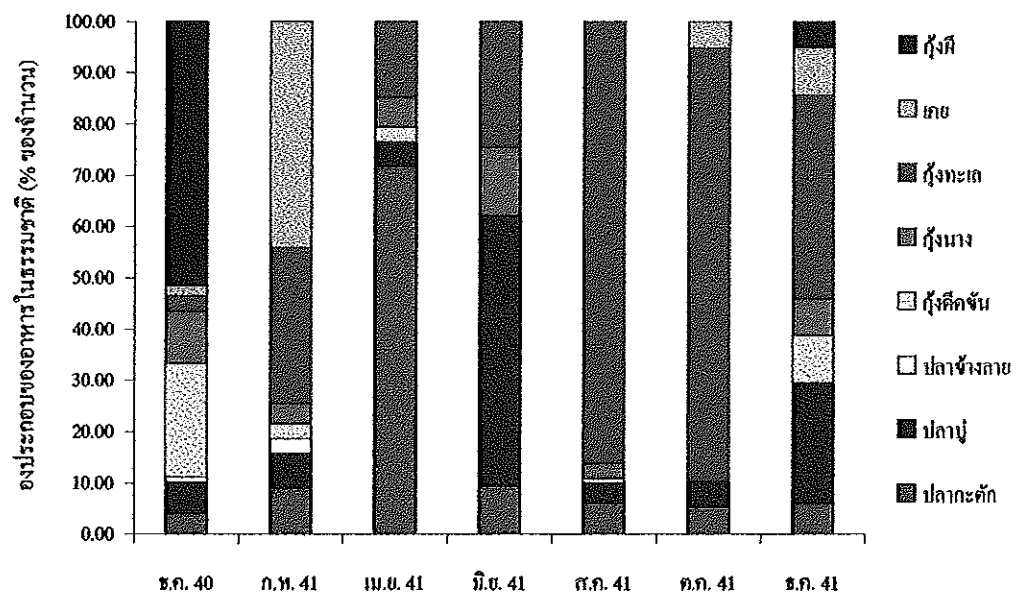
ชนิดของอาหาร	ปริมาณสารต่างๆ	ตัวพานิชย์สถานที่	กิจกรรมทางการค้า	ตัวพานิชย์ของบุคคล	วัดท่าที่	กลางห้อง
(n=0)	(n=79)	(n=16)	(n=40)	(n=25)	(n=25)	(n=5)
ปลาดั้ก	0	11.92	0	45.45	78.64	0
ปลาญี่ปุ่น	0	8.81	0	17.64	9.50	0
ปลาทูงลาย	0	1.29	0	0	0	0
หูงูดูงู	0	3.41	0	6.29	5.96	0
หูงูนา	0	2.64	0	0	0	0
หูงูทะเล	0	51.71	100	30.61	5.90	100
เครป	0	10.77	0	0	0	0
หูงูผี	0	9.45	0	0	0	0

### องค์ประกอบของอาหารในธรรมชาติ

การศึกษาองค์ประกอบของอาหารในธรรมชาติบริเวณสะพานติมสุลานนท์ในเดือนต่าง ๆ โดยวิธีนับ พบว่า องค์ประกอบของอาหารในเดือน ธันวาคม 2540 ส่วนใหญ่เป็น กุ้ง券 (51.52%) รองลงมา คือ กุ้งดีดขัน (22.22%) เดือน กุมภาพันธ์ 2541 ส่วนใหญ่เป็น เกย (44.12%) รองลงมา คือ กุ้งทะเล (30.39%) เดือน เมษายน 2541 ส่วนใหญ่เป็น ปลากระตัก (71.57%) รองลงมา คือ กุ้งทะเล (14.71%) เดือน มิถุนายน ส่วนใหญ่เป็น ปลาบู่ (53.06%) รองลงมา คือ กุ้งทะเล (24.49%) เดือน สิงหาคม ส่วนใหญ่เป็น กุ้งทะเล (86.14%) รองลงมา คือ ปลากระตัก (5.94%) เดือน ตุลาคม ส่วนใหญ่เป็น กุ้งทะเล (84.54%) รองลงมา คือ ปลาบู่ (5.15%) และ ปลาบู่ (5.15%) เดือน ธันวาคม 2541 ส่วนใหญ่เป็น กุ้งทะเล (39.80%) รองลงมา คือ ปลาบู่ (23.47%) (ตารางที่ 12 และรูปที่ 17)

ตารางที่ 12 องค์ประกอบของอาหารในธรรมชาติ บริเวณสะพานติมสุลานนท์ในเดือนต่าง ๆ  
(% ของจำนวน)

ชนิดของอาหาร	ธ.ค. 40	ก.พ. 41	เม.ย. 41	มิ.ย. 41	ส.ค. 41	ต.ค. 41	ธ.ค. 41
ปลากระตัก	4.04	8.82	71.57	9.18	5.94	5.15	6.12
ปลาบู่	6.06	6.86	4.90	53.06	3.96	5.15	23.47
ปลาเข้าลาย	1.01	2.94	0	0	0	0	0
กุ้งดีดขัน	22.22	2.94	2.94	0	0.99	0	9.18
กุ้งนาง	10.10	3.92	5.88	13.27	2.97	0	7.14
กุ้งทะเล	3.03	30.39	14.71	24.49	86.14	84.54	39.80
เกย	2.02	44.12	0	0	0	5.15	9.18
กุ้ง券	51.52	0	0	0	0	0	5.10



รูปที่ 17 การเปลี่ยนแปลงองค์ประกอบของอาหารในธรรมชาติ ในเดือนต่าง ๆ บริเวณ  
สะพานติณสูลานนท์

## บทที่ 4

### วิจารณ์ผลการศึกษา

#### การแพร่กระจาย

การศึกษาการแพร่กระจายของปลาบู่ทอง *Glossogobius aureus* ที่อาศัยในทะเลสาบสังขลาครั้งนี้ พบว่า มีการแพร่กระจายตั้งแต่บริเวณปากทะเลสาบสังขลา ตามลหุ่วเข้า อำเภอสิงหนคร จังหวัดสangขลา ไปจนถึงบริเวณแกะหมาก ตำบลแกะหมาก อำเภอป่าบูรณ์ จังหวัดพัทลุง เช่นเดียวกับการศึกษาของໄพโรจัน<sup>๔</sup> และคณะ (2542) โดยจะพบชุกชุมในช่วงเดือนที่มีฝนตกชุก ระหว่างเดือน กันยายน ถึงเดือน ธันวาคม (ตารางที่ 1) สอดคล้องกับการศึกษาของ Agate *et al.* (1991) ซึ่งได้ศึกษานิodicของปลาที่อาศัยในบริเวณป่าชายเลน จังหวัดระนอง รายงานว่า พนปลาในสกุลปลาบู่ทองบางชนิด เช่น *G. giuris* เนพะในฤดูฝนเช่นเดียว กัน สำหรับในช่วงเดือนที่มีฝนตกน้อย และช่วงเดือนที่มีฝนตกปานกลาง จะพบปลาชนิดนี้ เพียงเล็กน้อย เนพะในบริเวณสะพานติลสุลานนท์เท่านั้น ในช่วงเดือนที่มีฝนตกชุกน้ำในทะเลสาบสังขามีความชุ่มน้ำมากกว่าช่วงเดือนที่มีฝนตกน้อย และช่วงเดือนที่มีฝนตกปานกลาง (ยงยุทธ, 2540) จากการศึกษาความสัมพันธ์ระหว่างความชุ่มน้ำและความชุกชุมของปลา วัยอ่อนในช่วงเวลาเดลุเชีย แอฟริกาใต้ โดย Harris and Cyrus (1995) พบว่า *G. callidus* มีความชุกชุมเพิ่มขึ้นเมื่อความชุ่มน้ำของน้ำเพิ่มขึ้น Maes *et al.* (1998) ให้เหตุผลสนับสนุนว่า ความชุ่นของน้ำที่เพิ่มขึ้นเป็นสิ่งกำบังสำหรับปลาบู่ทำให้ปลาบู่ปลดภัยจากผู้ล่ามากขึ้น ดังนั้น ในช่วงเดือนที่มีฝนตกชุกปลาบู่ทอง *G. aureus* ซึ่งมีความชุกชุมเพิ่มขึ้นและมีโอกาสถูกจับมากกว่าช่วงเดือนที่มีฝนตกน้อย และช่วงเดือนที่มีฝนตกปานกลาง

#### สัณฐานวิทยา

ตักษณทางสัณฐานวิทยาของประการของปลาบู่ทอง *G. aureus* เช่น จำนวนก้านครีบของครีบหลังอันที่สอง จำนวนก้านครีบของครีบก้น จำนวนเกล็ดในแนวยาวของลำตัว และเส้นผ่าศูนย์กลางตา ไม่แตกต่างกับการศึกษาของ Akihito and Meguro (1975) จำนวนก้าน

ครีบอก จำนวนเกล็ดในแนวขวางของลำตัว และ จำนวนซี่กรองของแกนเหงือกอันแรกส่วนล่าง มีค่ามากกว่าการศึกษาของ Akihito and Meguro (1975) จำนวนเกล็ดก่อนถึงครีบหลังอันแรก และความยาวหัว มีค่าน้อยกว่าการศึกษาของ Akihito and Meguro (1975) (ตารางที่ 13)

ลักษณะทางสัณฐานวิทยาบางประการจากการศึกษาของ Akihito and Meguro (1975) มีความผันแปรมากกว่าการศึกษารึ่งนี้ (ตารางที่ 13) เนื่องจาก การศึกษาลักษณะทางสัณฐานวิทยาของ Akihito and Meguro (1975) ศึกษาจากตัวอย่างปลาในหลายพื้นที่ เช่น จังหวัดปัตตานี สงขลา และสมุทรปราการ และประเทศไทย ๆ ได้แก่ ประเทศไทยและฟิลิปปินส์ ญี่ปุ่น สิงคโปร์ อินโดนีเซีย และออสเตรเลีย ในขณะที่การศึกษารึ่งนี้ ศึกษาเฉพาะตัวอย่างปลาที่ขึ้นได้ในทะเลสาบสงขลาเท่านั้น 斫刀鱼 ลักษณะที่สำคัญทางสัณฐานวิทยาของปลา *Gobius nigricans* ที่อาศัยในแม่น้ำทิเบอร์ แม่น้ำไคแอซิโอล และแม่น้ำโทพิโน ประเทศอิตาลี พบว่า ความยาวของคอหางมีความแตกต่างกันระหว่างปลาที่อาศัยในแม่น้ำทิเบอร์ แม่น้ำไคแอซิโอล และแม่น้ำโทพิโน

ลักษณะทางสัณฐานวิทยาบางประการ เช่น ความลึกของหัว ความยาวหน้าตา ความยาวของขากรรไกรด้านบน ความกว้างของฐานครีบหลังอันที่สอง ความยาวของครีบหาง

ตารางที่ 13 ผลการเปรียบเทียบลักษณะทางสัณฐานวิทยาของปลา *Glossogobius aureus* จากการศึกษารึ่งนี้ กับการศึกษาของ Akihito and Meguro (1975)

ลักษณะทางสัณฐานวิทยา	Akihito and Meguro (1975)		การศึกษารึ่งนี้	
	n	พิสัย ( $\bar{X} \pm SE$ )	n	พิสัย ( $\bar{X} \pm SE$ )
จำนวนก้านครีบของครีบหลังอันที่สอง	249	1.7-10 (I, 8.95 ± 0.02)	80	1.8-10 (I, 8.99 ± 0.03)
จำนวนก้านครีบของครีบก้น	249	I, 7-9 (I, 8.07 ± 0.02)	80	I, 8-9 (I, 8.01 ± 0.01)
จำนวนก้านครีบอก	249	16-21 (19.05 ± 0.06)	80	18-21 (19.56 ± 0.07)
จำนวนเกล็ดในแนวขวางของลำตัว	249	29-34 (32.01 ± 0.06)	80	29-34 (31.88 ± 0.11)
จำนวนเกล็ดในแนวขวางของลำตัว	249	8-12 (10.04 ± 0.03)	80	9-12 (10.24 ± 0.07)
จำนวนเกล็ดก่อนถึงครีบหลังอันแรก	247	19-29 (24.50 ± 0.11)	80	19-24 (21.35 ± 0.17)
เส้นผ่าสูงขอกางตา	61	4-11 (6.05 ± 0.19)	80	4-8 (6.36 ± 0.08)
ความยาวหัว	61	28-35 (33.1 ± 0.19)	80	26-33 (27.83 ± 0.15)
จำนวนซี่กรองของแกนเหงือกอันแรกส่วนล่าง	20	4-9 (5.95 ± 0.37)	80	8-10 (9.08 ± 0.04)

ความลึกของคอตหาง ความกว้างของฐานครีบอก ความยาวของครีบอก ความยาวของครีบท้อง และความกว้างของฐานครีบก้น ในปลาเพศผู้ มีค่ามากกว่าปลาเพศเมีย (ตารางที่ 2) การศึกษาในปลาญี่ปุ่นไดแสดงให้เห็นถึงความแตกต่างในลักษณะทางสัณฐานวิทยาระหว่างปลาเพศผู้และเพศเมีย (sexual dimorphism) เช่นเดียวกับปลาญี่ปุ่น *Glossogobius aureus* เช่น การศึกษาของ Watson and Lachner (1985) ในปลาญี่ปุ่น *Psilogobius mainlandi* บริเวณหมู่เกาะaway ประเทศสหรัฐอเมริกา และปลาญี่ปุ่น *P. prolatus* บริเวณ เกรทเบรيريรีฟ (Great Barrier Reef) ประเทศไทย พบว่า ปลาเพศผู้มีความยาวของครีบ ความยาวของก้านครีบแข็งของครีบหลังอันแรก และความยาวของขากรรไกรด้านบนมากกว่าปลาเพศเมีย การศึกษาของ Maciolek (1977) ในปลาญี่ปุ่น *Lentipes concolor* และปลาญี่ปุ่น *L. seminudus* บริเวณหมู่เกาะaway ประเทศสหรัฐอเมริกา พบว่า ปลาเพศผู้มีขนาดปัก และความกว้างของครีบหลังมากกว่าปลา เพศเมีย Darwin (1871 อ้างโดย McFarland, 1993) ให้เหตุผลว่า ความแตกต่างในลักษณะทางสัณฐานวิทยาระหว่างปลาเพศผู้และปลาเพศเมียเป็นผลของการคัดเลือกทางเพศ (sexual selection)

#### ความสัมพันธ์ระหว่างความยาวมาตรฐานและน้ำหนักของปลาญี่ปุ่น

การศึกษาความสัมพันธ์ระหว่างความยาวมาตรฐานและน้ำหนักของปลาญี่ปุ่น *G. aureus* เพศผู้และเพศเมีย พบว่า สมการความสัมพันธ์ระหว่างความยาวมาตรฐานและน้ำหนักของปลาทั้งสองเพศไม่มีความแตกต่างกัน (รูปที่ 8) แสดงให้เห็นว่าอัตราการเปลี่ยนแปลงของน้ำหนักตัวต่อความยาวมาตรฐานในปลาญี่ปุ่น *G. aureus* ทั้งสองเพศไม่มีความแตกต่างกัน ถึงแม้ว่า ผลจากการศึกษารากฐานวิทยาจะแสดงให้เห็นว่าปลาเพศผู้มีความกว้างและความยาวของครีบต่าง ๆ มากกว่าปลาเพศเมีย (ตารางที่ 2) แต่ความกว้างและความยาวของครีบต่าง ๆ ที่เพิ่มขึ้นในปลาเพศผู้ น่าจะมีผลต่อน้ำหนักตัวที่เพิ่มขึ้นเพียงเล็กน้อยเท่านั้น

#### ดัชนีความสมบูรณ์

การศึกษาค่าดัชนีความสมบูรณ์ ชี้ให้เห็นว่าในเดือน ธันวาคม 2540 และ กุมภาพันธ์ 2541 ปลาญี่ปุ่น *G. aureus* ทั้งสองเพศมีน้ำหนักลดลงเมื่อเทียบกับเดือนอื่น ๆ (รูปที่ 9) จากการศึกษาของ Fouad *et al.* (1993) ในปลาญี่ปุ่น *Pomatoschistus marmoratus* และปลาญี่ปุ่น

*Silhouettia aegyptia* ที่อาศัยในทะเลสาบทิมชาห์ พบว่า ปลาญูทั้งสองชนิดมีน้ำหนักตัวลดลง ในฤดูกาลผสมพันธุ์ Miller (1984 ข้างโดย Fouda et al., 1993) กล่าวว่า การลดลงของน้ำหนัก ตัวอาจมีสาเหตุมาจากการใช้พลังงานเพื่อการสืบพันธุ์ และการขาดอาหารในระหว่างฤดูกาล ผสมพันธุ์ อย่างไรก็ตาม การศึกษาในครั้งนี้ยังไม่มีหลักฐานเพียงพอที่จะชี้ให้เห็นถึงสาเหตุ ของการลดลงของน้ำหนักตัวของปลาญูทอง *Glossogobius aureus*

### ชีววิทยาการสืบพันธุ์ทางประการ

ดัชนีการเจริญเติบโตของอวัยวะสืบพันธุ์ของปลาญูทอง *G. aureus* เพศเมียในรอบปี มีค่าสูงสุดสองครั้ง คือในเดือน มีนาคม 2541 และ พฤษภาคม 2541 แสดงให้เห็นว่า ปลาญูทอง *G. aureus* มีฤดูกาลผสมพันธุ์ 2 ช่วง ช่วงแรก ระหว่างเดือน กุมภาพันธ์ ถึงเดือน เมษายน และช่วงที่สอง ระหว่างเดือน ตุลาคม ถึงเดือน พฤษภาคม (รูปที่ 10) สอดคล้องกับการศึกษา ของ Geevarghese and John (1983) ในปลาญู *Oligolepis acutipennis* ที่อาศัยในบริเวณชั้นวาง ทะเลของชายฝั่งประเทศไทยเดียวกัน พบว่า มีฤดูกาลผสมพันธุ์ 2 ช่วง เช่นเดียวกัน อย่างไรก็ตาม การศึกษารั้งนี้ต่างจากการศึกษาของ Marquez (1969) ซึ่งรายงานว่า ปลาญู *Glossogobius giuris* มีฤดูกาลผสมพันธุ์ตลอดทั้งปี Geevarghese and John (1983) สนับนิยฐานว่า ความแตกต่างของฤดูกาลผสมพันธุ์ขึ้นอยู่กับความผันแปรทางภูมิศาสตร์ และสิ่งแวดล้อม จากการศึกษาปริมาณ cortisol หรือ corticosterone ในทะเลสาบสงขลา โดย ยงยุทธ (2540) พบว่า ทะเลสาบสงขลา มีความอุดมสมบูรณ์ตลอดทั้งปี และการศึกษาสัตว์น้ำวัยอ่อนในบริเวณอ่าวพังงา โดย Janekarn and Kierboe (1991) รายงานว่า พับสัตว์น้ำวัยอ่อนในกรอบครัวปลาญูตลอดทั้งปี ซึ่ง สอดคล้องกับข้อเสนอของ Cushing (1975 ข้างโดย Bye, 1984) ซึ่งกล่าวว่า ฤดูกาลในการผสม พันธุ์ของปลาในแต่ละปีจะต้องมีความลงตัวกันระหว่างตัวอ่อนและอาหาร ดังนั้นในเขตร้อน ซึ่งมีความอุดมสมบูรณ์ของอาหารตลอดทั้งปี จึงไม่มีปัญหาในเรื่องเวลาในการผสมพันธุ์ ปลา ในเขตร้อนสามารถผสมพันธุ์ได้ตลอดทั้งปี

อัตราส่วนเพศของปลาญูทอง *G. aureus* ตลอดฤดูกาลสืบพันธุ์เป็น 1:1 (รูปที่ 11) ต่าง จากการศึกษาของ Geevarghese (1976 ข้างโดย Geevarghese and John, 1983) ในปลาญู *G. giuris* ซึ่งพบว่าอัตราส่วนของปลาเพศผู้ต่อปลาเพศเมียเป็น 5:1 การศึกษารั้งนี้สอดคล้อง กับการศึกษาของ Nash (1984) ในปลาญู *Gobius niger* ซึ่งพบว่า อัตราส่วนเพศของปลาญู ตลอดฤดูกาลสืบพันธุ์เป็น 1:1 ยกเว้นในช่วงฤดูหนาว ไก่เมื่อปลาเพศเมียมีจำนวนมากกว่าปลา

เพชร์ Nash (1984) ให้เหตุผลว่า การลดจำนวนลงอย่างรวดเร็วของปลาญี่ปุ่นอาจเกิดขึ้น เนื่องจากปลาเพชร์มีการสร้างรังและปกป้องรัง ปลาเพชร์จึงมีโอกาสลดจากการถูกจับมาก กว่าปลาเพชร์เมีย อย่างไรก็ตาม ยังไม่มีรายงานที่แน่ชัดเกี่ยวกับพฤติกรรมการสร้างรังและ ปกป้องรังในปลาญี่ปุ่น *Glossogobius aureus*

### องค์ประกอบของอาหารในกระเพาะอาหาร

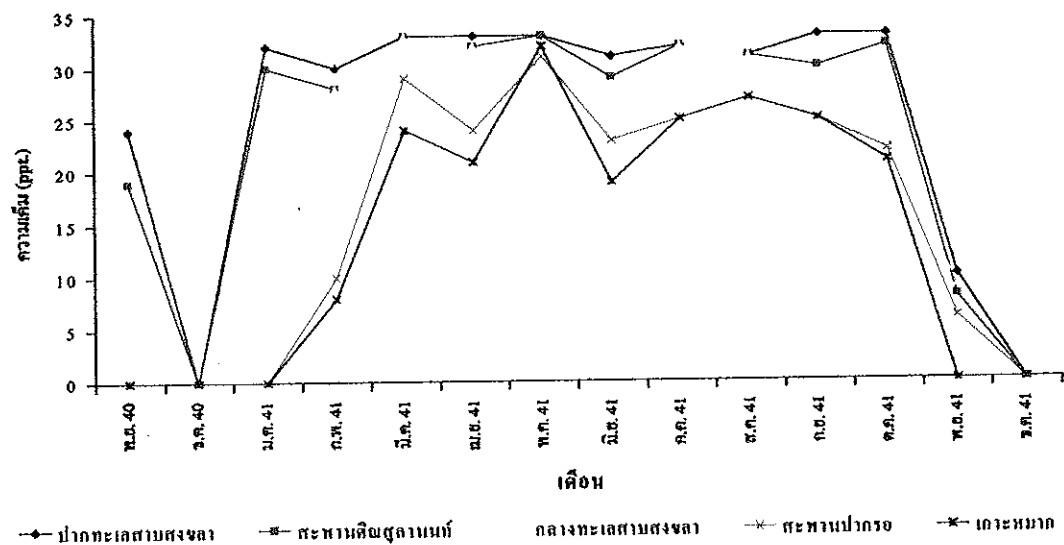
การศึกษาองค์ประกอบของอาหารที่พบในกระเพาะอาหารของปลาญี่ปุ่น *G. aureus* จำนวน 1117 ตัว พบว่า เป็นปลาที่มีกระเพาะอาหารว่าง 942 ตัว หรือ 84% (ตารางที่ 8 และ ตารางที่ 9) เนื่องจากเครื่องมือประเมินประจำที่ทั้งสองประเภทมีระยะเวลาในการดักจับปลา นาน (4 ชั่วโมงสำหรับโหนงพาง และ 12 ชั่วโมงสำหรับลอบยืน) ประกอบกับปลาญี่ปุ่น *G. aureus* ที่จับได้ทั้งหมดเป็นปลาที่ยังมีชีวิต จึงอาจเป็นไปได้ว่าอาหารในกระเพาะอาหาร ของปลาส่วนใหญ่มีการย่อยสลายก่อนที่เครื่องมือจะถูกถอดขึ้นมาเพื่อเก็บตัวอย่างปลา มาวิเคราะห์องค์ประกอบของอาหารในกระเพาะอาหารของปลา

องค์ประกอบของอาหารในกระเพาะอาหารของปลาญี่ปุ่น *Glossogobius aureus* มี การเปลี่ยนแปลงตามฤดูกาล (รูปที่ 15) และสถานที่ (รูปที่ 16) เช่นเดียวกับการศึกษาของ Kido (1997) ในปลาญี่ปุ่น *Awaous guamensis* และปลาญี่ปุ่น *Sicyopterus stimpsoni* ที่อาศัยในบริเวณ เกาะขาวาย และการศึกษาของ Aarnio and Bonsdorff (1993) ในปลาญี่ปุ่น *Pomatoschistus minutus* ที่อาศัยในบริเวณหมู่เกาะนาลติกทางตอนเหนือ

ความเค็มของน้ำในทะเลสาบสงขลา มีความเค็มแปรผันมาก ตั้งแต่น้ำจืดจนถึงน้ำเค็ม ขึ้นอยู่กับปัจจัยหลายประการ เช่น ปริมาณน้ำฝน น้ำท่าที่ไหลลงสู่ทะเลสาบ และระยะทางห่าง จากปากทะเลสาบ (สูรสกัด และคณะ, 2536 อ้างโดย ไหroxan และคณะ, 2542) การ เปลี่ยนแปลงของความเค็มในทะเลสาบสงขลาในฤดูกาลต่าง ๆ ในแต่ละบริเวณ (ยงยุทธ ปรีดาลัมพะบุตร, การติดต่อสั่วนบุคคล; รูปที่ 18) ทำให้องค์ประกอบของสิ่งมีชีวิตในทะเล สาบสงขลา รวมทั้งสัตว์น้ำซึ่งเป็นองค์ประกอบของอาหารตามธรรมชาติของปลาญี่ปุ่น *G. aureus* ในฤดูกาลต่าง ๆ (รูปที่ 17) เปลี่ยนแปลงไป (เสาวภา และ Aruga, 2537; ไหroxan และคณะ, 2542)

การเปรียบเทียบองค์ประกอบของอาหารในกระเพาะอาหารของปลาญี่ปุ่น *G. aureus* และองค์ประกอบของอาหารในธรรมชาติบริเวณสะพานติณสุลานนท์ (รูปหน้าที่ 1) แสดง

ให้เห็นว่าองค์ประกอบของอาหารในกระเพาะอาหารของปลาญ่าทอง *G. aureus* มีการเปลี่ยนแปลงตามองค์ประกอบของอาหารในธรรมชาติ สอดคล้องกับการศึกษาของ Zander (1979); Grossman *et al.* (1980) และ Magnhagen and Wiederholm (1982) ซึ่งสรุปว่า การคัดเลือกอาหารของปลาญ่าขึ้นอยู่กับความหนาแน่นขององค์ประกอบของอาหารในธรรมชาติ



รูปที่ 18 ความเค็มในกระเพาะอาหารของปลาญ่าทอง *G. aureus*  
ที่มา : คัดแปลงจาก ยงบุษ พรีดาลัมพะบุตร (การติดต่อส่วนบุคคล)

## บทที่ 5

### สรุปผลการศึกษา

#### การแพร่กระจาย

ปลาญี่ทอง *Glossogobius aureus* ที่อาศัยในทะเลสาบสงขลา มีการแพร่กระจายตั้งแต่บริเวณปากทะเลสาบสงขลา ตำบลหัวเขา อำเภอสิงหนคร จังหวัดสงขลา ไปจนถึง บริเวณเกาะหมาก ตำบลเกาะหมาก อำเภอปากพะยูน จังหวัดพัทลุง โดยจะพบชุกชุมในช่วงเดือนที่มีฝนตกชุก ระหว่างเดือน กันยายน ถึงเดือน ธันวาคม

#### สัณฐานวิทยา

ลักษณะทางสัณฐานวิทยาบางประการของปลาญี่ทอง *G. aureus* ที่อาศัยในทะเลสาบสงขลา ได้แก่ จำนวนก้านครีบของครีบหลังอันแรก จำนวนก้านครีบของครีบหลังอันที่สอง จำนวนก้านครีบของครีบก้น จำนวนก้านครีบของครีบท้อง จำนวนก้านครีบของครีบอก จำนวนเกล็ดในแนวยาวของลำตัว จำนวนเกล็ดในแนวยาวของลำตัว จำนวนเกล็ดก่อนถึงครีบหลังอันแรก จำนวนซี่กรองของแกนเหงือกอันแรก ความลึกของลำตัว ความกว้างของลำตัว ความยาวหัว ความกว้างของหัว ความกว้างของฐานครีบหลังอันแรกไม่มีความแตกต่างกันระหว่างปลาเพศผู้และเพศเมีย ความลึกของหัว ความยาวหน้าตา ความยาวของขากรรไกรบน ความกว้างของฐานครีบหลังอันที่สอง ความยาวของครีบหาง ความลึกของคอหาง ความกว้างของฐานครีบอก ความยาวของครีบอก ความยาวของครีบท้อง และความกว้างของฐานครีบก้น ในปลาเพศผู้มีค่ามากกว่าปลาเพศเมีย และ เส้นผ่าศูนย์กลางตา ในปลาเพศผู้มีค่าน้อยกว่าปลาเพศเมีย

## ความสัมพันธ์ระหว่างความยาวมาตรฐานและน้ำหนัก

ความยาวมาตรฐานและน้ำหนักตัวของปลาญี่ปุ่น *Glossogobius aureus* มีความสัมพันธ์กันดังสมการ  $\log W = -2.2052 + 3.3403 \log L$

### ดัชนีความสมบูรณ์

ดัชนีความสมบูรณ์ของปลาญี่ปุ่น *G. aureus* ทึ้งในปลาเพศผู้และเพศเมีย ไม่มีความแตกต่างกันระหว่างเดือน ธันวาคม 2540 และเดือน กุมภาพันธ์ 2541 และไม่มีความแตกต่างกันระหว่างเดือน เมษายน มิถุนายน สิงหาคม ตุลาคม และ ธันวาคม 2541 แต่มีความแตกต่างกันระหว่างกลุ่มเดือนทั้งสองกลุ่มนี้ โดยดัชนีความสมบูรณ์ของปลาในเดือน ธันวาคม 2540 และเดือน กุมภาพันธ์ 2541 มีค่าต่ำกว่าเดือนอื่น ๆ

### ชีววิทยาการสืบพันธุ์ทางประการ

ปลาญี่ปุ่น *G. aureus* มีการสืบพันธุ์ 2 ช่วง ช่วงแรก ระหว่างเดือน กุมภาพันธ์ ถึง เดือน เมษายน และช่วงที่สอง ระหว่างเดือน ตุลาคม ถึงเดือน พฤศจิกายน อัตราส่วนเพศ ตลอดฤดูกาลสืบพันธุ์เป็น 1:1 ปลาญี่ปุ่น *G. aureus* ขนาดเล็กที่สุดที่สามารถสืบพันธุ์ได้ ปลา เพศผู้มีขนาด 6.31 เซนติเมตร ปลาเพศเมียมีขนาด 6.24 เซนติเมตร ปลาเพศเมียที่มีความยาวมาตรฐานตั้งแต่ 7.78 เซนติเมตร จนถึง 9.90 เซนติเมตร ( $\bar{X} \pm SE = 88.6 \pm 0.6$ ) มีความคง ของไข่ประมาณ 14,325 ฟอง ถึง 36,465 ฟอง ( $\bar{X} \pm SE = 22,028 \pm 609$ ) ความยาวมาตรฐาน และความคงของไข่มีความสัมพันธ์กัน ดังสมการ  $\log Fe = 1.0471 + 3.4686 \log L$

### องค์ประกอบของอาหารในกระเพาะอาหาร

องค์ประกอบของอาหารที่พบในกระเพาะอาหารของปลาญี่ปุ่น *G. aureus* แบ่งออก เป็น 2 กลุ่ม คือ กลุ่มครัสเตเชียน และกลุ่มปลากระดูกแข็ง องค์ประกอบของอาหารใน กระเพาะอาหารของปลา มีการเปลี่ยนแปลงตามฤดูกาล สถานที่ และสัมพันธ์กับองค์ประกอบ ของอาหารในธรรมชาติ

## ข้อเสนอแนะ

1. ความมีการศึกษาเกี่ยวกับการเข้าสู่ที่ของปลาญูทอง *Glossogobius aureus* โดยศึกษาการเปลี่ยนแปลงของจำนวนปลาขนาดต่าง ๆ ทั้งในปลาเพศผู้และเพศเมีย จากการศึกษา ข้อมูลเบื้องต้นโดยเก็บตัวอย่างปลาด้วยอวนทับคลิง พบว่า ปลาญูทอง *G. aureus* ขนาดเล็ก อาศัยในบริเวณที่ตื้นซึ่งมีพืชนำเข้าปักลุม เช่น บริเวณชายฝั่งทะเลสาบสงขลา ตำบลป่าขาด อำเภอสิงหนคร จังหวัดสงขลา แต่เมื่อจากอวนทับคลิงสามารถจับปลาได้น้อย ใช้ให้เฉพาะบางพื้นที่ และการใช้อวนทับคลิงในบริเวณที่มีพืชนำเข้าปักลุมและมีสิ่งกีดขวางทำให้เครื่องมือเกิดความเสียหาย จึงไม่สามารถนำเครื่องมือประมงชนิดนี้มาใช้ในการศึกษาครั้งนี้ได้ ประกอบกับ เครื่องมือประมงประจำที่ที่ใช้ในการจับปลาตั้งอยู่ในบริเวณที่มีความลึก ตั้งแต่ 1.9 เมตร ขึ้นไป จึงไม่สามารถจับปลาขนาดเล็กซึ่งอาศัยในบริเวณน้ำตื้นได้

2. ความมีการศึกษาเกี่ยวกับเนื้อเยื่ออ่อนเชลด์สีบันธุ์ของปลาญูทอง *G. aureus* ทั้งในปลาเพศผู้และเพศเมีย ซึ่งจะทำให้ทราบถึงระบบของเชลด์สีบันธุ์ และฤทธิกาลสีบันธุ์ที่แผ่นอนของปลาชนิดนี้

3. ความมีการศึกษาเกี่ยวกับองค์ประกอบของอาหารในกระเพาะอาหารของปลาญูทอง *G. aureus* ขนาดเล็ก และความมีการศึกษาเกี่ยวกับขนาดของอาหารที่พบในกระเพาะอาหารของปลาญูทอง *G. aureus* ขนาดต่าง ๆ ซึ่งจะทำให้ทราบถึงการเปลี่ยนแปลงขององค์ประกอบของอาหารตามขนาดของปลา

4. ความมีการศึกษาเกี่ยวกับพฤติกรรมต่าง ๆ ของปลาญูทอง *G. aureus* เช่น การกินอาหาร การเลือกคู่ การสร้างรัง และปกป้องรัง เป็นต้น

5. ความมีการศึกษาเกี่ยวกับเครื่องมือประมงที่มีประสิทธิภาพที่สามารถจับปลาญูทอง ตั้งแต่ขนาดเล็กจนถึงขนาดใหญ่ได้ และสามารถจับปลาได้ในระยะเวลาสั้น ๆ ซึ่งจะทำให้ทราบข้อมูลต่าง ๆ เกี่ยวกับปลาขนาดเล็ก และตัวอย่างปลาที่จับได้น่าจะมีเปอร์เซ็นต์ของกระเพาะอาหารว่างลดลง

## เอกสารอ้างอิง

บริษัท เทสโก้, บริษัท ปัญญา คอนซัลแทนท์ และ บริษัท พอดคอนซัลแทนท์ จำกัด. 2537.

รายงานฉบับสุดท้าย การศึกษาทบทวนความเหมาะสม การศึกษาออกแบบโครงการ  
คันกันน้ำกีดขวางทางเดินสงขลา จังหวัดสงขลาและพัทลุง เสนอต่อ กรมชลประทาน.

ไฟโโรจน์ ศิริมนตรภรณ์, อังสุณี ชุมพรา翼 และ เริงชัย ตันสกุล. 2542. ทะเลสาบสงขลา  
ใน สารานุกรมวัฒนธรรมไทยภาคใต้ เล่ม 7. หน้า 3057-3241. มูลนิธิสารานุกรม  
วัฒนธรรมไทย ธนาคารไทยพาณิชย์. กรุงเทพมหานคร : บริษัท สยามเพรส  
ແນเนจเม้นท์ จำกัด.

ยงยุทธ ปรีดาลัมพะบุตร และ นิคม ละอองศิริวงศ์. 2540. การเปลี่ยนแปลงและความสัมพันธ์  
ระหว่างคุณภาพน้ำกับแพลงก์ตอนพืชในทะเลสาบสงขลา. เอกสารวิชาการฉบับที่  
4/2540. กรมประมง : สถาบันวิจัยการเพาะเติ่งสัตว์น้ำชายฝั่ง.

เสาวภา อังสุภานิช และ Yusho Aruga. 2537. แพลงก์ตอน ใน รายงานวิจัย เรื่อง พลวัตของ  
ระบบนิเวศในทะเลสาบสงขลาตอนนอก ประเทศไทยตอนใต้. หน้า 71-98. เสาวภา  
อังสุภานิช และคณะ เสนอต่อ สำนักงานคณะกรรมการวิจัยแห่งชาติ โดย  
คณะกรรมการธรรมชาติ มหาวิทยาลัยสงขลานครินทร์ วิทยาเขตหาดใหญ่.

อภิญญา วงศ์คิดการ. 2531. สอดคล้องระหว่างชีววิทยา. พิมพ์ครั้งที่ 1. สงขลา : มหาวิทยาลัย  
สงขลานครินทร์.

Agate, A.D., Aryuthaka, C., Chalermpongse, A., Cheewasedtham, C., Silva, K.H.G.M.,  
Govindan, A., Hindarti, D., Jeyaseelan, M.J.P., Macintosh, D.J., Meepol, W.,  
Mongkolprasit, S., Murphy, D.H., Murty, K.V. R., Naiyanetr, P., Paphavasit, N.,  
Rau, M.T., Romimohtarto, K., Saraya, A., Swamy, K. and Termvidchakorn, A.  
1991. Fauna and Fisheries Studies. In Final report of *The Integrated  
Multidisciplinary Survey and Research Programme of The Ranong Mangrove  
Ecosystem, March, 1991*, organized by UNDP/UNESCO Regional Project-Research  
and its Application to the Management of the Mangroves of Asia and the Pacific  
(RAS/86/120). 136. Bangkok : Funny Publishing Limited Partnership.

- Akihito, Prince and Meguro, K. 1975. Description of a new gobiid fish, *Glossogobius aureus*, with notes on related species of the genus. *Japanese Journal of Ichthyology*. 22 (3) : 127-142.
- Akihito, Prince and Meguro, K. 1976. *Glossogobius sparsipapillus*, a new species of goby from Vietnam. *Japanese Journal of Ichthyology*. 23 (1) : 9-11.
- Aarnio, K. and Bonsdorff, E. 1993. Seasonal variation in abundance and diet of the sand goby *Pomatoschistus minutus* (Pallas) in a northern Baltic archipelago. *Ophelia*. 37 (1) : 19-30.
- Bye, V.J. 1984. The Role of Environmental Factors in the Timing of Reproductive Cycles. In *Fish Reproduction : Strategies and Tactics*. pp. 187-205. Potts, G.W. and Wootton, R.J., eds. London : Academic Press Inc. (London) Ltd.
- Crim, L.W. and Glebe, B.D. 1990. Reproduction. In *Methods for Fish Biology*. pp. 529-553. Schreck, C.B. and Moyle, P.B., eds. Bethesda, Maryland : American Fisheries Society.
- Everson, J.P. 1983. Climate of the Songkhla Lake Basin. *Songklanakarin Journal of Science and Technology*. 5 : 175-177.
- Fouda, M.M., Hanna, M.Y. and Fouda, F.M. 1993. Reproductive biology of a Red Sea goby, *Silhouettea aegyptia*, and a Mediterranean goby, *Pomatoschistus marmoratus*, in Lake Timsah, Suez Canal. *Journal of Fish Biology*. 43 : 139-151.
- Geevarghese, C. and John, P.A. 1983. Maturation and spawning of a gobiid fish, *Oligolepis acutipennis* (Cuv. & Val.) from the south-west coast of India. *Journal of Fish Biology*. 23 : 611-624.
- Grossman, G.D., Coffin, R. and Moyle, P.B. 1980. Feeding ecology of the bay goby (Pisces: Gobiidae). Effects of behavioral, ontogenetic, and temporal variation on diet. *Journal of Experimental Marine Biology and Ecology*. 44 : 47-59.
- Harris, S.A. and Cyrus, D.P. 1995. Occurrence of fish larvae in the St Lucia Estuary, Kwazulu-Natal, South Africa. *South African Journal of Marine Science*. 16 : 333-350.

- Hyslop, E.J. 1980. Stomach contents analysis-a review of methods and their application. *Journal of Fish Biology.* 17 : 411-429.
- Janekarn, V. and Kiørboe, T. 1991. Temporal and spatial distribution of fish larvae and their environmental biology in Phang-Nga Bay, Thailand. *Phuket Marine Biological Center Research Bulletin.* 56 : 23-40.
- Kido, M.H. 1997. Food relations between coexisting native Hawaiian stream fishes. *Environmental Biology of Fishes.* 49 : 481-494.
- Maciolek, J.A. 1977. Taxonomic status, biology, and distribution of Hawaiian *Lentipes*, a diadromous goby. *Pacific Science.* 31 (4) : 355-362.
- Maes, J. Taillieu, A. Van-Damme, P.A. Cottenie, K. and Ollevier, F. 1998. Seasonal patterns in the fish and crustacean community of a turbid temperate estuary (Zeeschelde Estuary, Belgium). *Estuarine, Coastal and Shelf Science.* 47 (2) : 143-151.
- Magnhagen, C. and Wiederholm, A.M. 1982. Food selectivity versus prey availability: a study using the marine fish *Pomatoschistus microps*. *Oecologia.* 55 : 311-315.
- Marquez, J.R.S. 1969. Age and size at sexual maturity of white goby (*Glossogobius giuris*), a common species of fish of Laguna de Bay, with notes on its food habits. *Philippines Journal of Fish.* 8 : 71-101.
- Masuda, H., Amaoka, K., Araga, C., Uyeno and Yoshino, T., eds. 1985. *The Fishes of The Japanese Archipelago.* Tokyo : Tokai University Press.
- McFarland, D. 1993. *Animal behaviour: psychobiology, ethology and evolution.* 2nd ed. Singapore : Longman Singapore Publishers (Pte) Ltd.
- Nash, R.D.M. 1984. Aspects of the biology of the black goby, *Gobius niger* L., in Oslofjorden, Norway. *Sarsia.* 69 (1) : 55-61.
- Nelson, J.S. 1984. *Fishes of the World.* 2nd ed. United States of America : John Wiley & Sons, Inc.
- Pirisinu, Q. and Natali, M. *Gobius nigricans* Canestrini (Pisces, Osteichthyes, Gobiidae) endemic for central Italy. *Rivista Idrobiologia.* 1980. 19 (3) : 593-617.

- Randall, J.E. 1994. A new genus and six new gobiid fishes (Perciformes : Gobiidae) from Arabian waters. *Fauna of Saudi Arabia.* 14 : 317-340.
- Satapoomin, U. and Poovachiranon, S. 1997. Fish Fauna of Mangroves and Seagrass Beds in the West Coast of Thailand, the Andaman Sea. Phuket Marine Biological Center. Technical Paper No. 2/1997, 63 p.
- Smith, H.M. 1945. *The Fresh-Water Fishes of Siam, or Thailand.* Washington D.C. : Smithsonian Institution.
- Smith, M.M. and Heemstra, P.C., eds. 1986. *Smiths' Sea Fishes.* Johannesburg : Macmillan South Africa (Publishers) (Pty) Ltd.
- Watson, R.E. and Lachner, E.A. 1985. A new species of *Psilogobius* from the Indo-Pacific with a redescription of *Psilogobius mainlandi* (Pisces: Gobiidae). *Proceedings of Biology Society of Washington.* 98 (3) : 644-654.
- Zander, C.D. 1979. On the biology and food of small sized fish from the North and Baltic Sea areas. *Ophelia.* 18:179-190.
- Zar, J.H. 1996. *Biostatistical Analysis.* 3rd ed. New Jersey : Prentice-Hall, Inc.

## การติดต่อส่วนบุคคล

ไฟโรมน์ ศิริมนตากรณ์

สถาบันวิจัยการเพาะเลี้ยงสัตว์น้ำชายฝั่ง ถนนเก้าแสน ซอย 1 อ่าगาเมือง จังหวัดสงขลา

ยงยุทธ ปรีดาลัมพะบุตร

สถาบันวิจัยการเพาะเลี้ยงสัตว์น้ำชายฝั่ง ถนนเก้าแสน ซอย 1 อ่ากเอมีอง จังหวัดสงขลา

## ภาคผนวก

ตารางผนวกที่ 1 รายละเอียดผลการเปรียบเทียบค่าตัวชี้นิความสมบูรณ์ของปลาญูทอง *Glossogobius aureus* เพศผู้ ในเดือนต่าง ๆ โดยใช้ Tukey test (ค่าที่แสดงในวงเล็บ คือ ค่าเฉลี่ยของค่าตัวชี้นิความสมบูรณ์)

คู่ของการเปรียบเทียบ	<i>q</i>	<i>q<sub>0.05,309,7</sub></i>	ผลการเปรียบเทียบ
ธ.ค. 40 (0.0106) และ ก.พ. 41 (0.0098)	0.602	4.170	$P > 0.50$
ธ.ค. 40 และ เม.ย. 41 (0.0140)	5.483	4.170	$0.001 < P < 0.005$
ธ.ค. 40 และ มี.ย. 41 (0.0142)	9.439	4.170	$P < 0.001$
ธ.ค. 40 และ ส.ค. 41 (0.0136)	8.398	4.170	$P < 0.001$
ธ.ค. 40 และ ต.ค. 41 (0.0145)	11.782	4.170	$P < 0.001$
ธ.ค. 40 และ ธ.ค. 41 (0.0137)	5.733	4.170	$P < 0.001$
ก.พ. 41 และ เม.ย. 41	4.562	4.170	$0.01 < P < 0.025$
ก.พ. 41 และ มี.ย. 41	5.961	4.170	$P < 0.001$
ก.พ. 41 และ ส.ค. 41	4.798	4.170	$0.01 < P < 0.025$
ก.พ. 41 และ ต.ค. 41	6.817	4.170	$P < 0.001$
ก.พ. 41 และ ธ.ค. 41	4.310	4.170	$0.025 < P < 0.05$
เม.ย. 41 และ มี.ย. 41	0.336	4.170	$P > 0.50$
เม.ย. 41 และ ส.ค. 41	1.194	4.170	$P > 0.50$
เม.ย. 41 และ ต.ค. 41	1.026	4.170	$P > 0.50$
เม.ย. 41 และ ธ.ค. 41	0.872	4.170	$P > 0.50$
มี.ย. 41 และ ส.ค. 41	2.558	4.170	$P > 0.50$
มี.ย. 41 และ ต.ค. 41	0.841	4.170	$P > 0.50$
มี.ย. 41 และ ธ.ค. 41	1.612	4.170	$P > 0.50$
ส.ค. 41 และ ต.ค. 41	4.167	4.170	$0.05 < P < 0.10$
ส.ค. 41 และ ธ.ค. 41	0.231	4.170	$P > 0.50$
ต.ค. 41 และ ธ.ค. 41	2.612	4.170	$P > 0.50$

ตารางผนวกที่ 2 รายละเอียดผลการเปรียบเทียบค่าดัชนีความสมบูรณ์ของปลาญูทอง  
*Glossogobius aureus* เพศเมีย ในเดือนต่าง ๆ โดยใช้ Tukey test (ค่าที่แสดงในวงเล็บ คือ ค่าเฉลี่ยของดัชนีความสมบูรณ์)

คู่ของการเปรียบเทียบ	<i>q</i>	<i>q<sub>0.05,341,7</sub></i>	ผลการเปรียบเทียบ
ธ.ค. 40 (0.0101) และ ก.พ. 41 (0.0106)	0.842	4.170	$P > 0.50$
ธ.ค. 40 และ เม.ย. 41 (0.0141)	8.500	4.170	$P < 0.001$
ธ.ค. 40 และ มิ.ย. 41 (0.0147)	10.168	4.170	$P < 0.001$
ธ.ค. 40 และ ส.ค. 41 (0.0139)	8.588	4.170	$P < 0.001$
ธ.ค. 40 และ ต.ค. 41 (0.0144)	10.534	4.170	$P < 0.001$
ธ.ค. 40 และ ธ.ค. 41 (0.0139)	7.456	4.170	$P < 0.001$
ก.พ. 41 และ เม.ย. 41	7.076	4.170	$P < 0.001$
ก.พ. 41 และ มิ.ย. 41	8.764	4.170	$P < 0.001$
ก.พ. 41 และ ส.ค. 41	6.785	4.170	$P < 0.001$
ก.พ. 41 และ ต.ค. 41	8.687	4.170	$P < 0.001$
ก.พ. 41 และ ธ.ค. 41	6.176	4.170	$P < 0.001$
เม.ย. 41 และ มิ.ย. 41	2.080	4.170	$P > 0.50$
เม.ย. 41 และ ส.ค. 41	1.361	4.170	$P > 0.50$
เม.ย. 41 และ ต.ค. 41	0.870	4.170	$P > 0.50$
เม.ย. 41 และ ธ.ค. 41	0.665	4.170	$P > 0.50$
มิ.ย. 41 และ ส.ค. 41	3.597	4.170	$0.10 < P < 0.20$
มิ.ย. 41 และ ต.ค. 41	1.436	4.170	$P > 0.50$
มิ.ย. 41 และ ธ.ค. 41	2.654	4.170	$0.20 < P < 0.50$
ส.ค. 41 และ ต.ค. 41	2.562	4.170	$P > 0.50$
ส.ค. 41 และ ธ.ค. 41	0.555	4.170	$P > 0.50$
ต.ค. 41 และ ธ.ค. 41	1.563	4.170	$P > 0.50$
ธ.ค. 40 (3.88) และ ม.ค. 41 (3.90)	0.128	4.685	$P > 0.50$
ธ.ค. 40 และ ก.พ. 41 (7.85)	7.440	4.685	$P < 0.001$
ธ.ค. 40 และ มี.ค. 41 (8.52)	8.463	4.685	$P < 0.001$
ธ.ค. 40 และ เม.ย. 41 (7.04)	4.916	4.685	$0.025 < P < 0.05$

ตารางผนวกที่ 3 รายละเอียดผลการเปรียบเทียบค่าตัวชี้นิการเจริญเติบโตของอวัยวะสีบหันหูของปลาบู่ทอง *Glossogobius aureus* เพชรเมือง ในเดือนต่าง ๆ โดยใช้ Tukey test (ค่าที่แสดงในวงเล็บ คือ ค่าเฉลี่ยค่าตัวชี้นิการเจริญเติบโตของรังไข่)

คู่ของการเปรียบเทียบ	<i>q</i>	<i>q<sub>0.05,390,13</sub></i>	ผลการเปรียบเทียบ
ธ.ค. 40 (3.88) และ ม.ค. 41 (3.90)	0.128	4.685	<i>P</i> > 0.50
ธ.ค. 40 และ ก.พ. 41 (7.85)	7.440	4.685	<i>P</i> < 0.001
ธ.ค. 40 และ มี.ค. 41 (8.52)	8.463	4.685	<i>P</i> < 0.001
ธ.ค. 40 และ เม.ย. 41 (7.04)	4.916	4.685	0.025 < <i>P</i> < 0.05
ธ.ค. 40 และ พ.ค. 41 (6.08)	3.305	4.685	0.20 < <i>P</i> < 0.50
ธ.ค. 40 และ มิ.ย. 41 (5.78)	2.885	4.685	<i>P</i> > 0.50
ธ.ค. 40 และ ก.ค. 41 (2.38)	2.724	4.685	<i>P</i> > 0.50
ธ.ค. 40 และ ส.ค. 41 (2.64)	2.310	4.685	<i>P</i> > 0.50
ธ.ค. 40 และ ก.ย. 41 (4.32)	0.581	4.685	<i>P</i> > 0.50
ธ.ค. 40 และ ต.ค. 41 (7.17)	5.560	4.685	0.005 < <i>P</i> < 0.01
ธ.ค. 40 และ พ.ย. 41 (7.41)	6.014	4.685	0.001 < <i>P</i> < 0.005
ธ.ค. 40 และ ธ.ค. 41 (5.34)	2.778	4.685	<i>P</i> > 0.50
ม.ค. 41 และ ก.พ. 41	7.312	4.685	<i>P</i> < 0.001
ม.ค. 41 และ มี.ค. 41	8.335	4.685	<i>P</i> < 0.001
ม.ค. 41 และ เม.ย. 41	4.788	4.685	0.025 < <i>P</i> < 0.05
ม.ค. 41 และ พ.ค. 41	3.177	4.685	<i>P</i> > 0.50
ม.ค. 41 และ มิ.ย. 41	2.757	4.685	<i>P</i> > 0.50
ม.ค. 41 และ ก.ค. 41	2.852	4.685	<i>P</i> > 0.50
ม.ค. 41 และ ส.ค. 41	2.438	4.685	<i>P</i> > 0.50
ม.ค. 41 และ ก.ย. 41	0.453	4.685	<i>P</i> > 0.50
ม.ค. 41 และ ต.ค. 41	5.432	4.685	0.005 < <i>P</i> < 0.01
ม.ค. 41 และ พ.ย. 41	5.886	4.685	0.001 < <i>P</i> < 0.005
ม.ค. 41 และ ธ.ค. 41	2.650	4.685	<i>P</i> > 0.50
ก.พ. 41 และ มี.ค. 41	1.024	4.685	<i>P</i> > 0.50
ก.พ. 41 และ เม.ย. 41	2.523	4.685	<i>P</i> > 0.50

### ตารางที่ 3 (ต่อ)

คู่ของการเปรียบเทียบ	$q$	$q_{0.05,390,13}$	ผลการเปรียบเทียบ
ก.พ. 41 และ พ.ค. 41	4.135	4.685	$0.10 < P < 0.20$
ก.พ. 41 และ มิ.ย. 41	4.554	4.685	$0.05 < P < 0.10$
ก.พ. 41 และ ก.ก. 41	10.164	4.685	$P < 0.001$
ก.พ. 41 และ ส.ค. 41	9.750	4.685	$P < 0.001$
ก.พ. 41 และ ก.ย. 41	6.858	4.685	$P < 0.001$
ก.พ. 41 และ ต.ค. 41	1.880	4.685	$P > 0.50$
ก.พ. 41 และ พ.ย. 41	1.426	4.685	$P > 0.50$
ก.พ. 41 และ ธ.ค. 41	4.662	4.685	$0.05 < P < 0.10$
มี.ค. 41 และ เม.ย. 41	3.547	4.685	$0.20 < P < 0.50$
มี.ค. 41 และ พ.ค. 41	5.158	4.685	$0.01 < P < 0.025$
มี.ค. 41 และ มิ.ย. 41	5.578	4.685	$0.005 < P < 0.01$
มี.ค. 41 และ ก.ก. 41	11.187	4.685	$P < 0.001$
มี.ค. 41 และ ส.ค. 41	10.774	4.685	$P < 0.001$
มี.ค. 41 และ ก.ย. 41	7.882	4.685	$P < 0.001$
มี.ค. 41 และ ต.ค. 41	2.903	4.685	$P > 0.50$
มี.ค. 41 และ พ.ย. 41	2.450	4.685	$P > 0.50$
มี.ค. 41 และ ธ.ค. 41	5.686	4.685	$0.001 < P < 0.005$
เม.ย. 41 และ พ.ค. 41	1.612	4.685	$P > 0.50$
เม.ย. 41 และ มิ.ย. 41	2.031	4.685	$P > 0.50$
เม.ย. 41 และ ก.ก. 41	7.640	4.685	$P < 0.001$
เม.ย. 41 และ ส.ค. 41	7.227	4.685	$P < 0.001$
เม.ย. 41 และ ก.ย. 41	4.335	4.685	$0.10 < P < 0.20$
เม.ย. 41 และ ต.ค. 41	0.644	4.685	$P > 0.50$
เม.ย. 41 และ พ.ย. 41	1.097	4.685	$P > 0.50$
เม.ย. 41 และ ธ.ค. 41	2.139	4.685	$P > 0.50$
พ.ค. 41 และ มิ.ย. 41	0.419	4.685	$P > 0.50$
พ.ค. 41 และ ก.ก. 41	6.029	4.685	$0.001 < P < 0.005$
พ.ค. 41 และ ส.ค. 41	5.615	4.685	$0.001 < P < 0.005$

ตารางผนวกที่ 3 (ต่อ)

คู่ของการเปรียบเทียบ	<i>q</i>	$q_{0.05,390,13}$	ผลการเปรียบเทียบ
พ.ค. 41 และ ก.ย. 41	2.723	4.685	$P > 0.50$
พ.ค. 41 และ ต.ค. 41	2.255	4.685	$P > 0.50$
พ.ค. 41 และ พ.ย. 41	2.709	4.685	$P > 0.50$
พ.ค. 41 และ ธ.ค. 41	0.527	4.685	$P > 0.50$
มิ.ย. 41 และ ก.ค. 41	5.610	4.685	$0.001 < P < 0.005$
มิ.ย. 41 และ ส.ค. 41	5.196	4.685	$0.01 < P < 0.025$
มิ.ย. 41 และ ก.ย. 41	2.304	4.685	$P > 0.50$
มิ.ย. 41 และ ต.ค. 41	2.675	4.685	$P > 0.50$
มิ.ย. 41 และ พ.ย. 41	3.128	4.685	$P > 0.50$
มิ.ย. 41 และ ธ.ค. 41	0.108	4.685	$P > 0.50$
ก.ค. 41 และ ส.ค. 41	0.414	4.685	$P > 0.50$
ก.ค. 41 และ ก.ย. 41	3.306	4.685	$0.20 < P < 0.50$
ก.ค. 41 และ ต.ค. 41	8.284	4.685	$P < 0.001$
ก.ค. 41 และ พ.ย. 41	8.738	4.685	$P < 0.001$
ก.ค. 41 และ ธ.ค. 41	5.502	4.685	$0.005 < P < 0.01$
ส.ค. 41 และ ก.ย. 41	2.892	4.685	$P > 0.50$
ส.ค. 41 และ ต.ค. 41	7.870	4.685	$P < 0.001$
ส.ค. 41 และ พ.ย. 41	8.324	4.685	$P < 0.001$
ส.ค. 41 และ ธ.ค. 41	5.088	4.685	$0.01 < P < 0.025$
ก.ย. 41 และ ต.ค. 41	4.979	4.685	$0.025 < P < 0.05$
ก.ย. 41 และ พ.ย. 41	5.432	4.685	$0.005 < P < 0.01$
ก.ย. 41 และ ธ.ค. 41	2.196	4.685	$P > 0.50$
ต.ค. 41 และ พ.ย. 41	0.453	4.685	$P > 0.50$
ต.ค. 41 และ ธ.ค. 41	2.782	4.685	$P > 0.50$
พ.ย. 41 และ ธ.ค. 41	3.236	4.685	$P > 0.50$

ตารางผนวกที่ 4 องค์ประกอบของอาหารในกระเพาะอาหารของปลาญี่ทอง *Glossogobius aureus* ในเดือนต่าง ๆ (%ความถี่ของการพบ)

ชนิดของอาหาร	ธ.ค. 40 (n = 11)	ก.พ. 41 (n = 18)	เม.ย. 41 (n = 4)	มิ.ย. 41 (n = 7)	ส.ค. 41 (n = 15)	ต.ค. 41 (n = 98)	ธ.ค. 41 (n = 12)
ปลากระดัก	9.09	22.22	100	0	0	42.86	16.67
ปลาญี่	18.18	11.11	0	57.14	0	12.24	0
ปลาเข้างลาย	0	5.56	0	0	0	0	0
กุ้งดีดชัน	9.09	5.56	0	0	0	6.12	16.67
กุ้งนาง	0	5.56	0	14.29	0	0	0
กุ้งทะเล	0	50.00	0	28.57	100	47.96	66.67
เคย	0	27.78	0	0	0	0	0
กุ้งศี	72.73	0	0	0	0	0	16.67

ตารางผนวกที่ 5 องค์ประกอบของอาหารในกระเพาะอาหารของปลาญี่ทอง *Glossogobius aureus* ในเดือนต่าง ๆ (%ของจำนวน)

ชนิดของอาหาร	ธ.ค. 40 (n = 11)	ก.พ. 41 (n = 18)	เม.ย. 41 (n = 4)	มิ.ย. 41 (n = 7)	ส.ค. 41 (n = 15)	ต.ค. 41 (n = 98)	ธ.ค. 41 (n = 12)
ปลากระดัก	7.69	9.52	100	0	0	47.26	13.33
ปลาญี่	15.38	4.76	0	57.14	0	8.22	0
ปลาเข้างลาย	0	2.38	0	0	0	0	0
กุ้งดีดชัน	7.69	2.38	0	0	0	4.11	13.33
กุ้งนาง	0	2.38	0	14.29	0	0	0
กุ้งทะเล	0	30.95	0	28.57	100	40.41	53.33
เคย	0	47.62	0	0	0	0	0
กุ้งศี	69.23	0	0	0	0	0	20.00

ตารางผนวกที่ 6 องค์ประกอบของอาหารในกระเพาะอาหารของปลาญี่ก่อน *Glossogobius aureus* ในเดือนต่าง ๆ (%ของน้ำหนัก)

ชนิดของอาหาร	ธ.ค. 40 (n = 11)	ก.พ. 41 (n = 18)	เม.ย. 41 (n = 4)	มิ.ย. 41 (n = 7)	ส.ค. 41 (n = 15)	ต.ค. 41 (n = 98)	ธ.ค. 41 (n = 12)
ปลากระตัก	14.04	18.65	100	0	0	37.16	30.82
ปลาญี่	17.54	2.07	0	63.30	0	11.11	0
ปลาชี้งลาย	0	6.99	0	0	0	0	0
กุ้งดีดขัน	7.89	2.07	0	0	0	3.16	6.92
กุ้งนาง	0	0.52	0	29.26	0	0	0
กุ้งทะเล	0	35.49	0	7.45	100	48.57	52.20
เคย	0	34.20	0	0	0	0	0
กุ้งเผือก	60.53	0	0	0	0	0	10.06

ตารางผนวกที่ 7 องค์ประกอบของอาหารในกระเพาะอาหารของปลาญูทอง *Glossogobius aureus* ที่อาศัยในบริเวณต่าง ๆ (%ความถี่ของ การพบ)

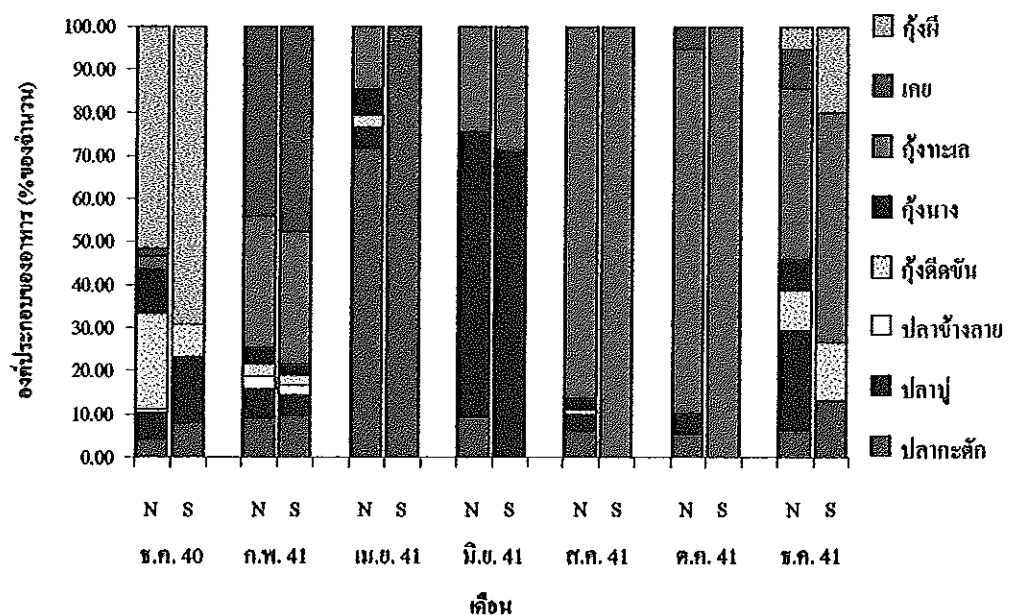
ชนิดของอาหาร	ปากทะเลสาบสงขลา (n=0)	สะพานติ่มสุลานนท์ (n=79)	กลางทะเลสาบสงขลา (n=16)	สะพานป่ากรอ (n=40)	วัดท่าหนึ่ง (n=25)	เกาะหมาก (n=5)
ปลากระดัก	0	13.92	0	52.50	84.00	0
ปลาญู	0	10.13	0	22.50	12.00	0
ปลาเข้าลาย	0	1.27	0	0	0	0
กุ้งดีดขัน	0	5.06	0	10.00	8.00	0
กุ้งนาง	0	2.53	0	0	0	0
กุ้งทะเล	0	58.23	100	30.00	8.00	100
เคย	0	6.33	0	0	0	0
กุ้งเผือก	0	12.66	0	0	0	0

ตารางผนวกที่ 8 องค์ประกอบของอาหารในกระเพาะอาหารของปลาญูทอง *Glossogobius aureus* ที่อาศัยในบริเวณต่าง ๆ (%ของจำนวน)

ชนิดของอาหาร	ปากทะเลสาบสงขลา (n=0)	สะพานตีนสุลานนท์ (n=79)	กลางทะเลสาบสงขลา (n=16)	สะพานป่ากรอ (n=40)	วัดท่าหนึ่ง (n=25)	เกาะหมาก (n=5)
ปลากระตัก	0	10.91	0	47.83	83.72	0
ปลาญู	0	7.27	0	13.04	6.98	0
ปลาเข้าลาย	0	0.91	0	0	0	0
กุ้งดีดขัน	0	3.64	0	5.80	4.65	0
กุ้งนาง	0	1.82	0	0	0	0
กุ้งทะเล	0	46.36	100	33.33	4.65	100
เคย	0	18.18	0	0	0	0
กุ้งเผือก	0	10.91	0	0	0	0

ตารางผนวกที่ 9 องค์ประกอบของอาหารในกระเพาะอาหารของปลาบู่ทอง *Glossogobius aureus* ที่อาศัยในบริเวณต่าง ๆ (%ของน้ำหนัก)

ชนิดของอาหาร	ปากหะเลสาบสงขลา (n=0)	สะพานตีปสุลานนท์ (n=79)	กลางหะเลสาบสงขลา (n=16)	สะพานป่ากรอ (n=40)	วัดท่าหนึ่ง (n=25)	เกาะหมาก (n=5)
ปลากระตัก	0	12.14	0	42.86	77.62	0
ปลาบู่	0	9.91	0	20.02	10.66	0
ปลาเข้าง่าย	0	1.82	0	0	0	0
กุ้งดีดขัน	0	1.89	0	4.02	5.94	0
กุ้งนาง	0	3.84	0	0	0	0
กุ้งทะเล	0	55.77	100	33.10	5.77	100
เคย	0	8.90	0	0	0	0
กุ้งผี	0	5.73	0	0	0	0



รูปผนวกที่ 1 การเปลี่ยนแปลงองค์ประกอบของอาหารในธรรมชาติ (N) และองค์ประกอบของอาหารในกระเพาะอาหาร (S) ของปลาญี่ปุ่น *Glossogobius aureus* ในเดือนต่าง ๆ บริเวณสะพานตிணสูลานนท์

## ประวัติผู้เขียน

ชื่อ นายสันติสุข ไทยปala

วัน เดือน ปีเกิด 1 มกราคม 2512

บุณิการศึกษา

วุฒิ

ชื่อสถาบัน

ปีที่สำเร็จการศึกษา

วิทยาศาสตรบัณฑิต (วาริชศาสตร์) มหาวิทยาลัยสงขลานครินทร์ 2535

เกียรตินิยมอันดับสอง วิทยาเขตหาดใหญ่

ทุนการศึกษา (ที่ได้รับในระหว่างการศึกษา)

- ทุนสำนักงานพัฒนาวิทยาศาสตร์และเทคโนโลยีแห่งชาติ (สวทช.)